



RADIOCOMUNICAȚII și RADIOAMATORISM

Revista Federației Române de Radioamatorism

Anul XIII / Nr. 156

2/2003





eTrex

eTrex este cel mai mic receptor GPS portabil cu afisaj existent in lume la ora actuala.

SPECIFICATII eTrex

CARACTERISTICI DE NAVIGARE

Waypointuri/Simboluri: 500 cu nume si simbol grafic

Trasee: Memorare automata a traseului; posibilitatea memorarii a pana la 10 trasee va permite refacerea drumului in ambele directii

Rute: 1 ruta reversibila cu pana la 50 waypointuri

Calculator pentru navigatie: Viteza curenta, viteza medie, ora rataritului/apusului, viteza maxima resetabila, cronometru, distanta parcursa

Map datums: Peste 100

Formatul pozitiei: Lat/Lon, UTM/UPS, Maidenhead, MGRS si alte sisteme de coordonate

PERFORMANTE

Receptorul: 12 canale paralele (receptorul GPS comunica continuu cu pana la 12 sateliti pentru a calcula si a actualiza pozitia); accepta corectii diferențiale

Timpi de achizitie a semnalului de la satelit:

- Cu initializare: aprox. 15 sec
- Fara initializare: aprox. 45 sec



- AutoLocate™: aprox. 2 min

Rata de actualizare a datelor:
1/secunda, continuu

Precizie:

- Pozitie: 15 metri RMS
- Viteza: 0.1 noduri RMS stare stabila (fara acceleratii)

Acceleratia maxima suportata: 6g

Interfete: RS232 cu NMEA 0183, date in format DGPS RTCM 104 si proprietar GARMIN

Antena: Incorporata

CARACTERISTICI FIZICE

Dimensiuni: 11.2 x 5.1 x 3.0 cm

Masa: 150 g (incluzand bateriile)

Afisaj: LCD cu contrast reglabil si iluminare; dimensiuni afisaj: 5.4 x 2.7 cm

Carcasa: Rezistenta la umezeala conform standard IEC 529 IPX7

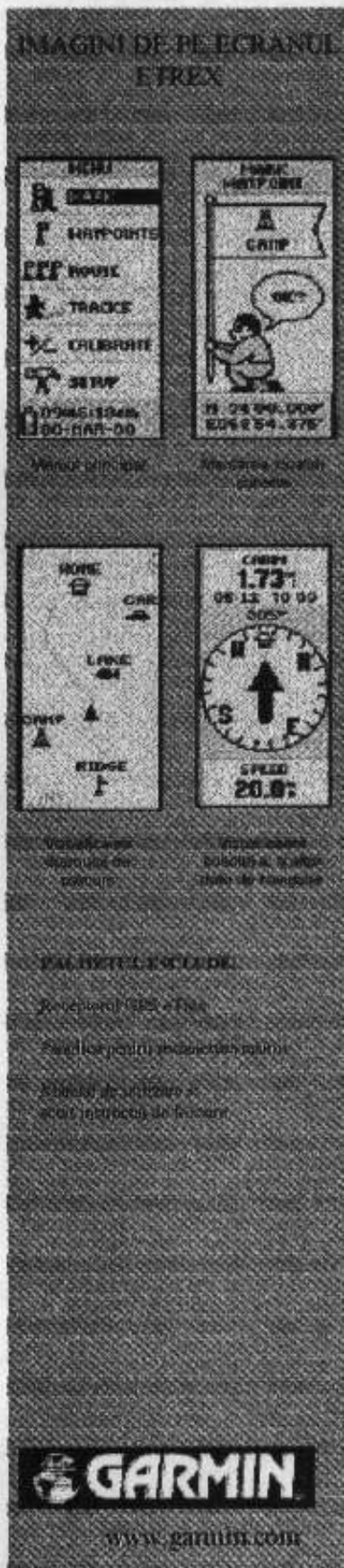
Gama de temperatura : -15°C la 70°C

Durata de stocare a datelor:
Permanenta; nu necesita baterii de memorie

ALIMENTARE:

Sursa: 2 baterii AA (nu sunt incluse)

Durata de viata a bateriilor: aproximativ 22 ore


www.garmin.com

RCS

Radio Communications & Supply SRL

Magazin: Str. Sabinelor nr.7A, parter, sector 5, Bucuresti

Tel: +4 (021) 335 92 97, Tel/Fax: +4 (021) 315 09 39

Mobil: +4 0744 687 026, +4 0744 366 147

E-mail: office@rcsco.com, Web: www.rcsco.com

Se împlinesc anul acesta 67 de ani de când s-a realizat pentru prima dată, împlinirea unui vechi vis al radioamatorilor români și anume înființarea unei asociații naționale. Este vorba de **Asociația Amatorilor Români de Unde Scurte (AARUS)**, organizație înființată la București cu ocazia Congresului Extraordinar al radioamatorilor români. Acest moment fusese pregătit dinainte. Avuseseră loc două congrese naționale, și se discutase mult despre necesitatea înființării unei **Rețele a Emițătorilor Români**.

Emisia de amator a inceput în țara noastră în 1926, când tânărul inginer **Paul Popescu Mălăiești** și-a construit primul emițător. Putem aminti și de **Emil Giurgea** care încă din perioada primului război mondial, își cumpărase piese de la Paris, unde era la studii, și-și montase în comuna Roșu - lângă București, echipamente de emisie pentru scopuri de cercetare personală. Sunt echipamente pe care el le va ceda apoi statului român. La fel, se pot aminti emițătoarele cu scîntei montate la Universitatea din Iași încă de la începutul secolului de **prof. Dragomir Hurmuzescu**. Aceștia, la fel ca și alți ingineri și profesori din România, nu au efectuat însă legături radio cu alte stații, nu și-au adoptat indicative.

Paul Popescu Mălăiești, urmărind activitatea radioamatorilor din străinătate, știa că la Paris, în aprilie 1925, cînd a luat ființă IARU, pentru România se alocase prefixul **BR**, adică **Baleani Romania**, prefix care peste 2 ani va fi schimbat de **ITU** în **ER**, adică: **Europa Romania**.

Astfel, Paul Popescu Mălăiești și-a adoptat indicativul **BR5AA** și apoi din 1927 - **ER5AA**.

Coperta I-a.

* Au devenit tradiționale întâlnirile radioamatoricești de la **Câmpina**, întâlniri prilejuite de sărbătorirea zilei de naștere a lui **YO9WL - Ion (Nîță) Răduță**. **Foto 1**. Imagine de la întâlnirea din 17 februarie 2001.

* În ultimii 6 ani, prin eforturi prooprii ale cătorva radioamatori, s-a amenajat la Friedrichshafen căte un stand al federației noastre. **Foto 2**. O amintire din 1998. În rândul din față de la stânga la dreapta: **Elfi - DJ2KK** (fica lui **DF5DK**), **Ludwig - DL5MHQ**, **Paul - YO5BRZ**, **Judith - soția lui 4Z4BS**, **Shalom - 4Z4BS**, **Adrian - YO3AV**, **Vasile - YO3APG**, soția lui **YO3AV**. În spate: **Adrian - YO6OEH** și **George - YO7LLA**.

CUPRINS

QTC de IARU	pag.2
QTC de YO2IS	pag.2
Campionatul Mondial de US - 2002	pag.2
Filtru trece bandă comutat cu diode	pag.3
Etaje de intrare în amplificatoarele de putere	pag.6
Antena Yagi cu 6 elemente pentru 144-146 MHz	pag.8
Diploma jubiliară Câmpina 500	pag.12
Amplificator linear cu grila la masă, utilizând tubul 3-400Z	pag.13
IARU Region 1 - 50 MHz Contest 2002	pag.20
YODXCSECTIA U.S la data de 31.12.2002	pag.20
LZ CW CLUB	pag.22
Considerații asupra raportului de undă staționară	pag.23
7,1 - 7,3 MHz - situația actuală	pag.25
MT 63 - Un mod nou mod digital HF	pag.26
Total despre ATV	pag.27
Campionatul național US - SSB 2002	pag.27
Campionatul național UUS 2002	pag.29
Întâmplări adevărate. Revanșa întreruptă	pag.30
QTC de FRR	pag.31
Simpaticul dB	pag.32

In 1927, din România, încep să facă emisiuni mai mulți radioamatori, un rol important având **Nicolae Lupaș - ER5AB**, redactorul revistei **Radio Român**, revistă care și va înființa propriul post de emisie: **ER5RR**. Am reușit cu greutate să găsesc câteva QSL-uri originale din acea perioadă. Este vorba de: **BR5AA**, **ER5AA**, **ER5AF** - **Cezar Brătescu**, **ER5AG** - din Tecuci și **ER5LL**.

Din publicațiile vremii, reiese că prin 1928-29 în țara noastră activau 10-20 de stații de emisie de amatori. Înființarea **Radioclubului din Craiova**, spiritul organizatoric deosebit și pasiunea doctorului **Alexandru Savopol**, duce la înființarea unui Birou Național de QSL-uri și la adoptarea unor indicative, având prefix neoficial de forma **CV5xx**, adică **Craiova 5xx**. Se va renunța apoi la acest prefix și stațiile noastre vor deveni apoi pentru scurt timp **YP5**, întrucât la 1 martie 1936, se va adopta prefixul **YR5**. AAUSR își va alege ca președinte pe **Dr. Alexandru Savopol - YR5AS**, iar ca secretar pe **Ion Niculescu - YR5EV**. Incepe o activitate deosebită, se închiriază un sediu, se scoate o publicație proprie - **YR5 Buletin**, se organizează traficul de QSL-uri, se militează pentru recunoașterea de către autorități a radioamatorismului, se eliberează primele autorizații de SWL, etc. S-a înțeles atunci că numai prin unitate și colaborarea tuturor, se pot realiza lucruri deosebite. Oare de ce astăzi, când activitatea noastră se află din nou în reorganizare, uităm aceste lucruri simple?!? Trebuie să luăm din **Legea 69/2000** doar ceea ce este bun. Este păcat că uneori ne irosim energiile și timpul cu mici vanități și discuții inutile.

YO3APG

Abonamente pentru Semestrul I - 2003 - Abonamente individuale cu expediere la domiciliu: 75.000lei
- Abonamente colective: 65.000 lei
Sumele se vor expedia pe adresa: ZEHRA LILIANA P.O. Box 22-50, RO-71.100 București, mentionând adresa completă a expeditorului.

RADIOCOMUNICATIISIRADIOAMATORISM 2/2003

Publicație editată de FRR; P.O.Box 22-50 R-71.100

București tlf/fax: 01/315.55.75

e-mail: yo3kaa@pcnet.pcnet.ro; yo3kaa@allnet.ro

Redactori: ing. Vasile Ciobănița **YO3APG**

dr. ing. Andrei Ciontu **YO3FGL**

ing. Mihăescu Ilie **YO3CO**

prof. Tudor Păcuraru **YO3HBN**

ing. Ștefan Laurențiu **YO3GWR**

prof. Iana Druță **YO3GZO**

DTP: ing. George Merfu **YO7LLA**

Tipărit BIANCA SRL; Pret: 10.000 lei ISSN=1222.9385

QTC de IARU

Începând cu 9 decembrie 2002, IARU are încă doi membri. Este vorba de - **Association des Radio Amateurs du Cameroun (ARTJ)** și **Associaçao dos Radioamadores de Macau (ARM)**.

ARTJ s-a înființat în 1998. Adresa oficială: Ecole Nationale Supérieure des Postes et Telecom, B.P. 6132 Yaounde, Cameroun. Asociația are 14 membri dintre care 7 au licențe de emisie. ARM s-a înființat inițial la 15 iunie 1992 și are în prezent 85 de membri. Adresa oficială este: Box 6018, Macau SAR; Email arm@macau.ctm.net <mailto: arm@macau.ctm.net>. **The Chinese Radio Sports Association** și-a manifestat sprijinul pentru admiterea în IARU a ARM și a declarat că intrucât Macao constituie o "Special Administrative Region of the People's Republic of China", CRSA va respecta toate deciziile ARM și nu se va implica în problemele acesteia. IARU înființată în 1925, unește acum societăți și asociații naționale de radioamatori din 153 de țări.

QTC de YO2IS

Salut Vasile, mereu sunt tentat să fac ceace altora li-se pare... mai dificil. Așa se face că am participat din nou la CQWW-160m 2003 în CW, n-a fost rău, am reușit să-mi 'bat' recordul personal făcând 513 QSO și 60 multiplicator plus două țări noi pentru mine D4 și EY. M-am bucurat să văd 'trăgând tare' și pe cei de la YO5KAD, probabil dintr-un QTH mai propice pentru DX-160m decât al meu din mijlocul urbei. Dorești să fac 'log Cabrilo' și să-l trimit organizatorilor, dar se pare că regulamentul și adresa de E-mail sunt schimbate față de 2002 când concursul se încheia la 16.00 UTC iar acum a durat până la 00.00 !.

Din experiența anilor trecuți știu că timișorenii care 'fac' Internet nu sunt întreresăți de concursurile organizate de revista "CQ". TE ROG să anunță din nou la QTC adresa de E-mail pentru CQWW 160m CW 2003, eventualele modificări de regulament (dacă sunt!), precum și detalii despre alte concursuri organizate de această publicație..

N-au participat mulți YO în concursul din 160m, am auzit YO2LDC, 3APJ, 3JR, 5KAD și 7BGA și atât! asta 'vis a vis' de cele 29 stații S5 cu care am lucrat, este extrem de puțin! Probabil că ar fi util ca acest tip de competiție să fie INCLUS în calendarul competițional al FRR chiar dacă este în afara structurilor oficiale IARU (am lucrat și acum pe 160m cu ex. președintele IARU - PA0LOU un 'senior' împătimit al telegrafiei pe care-l știu de 40 de ani!).

In rest toate precum le știi, din păcate într-o lume în care scara valorilor nu-și mai găsește rostul sau este răsturnată, e greu să promovezi tineretul dornic de afirmare, iar fără ei nu văd posibil progresul, indiferent de domeniul !.

73 spor și sănătate maximă, Szigy - YO2IS.

P.S. Păcat că cei de la IGCTI nu răspund la corespondența individuală a radioamatorilor (nici Primăria n-a răspuns vreodată măcar cu DA/NU la solicitarea noastră asupra spațiului 'în compensație' pentru radioclub).

Păstrez încă adresa primită de la MTTc în 1988 privind folosirea benzii de 50MHz și aştept de trei ani una similară pentru VLF! (am platite impozitele la zi, hi).

CAMPIONATUL MONDIAL US-2002

Ediția din Feb-2003 a revistei QST conține rezultatele Campionatului Mondial IARU HF-2002. Rezultatele pot fi consultate și pe site-ul ARRL: <http://www.arrl.org/contests/results/2002/iaru2002.pdf>. Echipa Federației Române de Radioamatorism - YR0HQ - s-a clasat din păcate doar pe locul 15.

Clasamentul la categoria Stații Headquarters arată astfel:

1. DA0HQ	18,880,296	18443	424
2. OI2HQ	16,693,712	12135	398
3. SN0HQ	16,514,800	13804	424
4. R3HQ	15,914,955	11695	413
5. OE1XHQ	13,452,122	7955	566
6. PA6HQ	13,082,520	10230	374
7. YT0HQ	12,555,062	10109	403
8. LY0HQ	12,204,192	9594	381
9. YL4HQ	11,210,040	9253	360
10. EW5HQ	10,530,375	8590	375
11. S50HQ	10,250,408	8581	392
12. NU1AW/4	9,624,420	8232	351
13. HG0HQ	9,344,377	8600	371
14. EM0HQ	8,658,950	8316	334
15. YR0HQ	8,501,555	8119	367
16. W1AW/5	7,917,068	10068	284
17. ES9A	7,324,348	6606	323
18. T90HQ	6,715,840	7139	310
19. ER7HQ	5,867,077	5834	307
20. SK2HQ	5,256,980	5072	310
21. IU2HQ		27. LZ0HQ	
22. LX0HQ		28. TM0HQ	
23. P41HQ		29. EA4URE	
24. EI0HQ		30. 8N2JHQ	
25. OA4O		31. HB9A	
26. GB5HQ		32. OZ7EDR	

Etc... 73 and GL! Alex - YO9HP

INFO DX

Un sondaj efectuat de 425 DXNEWS la sfârșitul anului 2002, la care au răspuns un număr de 2663 radioamatori din toate continentele, relevă faptul că cele mai căutate entități DXCC sunt următoarele - în ordinea descrescătoare a preferințelor:

1 - Andaman	VU4	6 - Desecheo	KP5
2 - Scarborough	BS7	- Yemen	7O
3 - Lacadive	VU7	8 - Navassa	KP1
4 - Juan de Nova & Europa - FR/J		- North Korea	P5
- Peter I	3Y	10 - Aves	YY0

Dan - YO6EZ

QSL/MGR SEARCH ENGINE AVAILABLE

Boye - OZ7C, spune că baza sa de date conținând adrese de QSL Manager este din nou în funcțiune. Adresa acesteia este: <http://www.qsl.dk/oz7c>

The QSL database conține 336.368 de înregistrări iar MGR database cca 17570 înregistrări, bazate pe managerii care deservesc cel puțin 3 indicative.

Cine dorește să asculte QTC-urile transmise de FRR de la YO3KPA, le poate găsi înregistrate în pagina WEB a amicului Petruș - YO4HCU la adresa: www.electronica.ro/qtc

A incetat din viață YO6AVY Șuta Grigore, radioamator pasionat de UUS din Tg. Mureș. Dumnezeu să-l odihnească!

FILTRU TRECE BANDĂ COMUTAT CU DIODE

Traducere și prelucrare NICU UDĂTEANU YO3BWK


Fig. 1A

Articolul a apărut în revista QST nr. 01/91 sub semnătura binecunoscutului constructor și experimentator Doug de Maw W1FB. Scopul acestui articol este acela de a ajuta pe cei care vor să testeze comutarea circuitelor de RF sau AF cu ajutorul diodelor de comutare de uz general. Folosirea diodelor de comutare comandate de la distanță cu o tensiune continuă, duce la reducerea pierderilor și a cuplajelor parazite precum și a gabaritului circuitelor.

Schema prezentată în fig.1 conține trei filtre de bandă (BPF) care sunt selectate de la distanță cu ajutorul unei tensiuni continue de 12V. Aceasta deschide pe rând căte patru diode de fiecare filtru ales, celelalte rămânând blocate. Pe diodele comandate, se aplică o tensiune pozitivă la anodi pentru polarizare în conductie directă. De exemplu perechile $D_1 - D_3$ și $D_4 - D_6$ sunt în serie pe calea de semnal a filtrului FL_1 . Celelalte două filtre sunt configurate similar. Închiderea căii de curent continuu către masă se face cu șocurile RFC_2 și RFC_5 la filtrul FL_2 și respectiv RFC_6 , RFC_9 ; și RFC_{10} , RFC_{13} la celelalte două filtre. Diodele $D_7 - D_9$, $D_{10} - D_{12}$ și $D_{11} - D_{12}$ au calea de c.c. inchisă către masă prin bobinile de cuplaj de pe tensiunile filtrelor de bandă, rezistența R_{43} de $150\ \Omega/2W$ este rezistența de limitare de curent pentru toate diodele. Deoarece în montajul de față s-au folosit diode IN914, s-a fixat un curent prin ele de aproximativ 10 mA în conductie.

Nu se recomandă creșterea curentului la peste 20 mA prin diode deoarece această familie (IN914 sau similară) au un curent maxim de 50mA.

Se poate folosi pentru comutare căte o singură diodă (N.trad. ca la A412) în loc de 2 diode inseriate, dar s-a constatat o slabă izolare între intrarea și ieșirea filtrului.

Cu montajul prezentat aici, cu căte 2 diode pe ramură, autorul W1FB a măsurat o separare de aprox. 26 dB între intrarea și ieșirea filtrului. Referitor la șocurile de RF folosite pentru comanda diodelor, ele trebuie să aibă o reactanță inductivă X_L de cel puțin 4 ori mai mare decât impedanța circuitului comutat, adică în cazul nostru $X_L > 200\Omega$. În acest caz, reactanța necesară a acestor șocuri se poate calcula ușor: $L_{eq} = X_L/2\pi f$ (MHz). Rezultă că la 1,8 MHz avem nevoie de o inductanță de 44,2 mH, dacă amăles $X_L = 500\Omega$.

Un șoc cu această valoare, care vine în paralel pe cei $50\ \Omega$ ai filetului, micșorează impedanța echivalentă la intrare și ieșire la $45\ \Omega$. De aceea se alege pentru șocurile de comandă a diodelor o inductanță mult mai mare ($1000\ \mu H$). Așadar, un șoc de $1mH$ ($11500\ \Omega$) paralel pe cei $50\ \Omega$ ai filtrului micșorează impedanța la $49,78\ \Omega$, ceea ce este mult mai acceptabil.

În schema prezentată șocurile de $1mH$ vin chiar căte două în paralel (de exemplu RFC_2 și RFC_5) când diodele sunt în conductie. Aceasta înseamnă că în paralel pe intrarea și ieșirea filtrelor vin reactanțe X_L de $5750\ \Omega$ ($11500/2$). Acestea micșorează impedanța echivalentă la aproximativ $49,56\ \Omega$, care este convenabilă față de cei $50\ \Omega$ din teorie.

O mai bună separare între intrarea și ieșirea filtrului este posibilă prin modificarea circuitelor de comandă a diodelor, în așa fel ca atunci când o ramură este în starea OFF (blocați), anodul să fie la masă, iar catodul să fie polarizat invers cu $+12V$. Aceasta complică însă comutarea mecanică, cu S_3 , dar merită să fie încercată.

Filtrul prezentat, a fost folosit după mixerul unui excitator SSB construit de autor (W1FB). După el urmează un mic amplificator de RF clasă A cu Q9. Fiind de bandă largă, el poate fi folosit și în cazul în care se extinde partea de filtru pentru toate benzile. Câștigul amplificatorului cu Q9 este de circa 11 dB.

S-a mai încercat folosirea pentru Q9 a tranzistoarelor 2N2222A și 2N4408 dar cu o scădere a amplificării cu 2 dB față de 2N5179 și 2SC1424.

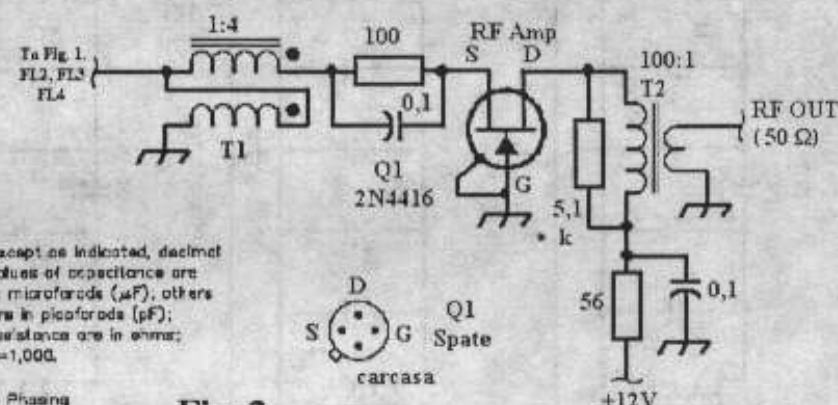


Fig. 2.

Filtrele de bandă prezentate au configurație Butterworth cu căte 2 circuite cuplate. Riplul este de circa 0,5 dB și pierderile de inserție cca 2 dB. Rezistența terminală a celor 3 filtre este de cca $3900\ \Omega$ ceea ce a impus construirea bobinelor de cuplaj pe fiecare tor pentru trecerea la impedanțe de $50\ \Omega$.

Același filtru se poate folosi și la intrarea unui receptor, înlocuind sau comutând etajul cu Q9 cu un amplificator de RF de recepție. În fig. 2. se vede un astfel de amplificator realizat cu JFET (2N4416) în configurație cu grila la masă. Câștigul este de aproximativ 10 dB, cu un factor de zgomot foarte redus. Constructiv, filtrul prezentat a fost asamblat pe o placă de sticlotextolit de $60x110$ mm.

Torurile au fost montate vertical pe placă și fixate cu rășini epoxidice (fig. 3)

Lista de componente

- C39, C40 - trimeri ceramici sau cu mică de 100pF
- C46, C47, C53, C54 - trimeri ceramici sau cu mică de 70pF

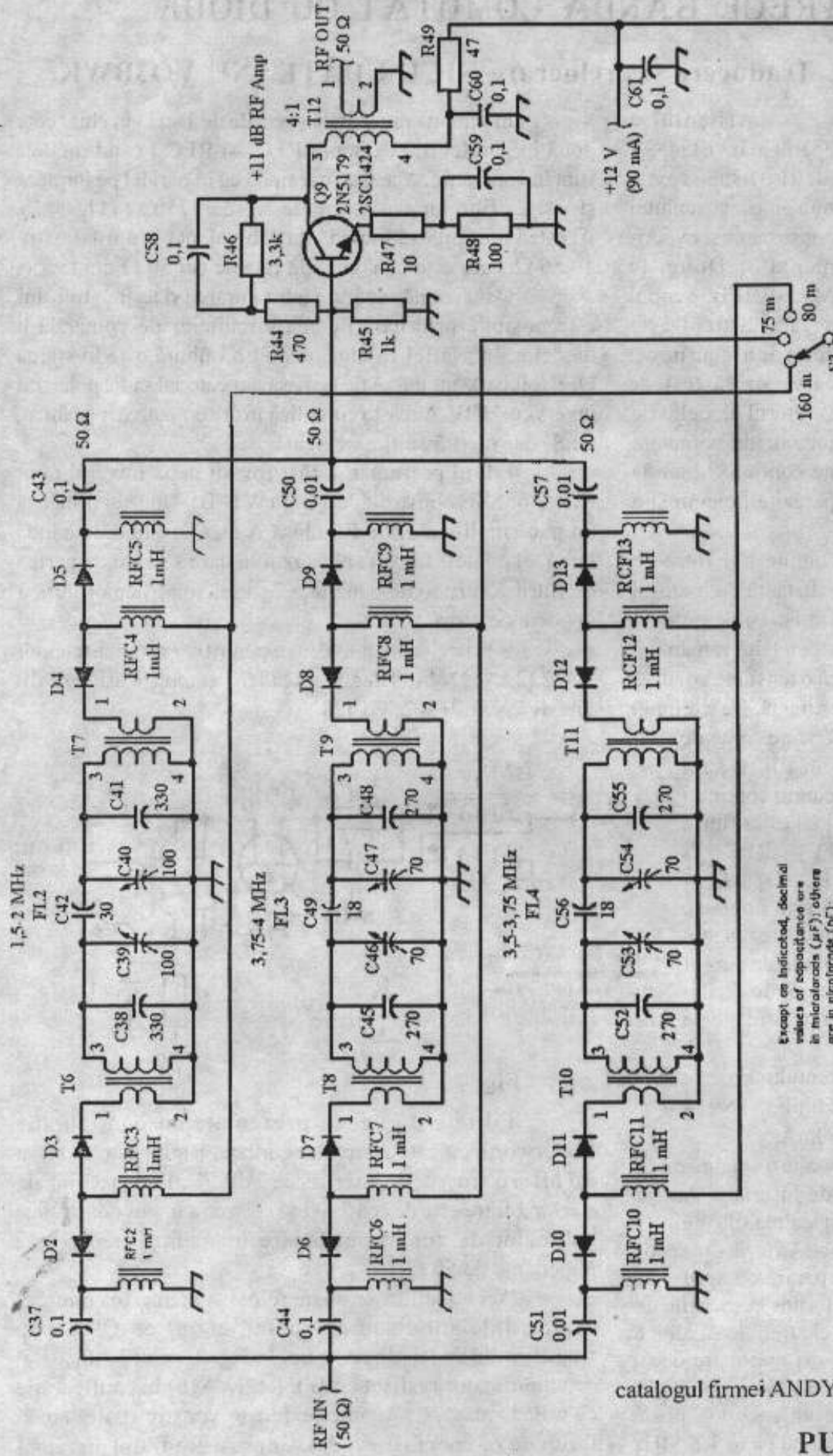


Fig.1.

- D2 - D13 - diode 1N914 (1N4148) sau similare
- Q9 - tranzistor 2N5179 (2SC1424)
- RFC3 - RFC13 - bobine de şoc 1mH (se pot procura de la magazinul CONEX la prețul de 5000 lei/buc)
- T6, T7 - trafo toroidal L = 17.68 μH, conține 30 spire CuEm

Φ 0,4mm pe tor AMIDON FT50 - 63 (Φ ext-12,7mm). Bobina de cuplaj cu 4 spire Φ 0,4mm poziționată la capătul legat la masă cu celeilalte bobine.

- T8, T9 - trafo toroidal L = 5,3 μH, conține 36 spire CuEm Φ 0,4mm pe tor AMIDON T50 - 6 (Φ ext-12,7mm). Bobina de cuplaj cu 5 spire Φ 0,4mm poziționată ca mai sus.

- T10, T11 - trafo toroidal L = 6 μH, conține 38 spire CuEm Φ 0,4mm pe tor AMIDON T50 - 6 (Φ ext-12,7mm). Bobina de cuplaj cu 6 spire Φ 0,4mm.

- T12 - trafo toroidal 4:1, conține 28 spire CuEm Φ 0,3mm pe tor AMIDON FT37- 43(Φ ext-9,5mm). Bobina de cuplaj (ieșire) are 10 spire CuEm Φ 0,3mm.

Lista componente Fig. 2.

Except pe înlocuitor, decimal values of componentes are in microfarads (μF), otherwise are in picofarads (pF); resistances are in ohms, k=1,000.

- T1 - trafo toroidal de bandă largă 4:1. Se bobinează bifilar cu sărmă de CuEm Φ 0,3mm (torsadată) pe tor AMIDON FT37- 43(Φ ext-9,5mm). Atenție la fazarea înfășurărilor!

- T2 - trafo toroidal de bandă largă 10:1

- Primar: 30 spire CuEm Φ = 0,3mm
- Secundar: 3 spire CuEm Φ 0,3mm pe tor de ferită AMIDON FT50 - 43 (Φ ext-12,7mm).

N.trad.: În tabele prezentăm datele principale ale torurilor AMIDON, date preluate din catalogul firmei ANDY'S FUNKLADEN din BREMEN (DL)

PUBLICITATE

Caut tranzistoare rusești de RF de putere 2T934b, KT934b, KT960A, KT962A sau echivalente: BKX68, BLX69A, BLW91, 94, 15, BLY53B. Tel. 0265/141430 sau 0723/280908 -YO6ODM Grigoraș

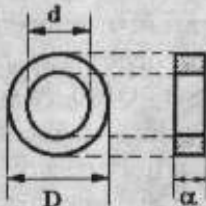
Caut CI tip NE612, toruri de ferită AMIDON T-50-2 și AMIDON FT37-43. Aștept oferte pe adresa:

yo7lpz@terrasat.ro .

73'Sorin

Toruri AMIDON ASOCIATES

A. TORURI DIN PULBERI METALICE



$$N_{spire} = 100 \sqrt{\frac{INDUCTANTA NECESSARA(\mu H)}{A_L(\mu H/100sp^2)}}$$

VALORI A_L (μH/100sp²)

Material	1	2	6	10	12	Φ
Culoare	albas-tru	roșu	galben	negru	verde-alb	maron
Permeabilitate	20	10	8	6	3	1
Banda de frecvență	0,5-5	1-30	2-50	10-100	20-200	50-300
TIP	D (mm)	α (mm)	h (mm)			
T16	4,1	2,0	1,5	22		
T20	5,1	2,2	1,8	27	22	16
T25	6,5	3,0	2,4	34	27	19
T30	7,8	3,8	3,3	43	36	25
T37	9,5	5,2	3,3	40	30	25
T44	11,0	5,8	4,0	52	42	35
T50	12,7	7,7	4,8	100	49	40
T68	17,5	9,4	4,8	115	57	47
T80	20,1	12,6	6,4		55	45
T94	23,9	14,2	7,9		84	70
T106	26,9	14,5	11,1		135	116
T130	33	19,8	11,1		110	96
T157	39,8	24,1	14,5		140	115
T184	46,7	24,1	18		240	195
T200	51	31,7	14		120	100
T200A	51	31,7	25		218	
T225	57,1	35,7	14		120	
T225A	57,1	35,7	25		215	
T300	77,4	48,9	12,7		114	
T300A	77,4	48,9	25		228	
T400	101,6	57	17		180	
T400A	101,6	57	35		360	

B. TORURI DE FERITA

Banda de frecvență	0,2-15 MHz	1-50 MHz	1-500 kHz	
Material	61	43	72	
Permeabilitate	125	850	2000	
TIP	Valoarea A _L (mH/1000 sp)		Φ Ext (mm)	
FT 23	24,8	188	396	5,8
FT 37	55,3	420	884	9,5
FT 50	68,8	523	1100	12,7
FT 82	73	557	1172	22
FT 114	79,3	603	1270	29

$$N_{spire} = 100 \sqrt{\frac{INDUCTANTA NECESSARA(mH)}{A_L(mH/1000sp^2)}}$$

unde $A_L = mH/1000sp^2$ L = inductanță în mH Exemplu: FT 37 - 43

Banda de 136 kHz

La San Marino, Conferința IARU Regiună I, a aprobat utilizarea de către radioamatori a benzii de 136 kHz, după cum urmează:

- 135,7-136 kHz CW (lărgime de bandă max 200 Hz) Teste, CW, QRSS
- 136-137,4 CW (lărgime de bandă max 200 Hz) CW
- 137,4-137,6 Hell, PSK, WOLF (lărgime de bandă max 500 Hz) Fără CW
- 137,6-137,8 CW (lărgime de bandă max 200 Hz) QRSS, Frecvență centrală 137,7 kHz

Sperăm ca în curând să putem vorbi de utilizarea acestei benzi noi și de către stațiile YO, întrucât deocamdată unele operații realizate nu pot fi comunicate. În prezent se laudă străinii cu performanțele noastre!

Exemplu: T50 - 6
Tip material (galben)

Noutăți IARU

The IARU Region 1 Monitoring System January 2003 Newsletter has been posted on <http://iarums.com/> Hani Raad - OD5TE IARU Region 1 Monitoring System Coordinator <http://iarums.com/>

Banda de 5 MHz

După cum se cunoaște, în Anglia încă din august 2002, s-a acordat permisiunea radioamatorilor ca timp de 4 ani să efectueze teste și studii detaliate de propagare pe următoarele frecvențe: 5.260, 5.280, 5.290, 5.400 și 5.405 kHz.

Este vorba de o serie de canale clasice de SSB. Puterea de emisie max. 200 W. Prin aceste studii se urmărește determinarea unei frecvențe optime care să poată fi utilizată pentru trafic radio în UK.

REC/02/SM/C4.11

Această recomandare a Comitetului C4 (Permanent HF Committee) de la Conferința din San Marino, se referă la faptul că încă din 1997 în numeroase țări s-a renunțat la monitorizarea frecvenței de 500 kHz, frecvență utilizată mult timp pentru apel internațional în situații de urgență.

Se creează astfel oportunitatea ca, radioamatorii să studieze această bandă de frecvență ce prezintă caracteristici de propagare diferite față de benzile utilizate în prezent (1,8 MHz și 136 kHz). IARU Reg. I a hotărât înființarea unui grup de studiu pentru a investiga și argumenta posibilitatea solicitării în viitor a unui segment de 10kHz în porțiunea: 470 – 490 kHz, pentru a fi utilizat de către radioamatori, folosindu-se tehnologii noi. Grupul este coordonat de RSGB. Se vor trimite materiale și pentru Regiunile 2 și 3 ale IARU. Pentru comunicări, propuneri, observații sau obținerea de informații suplimentare, ne putem adresa la G3WKL@btinternet.com.

ETAJE DE INTRARE în AMPLIFICATOARELE DE PUTERE

Pe radioamatorul român nu-l prea dau banii afară din casă. Ca atare, pentru a-și cumpăra un TRX ceva mai acătării, adesea își golește rafturile, ba chiar și boala de la subsol, de tot ceea ce prisosește. Astfel se face că, periodic, apar pe piață radioamatoricească tot felul de ciudăjenii, pe care un novice cu greu le-ar putea da cu precizie. Ca atare, m-am gândit să pun pe hârtie câteva considerații, pentru a ajuta în evaluarea și mai ales înțelegerea limitelor amplificatoarelor de putere HM realizate, la noi, în ultimii 30 de ani, curent întâlnite și astăzi pe piață second-hand.

În ultimele decenii, relativ puține s-au schimbat în domeniul amplificatoarelor de putere HM. Etajul de ieșire este același (cunoscutul filtru PI), automatica este cam la fel iar în domeniul polarizațiilor sporadic se mai întâlnesc modernizări folosind tranzistori stabilizatori de înaltă tensiune pentru grila ecran. Dacă ar fi să scriem, deci, o istorie a QRO-urilor HM din YO, singurul criteriu clar de evoluție îl constituie **etajul de intrare**.

În prima jumătate a anilor '70 au apărut și s-au impus cu o viteză explozivă comunicațiile de amatori în bandă laterală unică (SSB). Până atunci, concursurile și lucrul în DX se făceau preponderent în CW, care "răzbate" incomparabil mai bine decât vechea modulație de amplitudine (AM). Curând, pasionații de DX din YO s-au confruntat cu un fenomen astăzi binecunoscut - creșterea ponderii legăturilor în SSB. Acei apăreau probleme, fiindcă vechile amplificatoare de putere - accesoriu și atunci, și astăzi indispensabil pentru DX - erau concepute să lucreze în clasa C, pentru CW. Confruntați cu necesitatea construirii de **amplificatoare liniare, lucrând în clasa AB**, capabile să amplifice fără distorsiuni prea mari semnale SSB, radioamatorii din acei ani au redescoperit un montaj datând din perioada interbelică - **amplificatorul cu grila la masă, atacat pe catod neacordat** (fig.1) - "prima generație" de amplificatoare liniare.

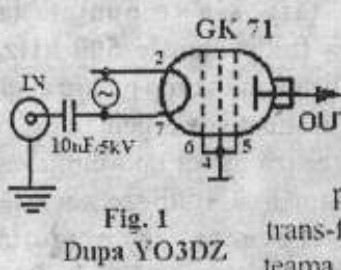


Fig. 1
Dupa YO3DZ

că montajul ar putea autooscila. În plus, în lipsa unor tuburi moderne, special destinate SSB, montajul "cu grila la masă" se impacă și cu tuburi clasice, oferind intermodulații de ordin impar mai mici cu 5...10 dB față de același tub, în configurație comandată pe grilă.

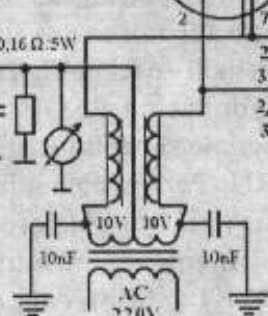


Fig. 2
dupa YO8RMB

Soluția e remarcabil de simplă, dar are numeroase dezavantaje. Comanda prin catod neacordat dusea la apariția de unde staționare pe circuitul exciter SSB - QRO, ceea ce antrena o diminuare serioasă a randamentului și distorsiuni mai mari (cu 3...5dB) față de ceea ce ar fi trebuit să ofere, teoretic, montajul. Cauza era apariția unui efect de sarcină al amplificatorului cu un singur tub, funcționând în clasa B; în timpul unei jumătăți de ciclu, exciterul "vede" o impedanță de intrare în QRO foarte scăzută, iar în timpul următoarei jumătăți de ciclu, o impedanță de intrare în QRO foarte mare. Pentru a menține liniaritatea în limite acceptabile, este necesară o excelentă stabilitate a exciterului, care de altfel trebuie să furnizeze puteri relativ mari (15...20% din punerea finală).

În incercarea de a ameliora cumva situația, s-au construit nu puține **QRO-uri cu tuburi de putere medie "in dublet"** - montaj "de generația a două" care (fig. 2) prezinta avantajul că impedanța "văzută" de exciter se situa în jurul valorii de 100 Ohm. Se observă și modernizarea șocurilor de RF: în locul carcasei pătrate 40x40mm, pe care se bobinău cele 75 de perechi de spire necesare montajului 1, generația a 2-a folosește o bară de ferită de 10mm (bară-antena), pe care sunt bobinate simultan circa 20 de spire bifilar. Rezistența ohmică a șocului RF și, în consecință, cădere de tensiune de incălzire sunt mult mai mici decât la montajul precedent (un tub GK71 consumă un curent de incălzire de 3A). Aceste montaje simple funcționau relativ acceptabil folosind drept exciter TRX-uri de marcă, pe tuburi, capabile să furnizeze amplificatorului câteva zeci de W. În anii aceia însă, numărul amatorilor români care dispuneau acasă de un TRX SSB de marcă era înfim.

Marea descoperire a acelor

vremuri a fost transceiverul A-412, de altfel o sculă excelentă, dar care furniza numai câțiva W în nici un caz suficient pentru a "umple" un GK71 atacat pe catod neacordat.

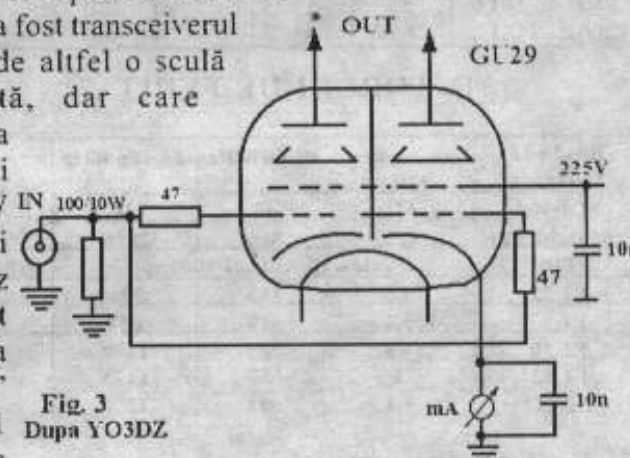


Fig. 3
Dupa YO3DZ

Ca urmare, au cunoscut o nouă tinerețe amplificatoarele de mică putere, dublet, atacate pe grilă neacordată, cu rezistență de intrare (fig.3), care furnizau circa 100W, folosind drept exciter un A-412 (3...3,5 W RF). Apăreau însă probleme: deși rezistența de 100W era "gândită" să ofere o impedanță fixă de ieșire exciterului tranzistorizat, reactanța rezistivă diferea foarte mult de la o bandă la alta, ducând la pierderi apreciabile de randament și chiar la probleme cu finalii exciterului. În plus, rezistența trebuia să fie neinductivă (ceea ce nu era la indemână), și oricum nu putea fi total neinductivă - ceea ce, având în vedere atacul pe grilă, antrena pericolul unor oscilații parazite ale întregului

etaj, cerând o realizare atentă și adoptarea de soluții de neutrodinare (spre exemplu rezistențele de 47 Ohm serie pe grila de semnal).

Relativ repede s-a renunțat la "atacul pe antenă fictivă" (HI!) și s-a revenit la soluții mai ușor de neutrodinat: **amplificatorul de mică putere, dublet, atacat pe catod, cu șoc RF** (fig. 4). Aceste amplificatoare "de generația a 4-a" sunt în mod cert mai stabile, dar exciterul trebuie să debiteze 7...10W pentru a "umple" tuburile la puterea de 100W.

Că urmare, pe-

ste 14 MHz,

puterea

efectivă în

antena scădea

la 60...50W,

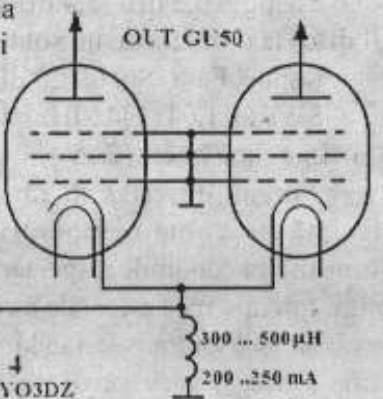


Fig. 4
Dupa YO3DZ

ceea ce mult timp nu a fost considerat un impediment major. Multe amplificatoare din "generația a 4-a" sunt folosite până în prezent, într-o formă modernizată, cu distorsiuni reduse (fig. 5). Pentru a nu forța exciterul și a asigura o excitare suficientă pe benzile superioare se folosește un etaj prefinal cu tranzistor - KT904 sau similar.

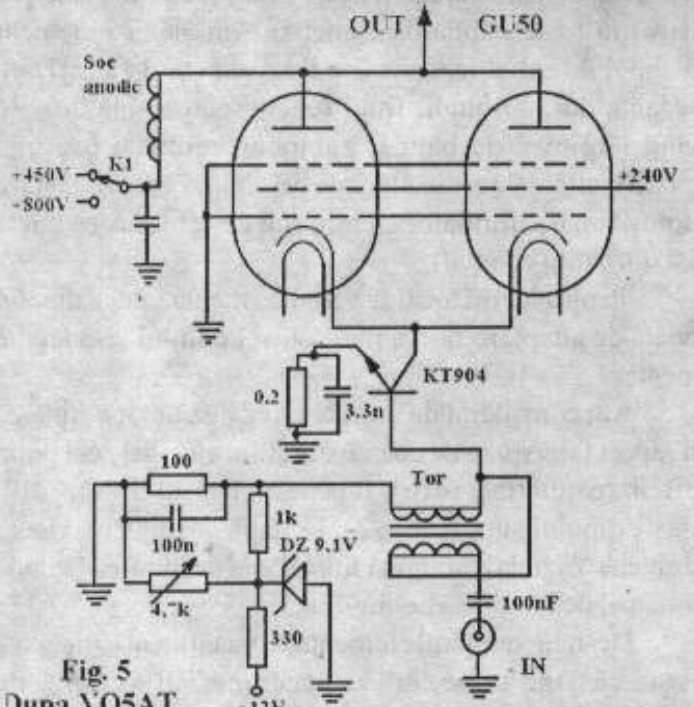


Fig. 5
Dupa YO5AT

În acest mod semnalul poate fi extras din etajul prefinal al lui A-412, la 100-150 mW, fiind mult mai "curat" decât semnalul preluat de pe finali - ceea ce permite inclusiv lucrul în moduri digitale. Realizarea trebuie însă să fie impecabilă și sunt necesare precauții speciale pentru a evita greșelile de operare. Tensiunea catod - masă nu trebuie să depășească în nici un moment 60...65V; dacă nu, se arde tranzistorul și curentul anodic al tuburilor o ia razna. De aceea, adesea QRO-urile astfel modernizate au alimentare cu două poziții: de reglaj (400...500V) și de lucru (700...800V). Deși în teorie dubletul GU50 ar putea fi "dus" până la 120W, corespunzând tensiunii anodice de 1000V, în practică se folosesc tensiuni mai mici, cu prețul pierderii de putere - tocmai pentru a proteja tranzistorul driver.

În plus, pentru atacul bazei tranzistorului este nevoie, în cele mai multe cazuri, de un transformator de impedanță destul de greu de realizat. Dacă se omite acest transformator de impedanță, din nou este necesară o putere relativ mare de atac (5...7W) și se pierde avantajul distorsiunilor reduse. Această soluție constructivă poate fi însă aplicată numai tuburilor din generațiile mai vechi, cu o pantă relativ redusă. În anii '80 au început însă să apară și la noi tuburile metal-ceramică de mare randament (exemplu - **GI39B**, v. prospectul). Compacte, necesitând curenți de încălzire moderați, acestea oferă la o tensiune anodică ce nu depășește 2 KV puteri sensibil mai mari decât tuburile "în sticlă". În plus, puterea disponibilă nu descrește în benzile superioare. Tuburile metal-ceramică au însă și dezavantaje. În primul rând, sunt triode - deci mai suscepțibile la auto-oscilație. În al doilea rând, au o pantă deosebit de mare pentru un tub de putere, de 30-35.

În al treilea rând, au anod cu radiator exterior. În aceste condiții, neutrodinarea amplificatoarelor HM cu tuburi metal-ceramică atacate pe grilă devine dificilă. Mai mult, devine destul de dificilă chiar și realizarea de amplificatoare cu atac pe catod neacordat: oricum ai încerca să ecranezi rezistența ori șocul RF de intrare, tot e greu să-l scoți din "zona de influență" a anodului - o rozetă metalică de 10 cm. diametru. Iar dacă un QRO pe tuburi metal-ceramică intră în autooscilație, în cel mult câteva zeci de secunde tuburile se distrug. Că urmare, este neapărat necesară folosirea unor montaje mult mai îngrijite (fig.6), cu etaj de atac acordat. Atacul pe electrod acordat (grilă sau catod) dă rezultate mult mai bune decât orice altă soluție constructivă, atât sub aspectul distorsiunilor, cât și sub cel al randa-mentului. Totuși, aşa cum se poate observa, este nevoie de un comutator pe calită, de bună calitate ("cu presiune") cu doi găleți și 7-8 poziții, de doi condensatori variabili RF și de un număr de bobine ecranate - preferabil realizate pe tor de ferită, deci cu circuit magneti c închis, pentru a reduce posibilitățile de acroșaj. Valorile cele mai uzuale pentru realizarea unui asemenea etaj de atac sunt date în tabelul 1.

Dacă întregul montaj este atent realizat, cu o putere de atac de 20...40W amplificatorul poate fi adus la peste 700W putere utilă! La o adică, montajul poate fi simplificat, prin folosirea unui etaj de intrare multiband, cu numai 3 toruri de ferită (iar nu 7), folosind condensatoare variabile de broadcast. În esență este vorba de un mic adaptor de impedanță (fig.7), ecranat și cuplat căt mai scurt între exciter și QRO. El se regleză cu ajutorul unui SWR-metru intercalat - ca și cum QRO-ul ar fi "antena" de acordat. Evident, QRO-ul trebuie pornit pentru a putea face acordul! Acest montaj trebuie însă folosit cu precauție, întrucât eventuale dezadaptări mari duc la radiații parazite intense în liniile coaxiale de cuplaj, ceea ce poate determina intrarea QRO-

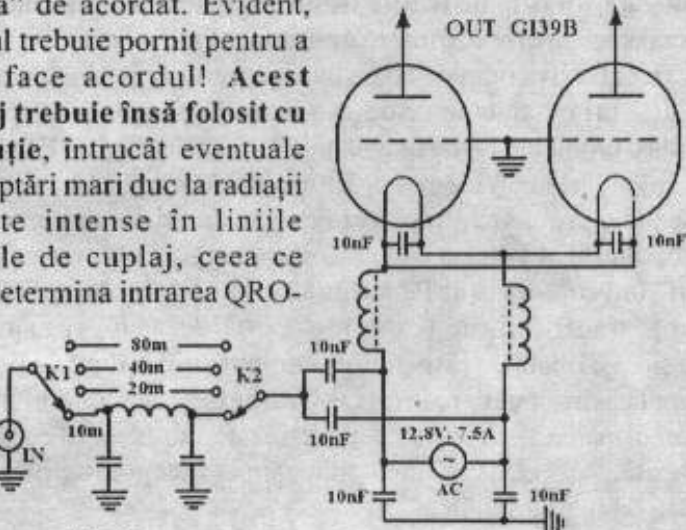
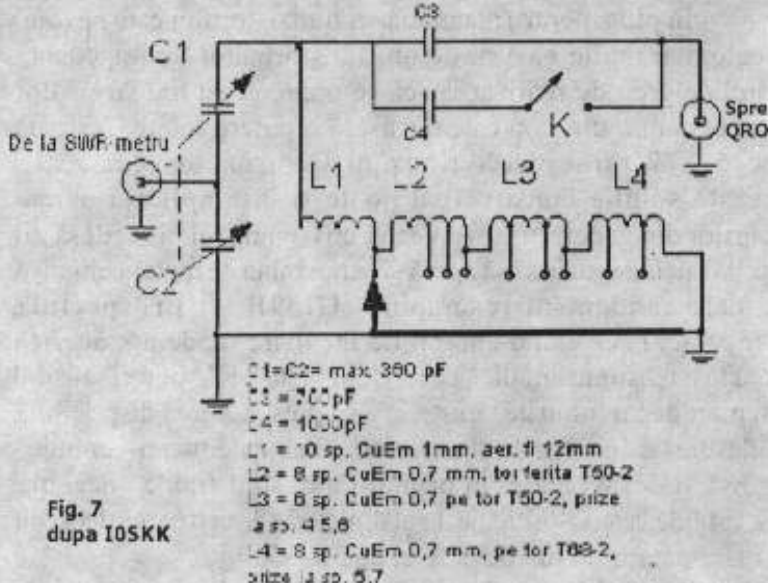


Fig. 6
Dupa YO2LDQ



ului în autooscilație, cu toate consecințele ce decurg de aici.

Ca atare, este preferabil să folosim soluția din fig. 5 - o tensiune redusă pentru reglaj și de-abia apoi aplicarea tensiunii nominale. Trebuie însă remarcat faptul că tuburile își schimbă caracteristicile în funcție de tensiunea anodică - deci reglajul la tensiune redusă va fi considerat un acord brut, care va fi rețușat la tensiunea nominală. La un acord corect, maximul de putere în antenă și minimul de unde staționare între exciter și QRO coincid.

Tabel 1

Conf. YO2LDQ			Conf. YO3BWK			
Banda	C1 [m]	L [spire]	Ce [pF]	C1 [pF]	L [mH]	Ce [pF]
80	390+	21	820	910	3,35	678
	240...700					
40	240...700	15	390	455	1,68	339
20	95...350	11	220	226	0,83	168
17	55...250	10	150	176	0,65	131
15	55...250	9	120	150	0,55	112
12	55...250	8	110	128	0,47	95
10	55...250	7	110	112	0,41	83
	micz T50-6			CuEm #20		

În concluzie, atacul prin etaj acordat rămâne, în prezent, singura soluție de actualitate. În unele cazuri, este chiar unica soluție, multe tuburi moderne nefiind gândite pentru schema "grilă la masă". Mai costisitoare, soluția constructivă cu etaj de intrare acordat a fost dintotdeauna singura folosită de marile firme constructoare, oferind un răndament mai bun, o mai mare stabilitate și distorsiuni reduse. Evident, câtva timp de-acum înainte vom mai întâlni în trafic QRO-uri cu atac pe catod neacordat. Dar nu se mai pune astăzi problema ca, de dragul unui DX, să distrugi un FT1000 cuplându-l la un montaj precum acela din fig. 1! La fel, nu se pune problema să lucrezi PSK 31 cu un montaj precum cel din fig. 4 - cine a încercat, știe că e greu să lucrezi SSB în 10m cu aşa ceva! Pe măsură ce se vor generaliza TRX-urile tranzistorizate (care nu suportă dezadaptări mari la ieșire) și odată cu răspândirea comunicațiilor digitale (care implică distorsiuni reduse) QRO-urile de generațiile 1 - 4 fie vor dispărea, fie vor trebui modernizate sub aspectul etajului de atac - fiindcă, aşa cum spuneam la început, nu prea ne dau banii afară din casă...

YO3HBN

Antena Yagi cu 6 elemente pentru 144-146 MHz

Caracteristici:

Impedanță: 50 Ohmi

Câștig: 10,5 dBi (8,4 dBd) în spațiu liber, 16,5 dBi (14,4 dBd) la 6 m față de un sol bun conductor

Raport Fata /Spate: 20 dB

SWR: 1:1,04 (144 MHz); 1:1 (145 MHz); 1:1,03 (146 MHz). Lungime boom: 2 m

Antena descrisă în rândurile următoare a fost proiectată pe computer pentru a oferi maximum de performanță în condițiile respectării unor parametri dinainte stabilii. Intenția mea a fost de a realiza o antenă portabilă, demontabilă și ușor transportabilă, care să nu ridice probleme de amplasare și care să ofere un câștig bun. Am ales lungimea boom-ului (suportul elementelor) de 2 metri care se obține prin imbinarea a două tuburi de duraluminu de 1 m lungime și diametru de 15,5 mm.

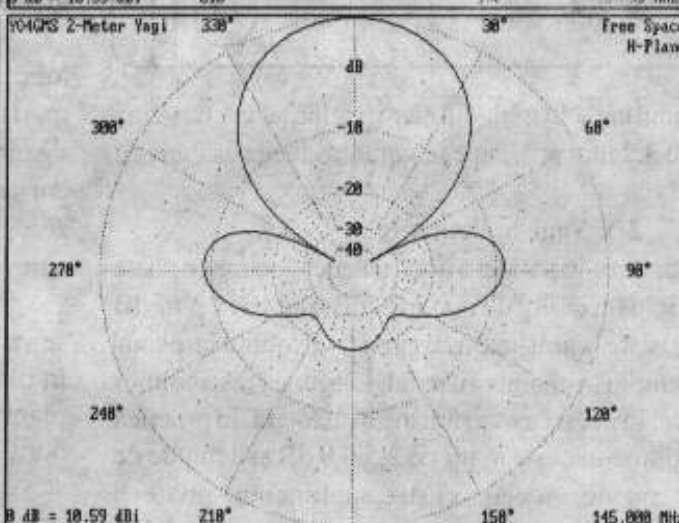
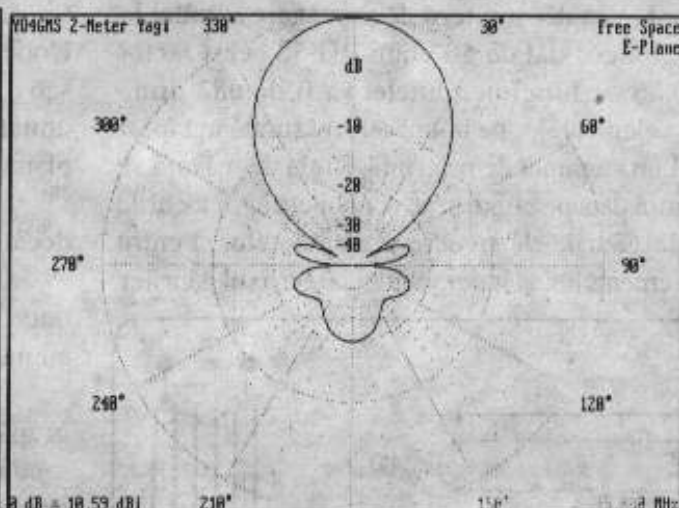
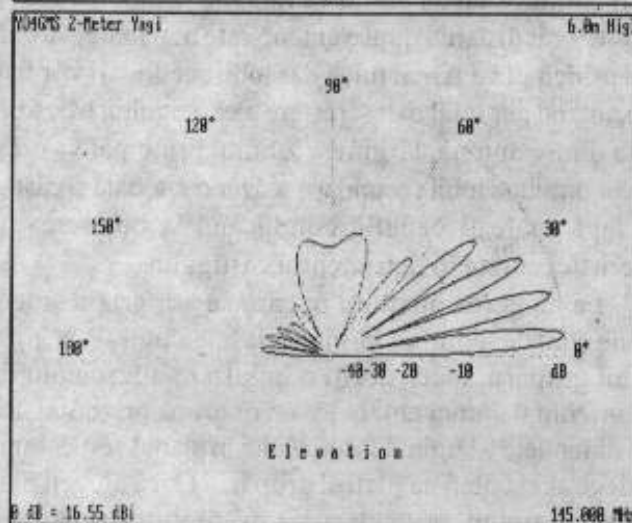
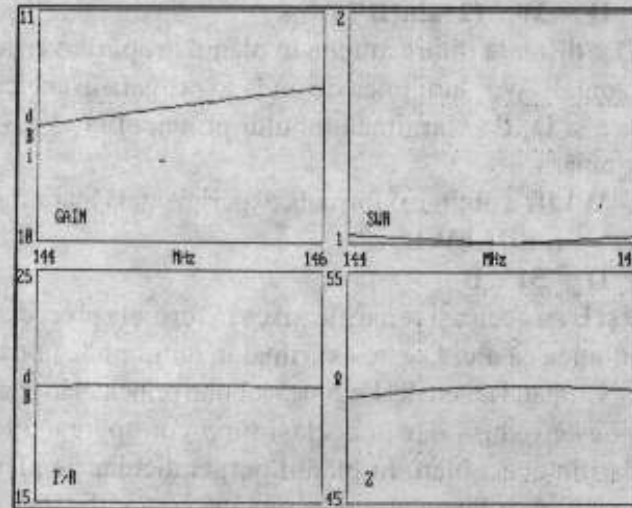
Astfel, antena demontată se poate transporta într-un ambalaj cu lungimea de ~ 1,1 m (de exemplu într-un tub de PVC cu diametru mai mare de 100 mm). Impedanța de intrare a antenei are valoarea de 50 ohmi și este în principal rezistivă în toată banda de 2 metri. Am ales ca element activ dipolul repliat rezonant pe frecvența de 145 MHz cu impedanță de 200 ohmi, fiind recunoscute calitățile sale privind lărgimea de bandă, zgomotul redus și ușurința adaptării cu linia de alimentare de 50 ohmi. Pentru adaptare am folosit un transformator cu raportul de 4:1 (clasică buclă în $\lambda/2$ din cablu coaxial).

Pentru lucrul local se va putea monta numai dipolul cu buclă de adaptare fără a mai folosi boom-ul și celelalte elemente.

Am considerat de asemenea ca deziderat obținerea unui raport față/spate de cca 20 dB și un câștig de cel puțin 10 dBi în spațiu liber (dBi – față de radiatorul izotrop, dBd – față de dipolul simplu în $\lambda/2$). De fapt, câștigul maxim al unei antene Yagi, la o anumită impedanță de intrare, depinde în principal de lungimea boom-ului.

Desigur, numărul elementelor va influența atingerea acestui câștig, impedanță, precum și diagramea de directivitate. Pentru lungimea boom-ului de 2 m (și impedanță de 50 ohmi) câștigul maxim al antenei va fi de cca 10-11 dBi în spațiu liber, fie că sunt 6, fie că sunt mai multe elemente (de exemplu 9). Un câștig mai mare se va putea obține prin conectarea în paralel a două sau mai multor astfel de antene.

In proiectarea și optimizarea antenei am folosit algoritmul implementat în codul NEC2 (Numerical Electromagnetic Code). Diagramele de directivitate au fost create cu programul Yagi Analyzer (K6STI) distribuit pe dischetă împreună cu ARRL Antenna Book (1995) și în același timp au fost comparate cu cele obținute cu programul EZNEC 3.0 (W7EL 2002). Pentru simularea grupului de două antene am folosit programul lui K4VX pentru analiza antenelor Yagi.



Date constructive: Yagi 6 elemente

	Pozitie	Le	Lc
	[mm]	[mm]	[mm]
reflector	0.0	1040.7	1043.4
dipol indoit	351.6	978.0	978.0
director1	562.3	895.9	898.7
director2	1084.7	891.7	894.4
director3	1506.2	912.7	915.4
director4	1952.2	846.4	849.1
diametru elementi	8.0 mm		
diametru boom	15.5 mm		

Le = lungime element

Lc = lungime corectată funcție de boom (diametru 15,5 mm)

OBS: Elementii se montează prin găuri date în boom (trecere neizolată prin boom). Se va folosi lungimea corectată. Poziția elementelor este raportată la poziția reflectorului luată ca punct de referință.

Dipolul repliat rezonant pe 145 MHz a fost calculat cu formula lui DL6WU ($0,473 \cdot \lambda$). Elementii sunt din duraluminiu și au diametrul de 8 mm. Pentru alte diametre ale elementelor antena va avea alte caracteristici, posibil mult diferite față de cea realizată practic de mine, și, în consecință, va trebui redimensionată. Elementele se montează prin găuri date în boom și trec prin acesta fără a fi izolați față de boom.

Datorită contactului electric cu boom-ul, elementii vor fi scurte circuitați pe o lungime egală cu diametrul boom-ului iar lungimea lor activă va fi mai mică față de a elementelor montate izolate față de boom.

Pentru a obține aceeași frecvență de rezonanță elementele vor trebui lungite.

Lungimea elementilor a fost corectată funcție de diametrul boom-ului. În cazul montării elementelor neizolate prin boom, pentru alte diametre ale boom-ului, elementele se pot reajusta folosind formula empirică obținută de G3SEK folosind datele experimentale ale lui DL6WU:

$$\text{Corecție} = 2 * (12,5975 - 114,5 * \text{Boom}) * \text{Boom} * \text{Boom}$$

In formula, "Corecție" reprezintă lungimea ce va trebui adăugată pentru corectare iar "Boom", diametrul boom-ului, ambele exprimate, atenție, în lungimi de undă. Trecerea la milimetri se va face după formula:

$$\text{Corecție mm} = \text{Corecție} * \lambda(\text{mm}) = \text{Corecție} * 2069 \text{ mm} \quad (\text{pentru } 145 \text{ MHz}), \text{iar}$$

$$\text{Boom (in } \lambda) = \text{Boom_mm} / \lambda(\text{mm}) = \text{Boom_mm} / 2069 \text{ mm} \quad (\text{pentru } 145 \text{ MHz})$$

De reținut că această formulă este valabilă numai pentru diametre ale boom-ului mai mici de $0,055 \lambda$ (113 mm pentru 145 MHz).

Dipolul indoit are diametrul tot de 8 mm, lărgimea de 80 mm și lungimea între capetele la care se conectează bucla de adaptare și cablul de alimentare de 20 mm.

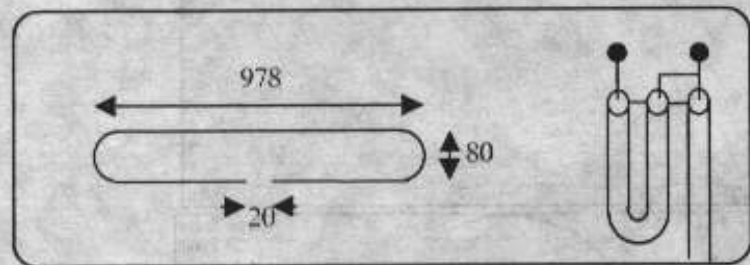
Bucla de adaptare se va calcula cu formula

$$L = f * \lambda / 2 \quad \text{unde: } L \text{ este lungimea buclei,}$$

f este un factor de scurtare (factor de viteză) și este specific fiecărui cablu coaxial iar λ este lungimea de undă. Factorul f arată de câte ori lungimea de undă în linia de transmisie este mai mică decât lungimea de undă în vid sau de câte ori viteza de propagare a undei în linia de

transmisie e mai mică decât viteza de propagare a undei în vid. Pentru cablul coaxial de 50 ohmi RG 58 acest factor are valoarea 0.66 iar lungimea buclei va fi de 682 mm.

Pozitia elementelor pe boom este măsurată în raport cu reflectorul luat ca punct de referință. Rigla de măsură se va așeza o singură dată pe boom și se vor puncta apoi locurile unde se vor da găurile de trecere a elementelor. Pentru imobilizarea elementelor, atât perpendicular pe axul găurilor



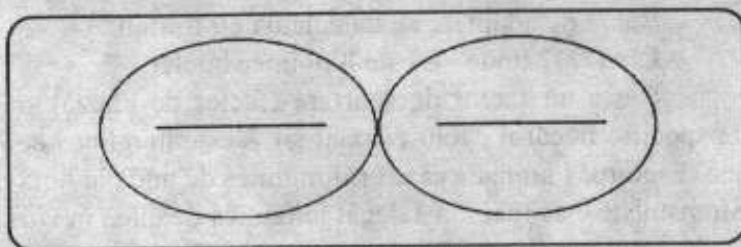
de trecere în boom cât și în mijlocul elementelor, se vor da găuri cu diametrul de 3.2 mm prin care se vor introduce șuruburi de 3 mm.

2 x Yagi 6 elemente

Prin cuplarea în paralel a două antene identice se poate obține în principiu un câștig de maxim 3 dB (dUBLAREA puterii) precum și o îngustare la jumătate a lărgimii fascicolului în planul grupării, de exemplu în planul orizontal. Lărgimea fascicolului în planul vertical în acest caz va rămâne neafectată. În practică acest câștig suplimentar este în jur de 2,5-2,9 dB și depinde de distanța dintre antene. Același câștig suplimentar poate fi obținut și prin folosirea unei singure antene cu lungime dublă a boom-ului.

Distanța optimă

Există mai multe opinii privind distanța optimă la care ar trebui să se afle antenele una în raport cu cealaltă. Una din teorii ia în considerare aria de captură a antenei. Potrivit acestei teorii distanța optimă este distanța minimă la care ar trebui amplasate antenele una față de alta astfel încât ariile lor de captură să nu se suprapună ci doar să se atingă (vezi figura alăturată). Notiunea de arie de captură se referă la apertura efectivă a antenei. În cazul antenelor yagi acest concept este destul de confuz atât timp cât aceste arii nu au o delimitare fizică precisă. Prin aria de captură a unei antene s-ar înțelege aria din care antena este capabilă să colecteze și să intercepteze energia incidentă din spațiul liber și depinde de câștigul antenei după formula: $A = G_i / 4\pi$; unde A este aria de captură în lungimi de undă la pătrat iar Gi este câștigul față de radiatorul izotrop exprimat ca raport. Aceasta formulă nu ne spune nimic despre forma acestei arii astfel că nu ne este prea folositoare în cazul de față. Pentru antene yagi cu mai mult de 10 elemente, DL6WU a găsit o formulă care este un bun compromis între obținerea unui câștig suplimentar multumitor și o caracteristică de radiație curată.



$$D = W / (2 * \sin(B/2))$$

Unde D = distanța dintre antene în planul grupării, vertical sau orizontal; W = lungimea de undă exprimată în aceeași unități ca și D; B = largimea lobului principal la -3 dB în planul grupării.

W1JR a obținut o formulă experimentală mai simplă decât cea a lui DL6WU:

$$D = 51 / B$$

unde D și B au aceleași semnificații ca în formula precedentă cu mențiunea că aici D este exprimat în lungimi de undă.

Grupând antenele, lărgimea lobului principal în planul grupării este redusă dar în același timp vor apărea și lobi secundari în acest plan. În planul perpendicular pe planul grupării lărgimea fascicolului va rămâne nemodificată.

Cu cât distanța dintre antene este mai mare, lărgimea lobului principal va fi mai mică dar lobi secundari vor fi mai mari rezultând per total o descreștere a câștigului. Micșorând distanța dintre antene, lărgimea lobului principal va crește, dar se vor diminua lobi secundari, scăzând totodată și câștigul. Acest fapt poate fi benefic conducând la obținerea unei caracteristici curate în detrimentul câștigului.

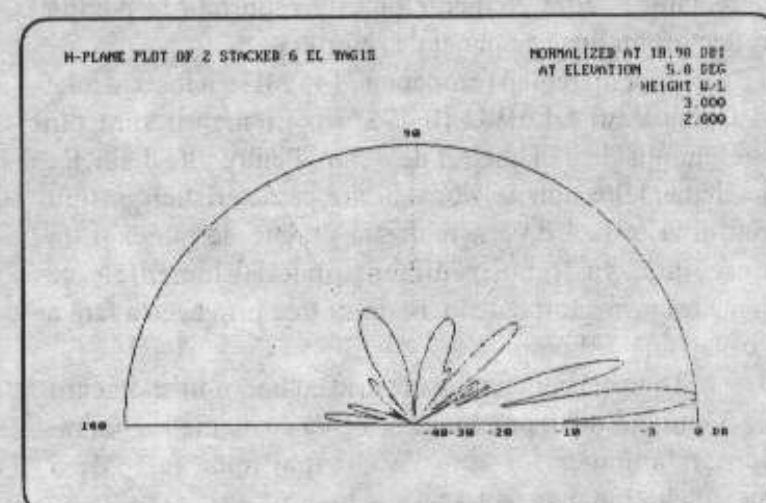
La alegerea planului în care se vor grupa antenele se va ține cont de faptul că lărgimea fascicolului se va îngusta în planul grupării. Dacă dorîți o îngustare a fascicolului în planul orizontal atunci antenele se vor grupa orizontal. Dacă dorîți o diminuare a lărgimii fascicolului în planul vertical atunci se va alege acest plan ca plan al grupării. Dacă alegeti planul orizontal va trebui să aveți grijă ca suportul orizontal al grupului să fie la o distanță apreciabilă față de antene astfel încât efectul său negativ asupra antenelor să fie cât mai mic.

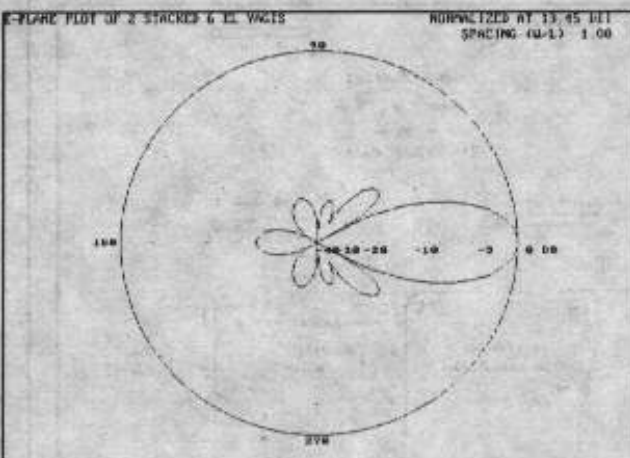
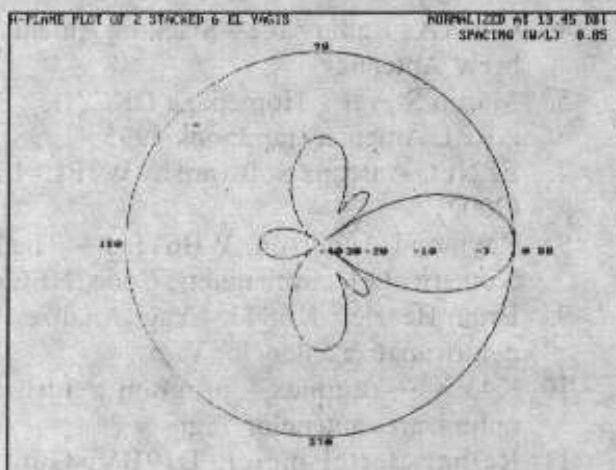
Pentru această antenă lărgimea la -3 dB a lobului principal în planul H este de 60°. Folosind formula lui W1JR rezultă că distanța optimă între antene în planul vertical este de 0,85 lungimi de undă (1,758 m). Lărgimea la -3dB în planul E este de 51°, prin urmare distanța optimă în planul orizontal este de 1 lungime de undă (2,069 m).

Dacă cele două antene sunt grupate în plan vertical deasupra solului la 2 respectiv 3 lungimi de undă înălțime, diagrama de directivitate va arăta că în figura alăturată. Față de o singură antenă aflată la 6 metri deasupra solului câștigul a crescut cu cca 2,5 dB.

Adaptarea

Prin legarea în paralel a două antene cu impedanță de 50 ohmi rezultă o impedanță de 25 de ohmi care trebuie



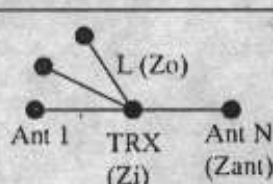


Prin gruparea a două antene câștigul a crescut cu aproximativ 2,9 dB față de câștigul unei singure antene și în același timp lărgimea lobului principal în planul grupării s-a înjumătățit: 30° pentru planul H și 25° pentru planul E. Lobii secundari care au apărut în urma grupării sunt cu 15 dB sub nivelul lobului principal. Diagramele sunt trasate pentru cazul

adaptată cu impedanță de 50 ohmi a liniei de alimentare a grupării și a intrării transceiverului. Avem nevoie prin urmare de un transformator de impedanță. Dacă avem un număr N de antene în grupare, fiecare cu impedanță Z_{ant} , putem realiza un transformator de impedanță din segmente de linie de lungime $\lambda/4$ (sau multiplu impar de $\lambda/4$) și impedanță Z_0 conectate în stea.

Din nod spre transceiver va fi conectată linia de alimentare de impedanță Z_i . Impedanța segmentelor va fi data de relația:

$$Z_0 = \sqrt{N * Z_{ant} * Z_i}$$



Pentru două antene cu impedanță de 50 ohmi, impedanța segmentelor va fi

$$Z_0 = \sqrt{2 * 50 * 50} = 70,71 \text{ ohmi}$$

Cu rezultate acceptabile putem folosi cablu coaxial de 75 ohmi. Lungimile bucățiilor de cablu dintre antene și nod vor fi egale și vor fi multiplu impar de $\lambda/4$. Se vor calcula cu formula:

$$L = (2 * K + 1) * f * \lambda / 4$$

unde: f este factorul de viteză iar K este număr întreg: 0, 1, 2, 3... Pentru cablu coaxial RG 59 de 75 ohmi f are valoarea 0.66 și L va lua una din valorile: 341,38 mm ($K=0$); 1024,15 mm ($K=1$); 1706,92 mm ($K=2$); 2389,69 mm ($K=3$); etc..

Dacă montăm cele două antene în planul vertical la distanța de 0.85 între ele atunci L va fi de 1707 mm, lungime suficientă de lungă pentru a acoperi distanța dintre antene cât și distanța dintre dipoli îndoiți și pilon.

Bucla de adaptare a antenelor va rămâne din cablu coaxial de 50 ohmi având dimensiunile neschimbate.

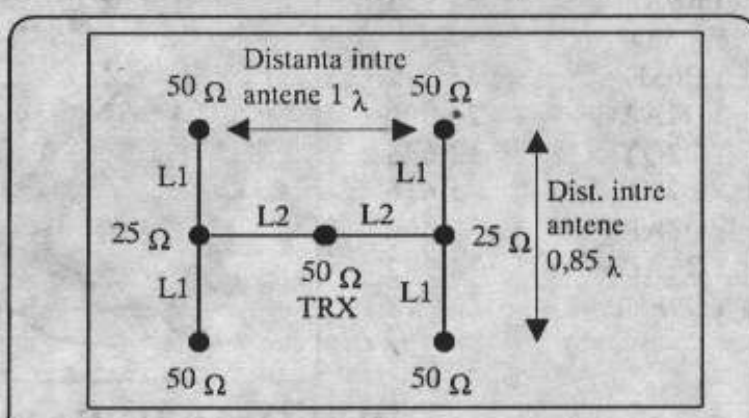
4 x Yagi 6 elemente

Prin gruparea a patru antene identice câștigul va crește cu până la 6 dB față de

câștigul unei singure antene iar lărgimea lobului principal se va înjumătății atât în planul orizontal cât și în cel vertical. L_1 va fi din cablu coaxial de 50 ohmi de lungime arbitrară dar egală pentru toate cele patru antene. L_2 va fi tot din cablu coaxial de 50 ohmi dar de lungime multiplu impar de $f * \lambda / 4$.

Conecțarea în fază

La gruparea antenelor trebuie să se aibă în vedere că semnalele care vin de la antene trebuie să fie în fază în punctul de interconectare cu linia de alimentare. Acest fapt necesită ca partea dreaptă a unuia din dipoli din grup să fie conectată cu partea dreaptă a celorlalți dipoli iar partea stângă a unuia cu partea stângă a celorlalți dipoli din grup.



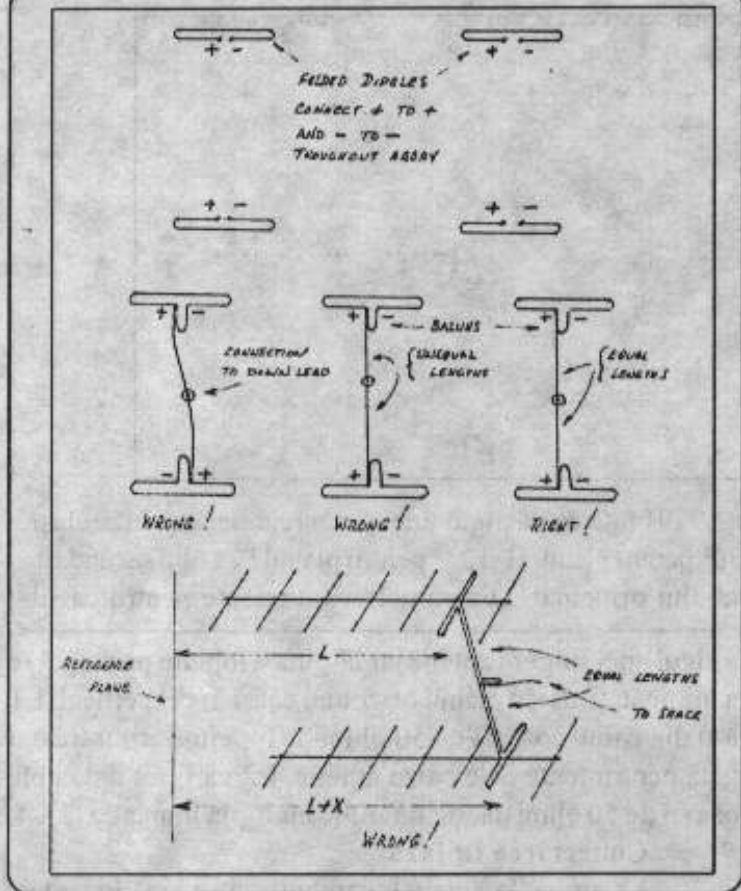
Lungimea cablului de la antene la nodul de interconectare va fi egală, iar antenele se vor monta paralel și în același plan vertical de referință.

Figura de pe pagina următoare (preluată din referință 1) este destul de sugestivă.

Cei care doresc un schimb de opinii pe acest subiect mă pot contacta la adresa: ovidiupopa@hotmail.com

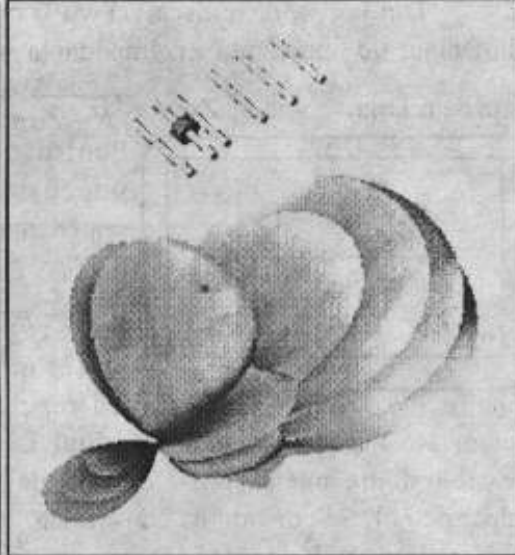
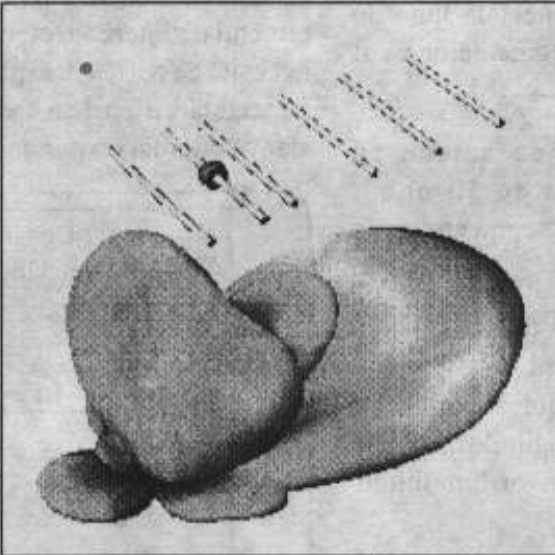
Referințe:

1. Gordon McDonald, VK2ZAB – Stacking, Phasing and Matching Yagis
2. Joe Reisert, WIJR – Stacking Yagi Antennas
3. Ian White, G3SEK – VHF/UHF Long Yagi Workshop - Stacking Yagi Antennas



WAE CW 2002

YO3APJ	474.336
YO7FT/P	349.943
YRSA	88.953
op. YO8AXP	
YO6MT	45.312
YO4AAC	24.800
YO2QY	12.648
YO7VJ	5.676
YO2ARV	5.460
YO6ADW	5.382
YO9FYP	48



DIPLOMA JUBILIARĂ CÂMPINA 500

Este instituită cu prilejul împlinirii la 8 ianuarie 2003, a 500 de ani de la prima atestare documentară a localității Câmpina. DIPLOMA se acordă radioamatorilor români și străini, care pe durata anului 2003, realizează QSO-uri / receptii cu radioamatori care domiciliază în Câmpina sunt originari ori au locuit în această localitate.

Sunt necesare 500 puncte. Fiecare QSO aduce un număr de puncte egal cu suma dintre vârstă operatorului și numărul de ani de radioamatorism. De ex. YO9WL acordă 84 (vârstă) + 66 (numărul de ani de la prima autorizare).

Cu aceeași stație se poate lucra de mai multe ori, dar pe benzi și moduri diferite. Pentru obținerea diplomei sunt necesare cel puțin 3 indicative.

Numărul de puncte acordat de fiecare stație se află pe parcursul QSO-ului.

4. G4CYA's Radio page – Stacking Antennas: Homebrew Antennas
5. Martin Steyer – Homepage DK7ZB
6. ARRL Antenna Handbook 1995
7. EZNEC Antenna Software by W7EL - EZNEC 3.0 (2002)
8. Raymond Anderson, WB6TPU – The *unofficial* Numerical Electromagnetic Code (NEC) Archives
9. Brian Beezley, K6STI – Yagi Analyzer - program pentru analiza antenelor Yagi
10. K4VX – Yagimax - program pentru analiza și optimizarea antenelor Yagi
11. Reiner Bertelsmeier, DJ9BV; Günter Hoch, DL6WU – Yagi Simulation: CAD-Software for Evaluation and Development (A Case Study and Performance Report)

73 de Ovidiu
YO4GMS

Caracteristicile de radiatie ale antenei la 2 m (stânga) și 6 m (dreapta) înălțime față de sol

Cererea însoțită de QSL-uri pentru stațiile lucrate și suma de 20.000 lei sau mărci poștale (pentru străini 3 IRC-uri) se va expedia la **YO9IF Băleanu Lucian, Calea Doftanei 10, Bl. C, Sc.B, Ap.2, Câmpina 2150, jud. Prahova**

Pentru trafic efectuat cu stații cîmpinene până la 1 aprilie 2003 se organizează un MARATON a cărui premieră se va face în luna iunie cu ocazia **FILED DAY**-ulu care se va organiza la **Fântâna cu Cireși**.

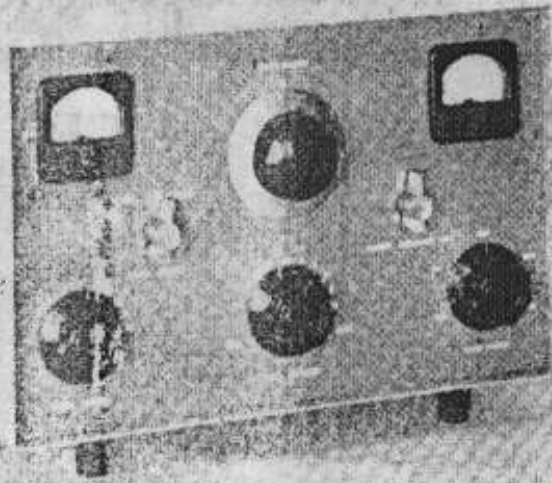
Lista cu stațiile care actualmente locuiesc în alte localități, dar care acordă puncte pentru diploma **CÂMPINA 500**.

YO3EM, 9HH, 9IE, 4UQ, 9ALY, 3APJ, 7AWZ, 9BCZ, 9BQN, 9CBV, 0COZ, 9FKR, 9GOO, 9ICE, 3III.

Amplificator linear de 1KW cu grila la masă, utilizând tubul 3-400Z

Acest material reprezintă traducerea articolului "High-Power Zero-Bias Grounded-Grid Linear" scris de către Harold C. Barber, W6GQK și Robert I. Sutherland, W6UOV și apărut în revista QST din septembrie 1961. Bazat pe tubul (nou apărut, la vremea respectivă) 3-400Z de la Eimac, acest amplificator cu grila la masă, asigură o putere input de 1KW.

Amplificatorul linear "ideal" ar trebui să conțină doar un tub, un transformator pentru alimentarea filamentului, o sursă de alimentare anodică și un circuit acordat. Ar trebui să fie simplu de construit și să nu coste decât cîțiva bani.



Pur și simplu! Acest amplificator de 1KW, linear cu grila la masă, în carcasa sa care elimină perturbațiile este un companion ideal pentru multitudinea de excitatoare de mici dimensiuni care există în prezent. De o parte și de alta a butonului pentru acordul circuitului anodic sunt: în stînga miliampermeterul pentru curentul de grilă și pentru cel anodic, comutarea fiind făcută de un comutator amplasat mai jos și aparatul pentru măsurarea puterii de ieșire cu reglajul său de sensibilitate. În partea de jos, de la stînga la dreapta, sunt butoanele pentru acordul circuitului de intrare, al antenei și comutatorul benzii de lucru.

Din nefericire, realizarea unui astfel de amplificator nu este posibilă nici astăzi, și nici în viitorul apropiat. Dimpotrivă, amplificatorul linear obisnuit este un aparat complicat, necesitând surse de polarizare pentru circuitul de grilă, alimentare stabilizată pentru grila-ecran, rezistoare care disipă puteri importante în circuitul grilei și multe alte componente prețioase și complicate care se adaugă la costul și la ... greutatea linearului. Deși scopul acestui amplificator este de a furniza corespondentului un semnal mai puternic și mai clar multe scheme de amplificare lineare devin un labirint costisitor și complex de surse de alimentare necesare pentru a ține în viață bestia termoionică.

O mare parte a acestor blocuri funcționale auxiliare poate fi evitată dacă se utilizează un tub care nu necesită

polarizare de grilă, în configurație simplă cu grila la masă, cum este cea din Fig. 1. Mai multe tipuri de tuburi de emisie (concepute pentru amplificatoare atacate în grilă) cum sunt 813, 811-A și 4-400A au fost utilizate cu succes în scheme cu grila la masă, dar nu a fost disponibil, pînă acum, un tub de putere mare, proiectat

Tubul 811-A este o lampă des folosită pentru construirea amplificatoarelor lineare, deoarece schema acestora este simplă: tubul poate fi folosit cu grila la masă și nu utilizează surse de polarizare. Aceleași facilități au fost incluse în noul tub 3-400Z de la Eimac, acesta fiind o triodă de putere care nu necesită polarizare. Ea a stat la baza amplificatorului linear din acest articol, o construcție compactă și simplă. Tubul este proiectat pentru o putere *input* de 1KW p.e.p. și este destinat în special aplicațiilor fără neutrodinare, cu grila la masă.

Caracteristicile triodei Eimac 3-400Z

Caracteristici generale

Filament: 5,0V la un curent de 14,5A

Capacități între electrozi:

Grilă - filament:	7,4pF
Grilă - anod:	4,1pF
Anod - filament:	0,07pF

Parametri de funcționare tipici

Tensiunea anodică: 2500V, schemă cu grila la masă

Curent anodic fără semnal: 75mA*

Curent anodic (c.c.)

pentru excitație cu un singur ton: 400mA
Curent de grilă (c.c.)

pentru excitație cu un singur ton: 140mA
Curent anodic (c.c.)

pentru excitație cu două tonuri: 275mA
Curent de grilă (c.c.)

pentru excitație cu două tonuri: 82mA
P.e.p. *input*:

1000W

P.e.p. *output*: 560W**

Impedanță de sarcină la rezonanță: 3450Ω

Producător de intermodulație,

sub nivelul de semnal p.e.p.: > -35dB
Putere de atac (aprox.): 32W p.e.p.

* valoare aproximativă

** include pierderile în circuit

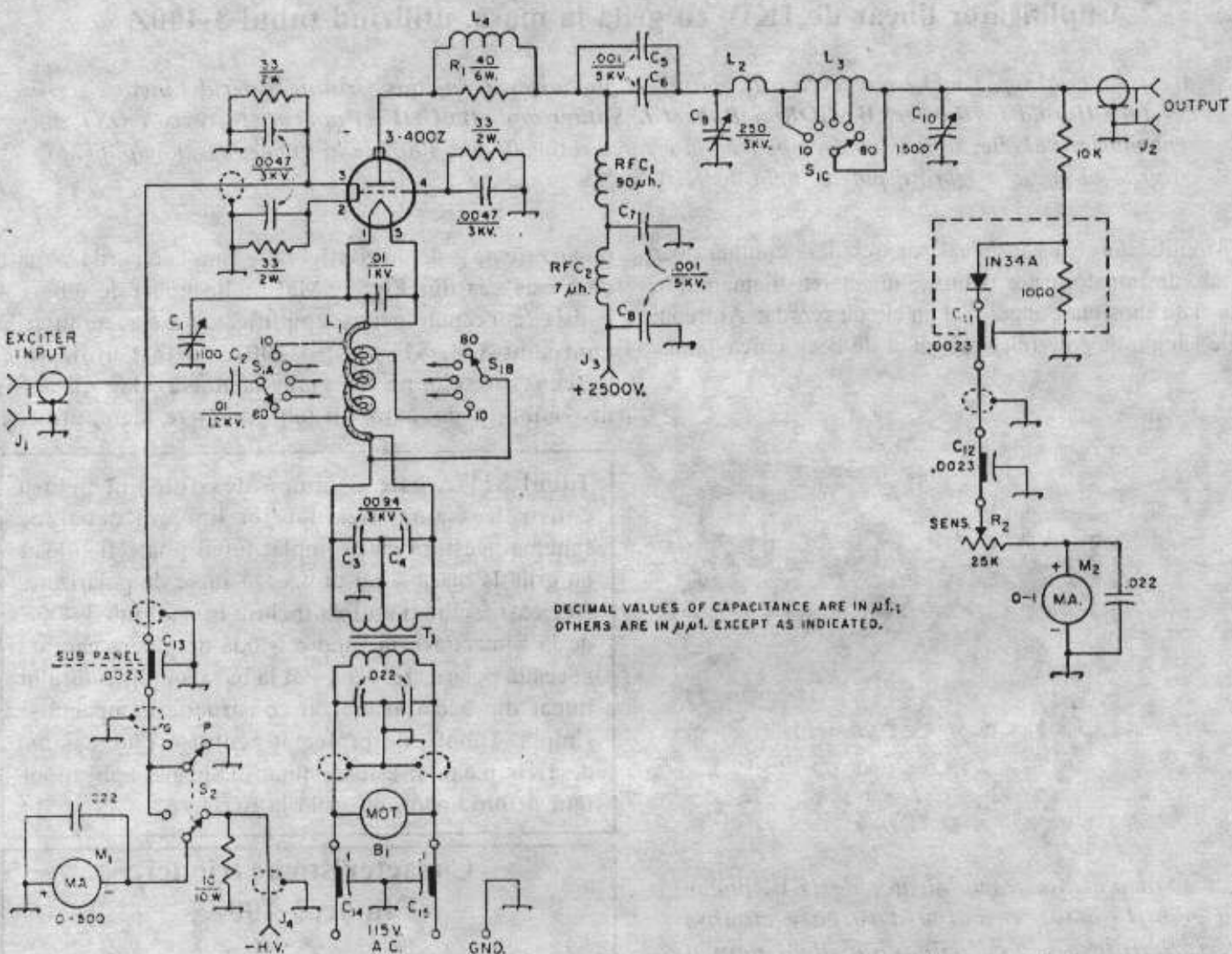
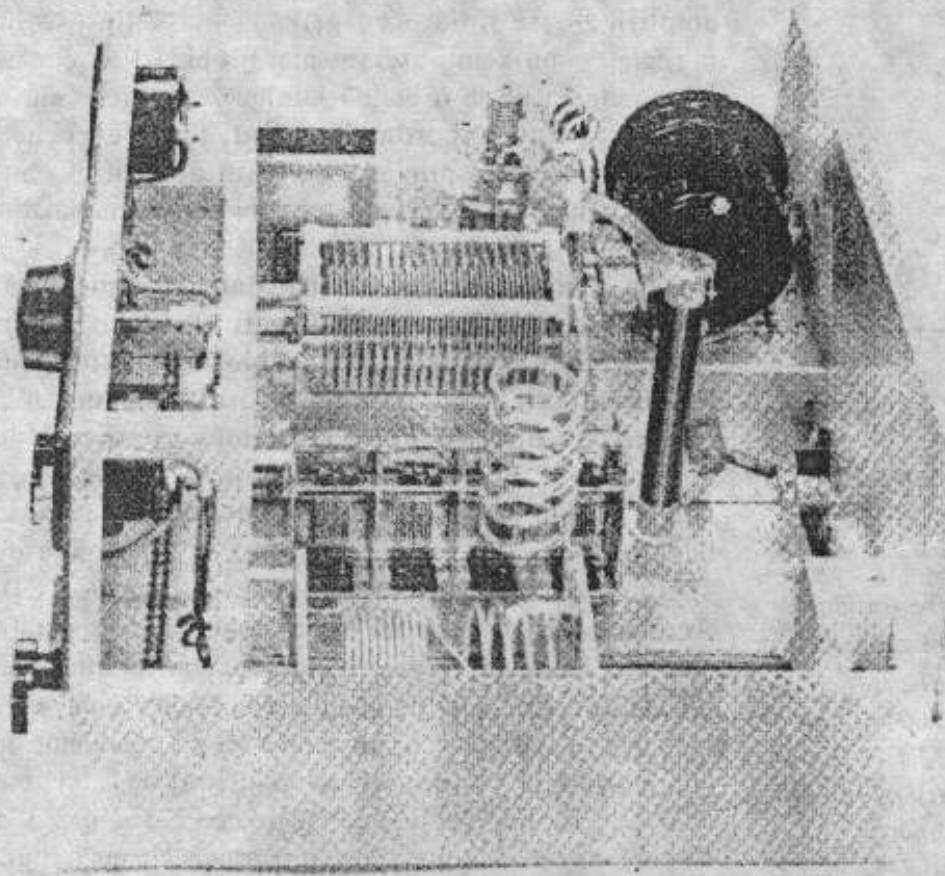


Fig 1 Schema electrică a amplificatorului de mare putere cu grila la masă. Condensatoarele care nu sunt în lista următoare sunt de tipul ceramic, disc. Rezistoarele sunt în ohmi și au puterea de 0.5W, dacă nu se indică altfel. Pentru condensatoare, dacă nu se specifică altfel, valorile zecimale sunt exprimate în μF , celelalte sunt exprimate în μuF . Componentele utilizate: B1 - ventilator $15\text{ft}^3/\text{min}$, C1 - condensator variabil de receptor radio, trei secțiuni, 365pF pentru fiecare secțiune, cele trei secțiuni în paralel, C2 - condensator cu mică, pentru emisie $10\text{nF}/1200\text{V}$, C3,C4 - fiecare $2 \times 4.7\text{nF}$, 3KV , ceramice, disc, C5, C6, C7, C8 - 1nF , 5KV , de tip "miner de usă" - speciale pentru RF, C9 - condensator variabil de emisie, 2mm distanță între plăci, 250pF , 3KV , C10 - condensator variabil de receptor radio, patru secțiuni, 365pF pentru fiecare secțiune, cele patru secțiuni în paralel, C11, C12, C13 - condensatoare de trecere, C14, C15 - condensator de trecere $600\text{V}, 20\text{A}$, J1, J2, conexoare coaxiale de RF, de montare pe șasiu (SO-239 sau UG-58A/U), J3, J4 - conexoare de alimentare cu înaltă tensiune, L1 - bobină coaxială (vezi în text), L2 - 6 spire tub de cupru cu diametrul de 1.4mm ($3/16''$), diametrul bobinei 35mm ($1 3/8''$), lungime bobină 102mm ($4''$), L2 - aprox 10\mu H , cu prize la 5\mu H , 2.5\mu H , 1.5\mu H (vezi în text), L4 - 4 spire sirmă cu diametrul de 2.1mm (Nr. 12), diametrul bobină 19mm ($3/4''$), lungime 25mm ($1''$), M1 - miliampmetru c.c. $0-500\text{mA}$, M2 - miliampmetru c.c. $0-1\text{mA}$, R1 - trei rezistoare de 120Ω , 2W în paralel, R2 - potențiometru linear, RFC1 - șoc de RF de $90\mu\text{H}$, 500mA realizat din 175 de spire sirmă de 0.4mm (Nr. 26) pe o carcăsă cu diametrul de 19mm ($3/4''$) și lungimea de 112mm ($4 3/8''$), RFC2 - șoc de VHF (Ohmite Z-50), S1 A-B - comutator rotativ ceramic, 2 secțiuni, 5 poziții, indexate la 30° , S1C - comutator rotativ ceramic, 1 secțiune, 5 poziții (parte a subansamblului L3), S2 - comutator rotativ ceramic, 2 secțiuni, 2 poziții, T1 - transformator de filament $5\text{V}, 13\text{A}$ (Triad F9A).

să funcționeze fără polarizare. Amplificatorul descris în acest articol este bazat pe trioda 3-400Z fabricată de Eimac, unul din membrii familiei de triode fără polarizare, tub acum accesibil și radioamatilor. Parametrii de funcționare tipici pentru tubul 3-400Z și pentru un alt tub popular de emisie, 811-A sunt indicați în casetele anterioare.

Tubul fără polarizare 3-400Z

Tubul 3-400Z este o nouă triodă de putere, cu pantă mare, admitînd o putere disipată la anod de 400W . Este destinat amplificatoarelor de 1KW (input) pentru emisiuni cu BLU (SSB). În limitele tensiunii anodice maxime de 3000V , tubul 3-400Z are o caracteristică importantă: nu are nevoie nici de polarizare pe grilă.



Imagine de ansamblu a sasiului amplificatorului. Condensatorul de acord pentru circuitul anodic este amplasat pe un panou auxiliar fixat cu trei distanțieri din metal de 45mm (1 ¾"). Axul lui este cu 76mm (3") mai jos față de marginea de sus a panoului frontal. Sub acest condensator, pe aceeași axă este condensatorul pentru acordul antenei, cu secțiunile conectate în paralel cu un strap făcut din bandă de cupru. În spatele acestui condensator este fixat un L de aluminiu pe care este montat socul de RF din circuitul anodic. În spatele statorului condensatorului de acord pentru circuitul anodic este montată o mică traversă pe care sunt montați cei doi condensatori de blocare a curentului continuu din circuitul anodic, C5 și C6. Pe terminalul de stator din partea opusă este un alt mic suport-baretă pe care se află un izolator ceramic de 12mm (½"). Aceasta fixează conexiunea de anod și un terminal al bobinei supresoare de paraziți. O a treia baretă conectează între ele terminalul de sus al socului de RF și condensatoarele de blocare. Mica cutie de aluminiu din dreapta jos conține dioda semiconductoare și circuitele asociate voltmetrului de RF de la ieșire. Cei doi condensatori de decuplare ai circuitului anodic, C7 și C8 pot fi văzuți în dreapta socului anodic, cu socul de VHF (RFC2) între ele. Ansamblul bobinei din circuitul anodic este în prim-plan.

nici de neutrodinare. Radioamatorii mai cu experiență își pot aminti de tubul 46 (în perioada interbelică emițătoarele pentru 160m utilizau un sac întreg de astfel de "sticle"): dacă i se înălță excitația, tubul 46 se oprea pur și simplu din funcționare. Același lucru este valabil și pentru 3-400Z. Utilizat într-o schemă cu grila la masă, nu are nevoie de neutrodinare.

Înălțimea tubului, de la bază până la anod este de doar 115mm (4 ½") făcându-l extrem de atractiv pentru realizarea de amplificatoare lineare moderne. Din cauza dimensiunilor reduse ale tubului și pentru că nimici nu a reușit pînă acum să miniaturizeze watt-ul, trebuie neapărat să răcim carcasa tubului, etansările și anodul, utilizînd ventilatie fortată, de la un ventilator.

Eliminarea surselor de alimentare pentru polarizarea grilei și pentru neutrodinare permite realizarea de economii și scuteste realizatorul unui astfel de proiect de munca suplimentară.

Schema amplificatorului

Amplificatorul prezentat este proiectat pentru o putere *input* de 1kW p.e.p. - pentru SSB sau 1kW în CW. În plus ar putea funcționa ca un amplificator AM de 600W *input* (cu o putere *output* a purtătoarei de cca. 200W). Circuitele acordate, dependente de banda în care se lucrează, sunt cuplate mecanic și acoperă benzile de amatori de la 3,5MHz pînă la 28MHz, cu o întrepătrundere suficient de mare. La ieșire este utilizat un filtru π . Condensatorul de cuplare este mare, pentru a asigura o bună linearitate. Deoarece pentru orice linear se impune supravegherea nivelului de putere de la ieșire, s-a utilizat un voltmetru simplu cu diodă semiconductoare. Domeniul de măsură pentru acest voltmetru este unul variabil, deoarece nu este nevoie de indicarea unor valori absolute.

Funcționarea corespunzătoare a amplificatorului poate fi asigurată

menținind un raport dat între curentul de grilă și curentul anodic. De aceea, deși este o schemă cu grila la masă, aceasta este suficient de "neconectată la masă" ca să permită introducerea unui circuit simplu pentru măsurarea curentului. Dacă acest lucru este făcut cum trebuie stabilitatea și funcționarea în ansamblu a amplificatorului rămîn neschimbate. Pentru a obține asta, fiecare din cele trei conexiuni exterioare de grilă ale tubului 3-400Z este conectată la masă printr-un grup RC de impedanță mică. Rezistoarele formează un sunt cu miliampermetrul, dar ele au o valoare suficient de mare pentru a nu afecta calibrarea aparatului de măsură. Se utilizează condensatoare de radiofrecvență de înaltă tensiune, pentru a avea capacitatea necesară de a suporta curenti mari de RF. Curentul anodic este măsurat prin polul negativ al sursei de alimentare și nu în circuitul de return al filamentului deoarece aici s-ar găsi o combinație între curentul anodic și cel de grilă.

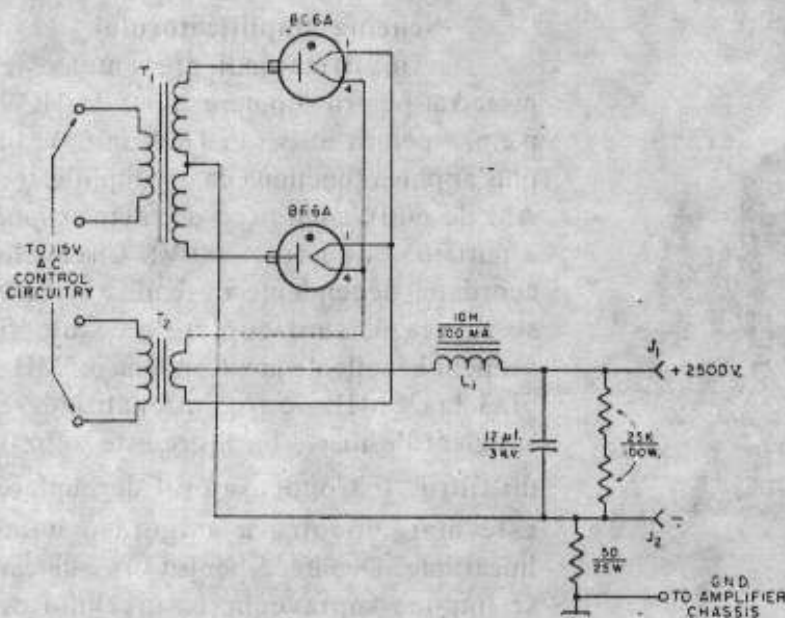


Fig 2 Schema electrică a sursei de alimentare utilizată pentru amplificatorul linear cu tubul 3-400Z. Valorile rezistoarelor sunt în ohmi. Componentele utilizate: J1, J2 - conectoare de înaltă tensiune (Millen 37001), L1 - soc de filtrare 10H, 500mA (Triad C-22A), T1 - transformator alimentare anodică 2x2900V, 375mA (Stancor P-8034), T2 - transformator de filament, 2x5V, 10A, izolație 10kV.

Polul negativ al sursei de alimentare este mai pozitiv decât masa datorită căderii de tensiune pe rezistorul de 50Ω (Fig. 2), deci sursa de alimentare este "flotantă" în raport cu masa (șasiul). Rezistorul de 10Ω de la borna J4 este utilizat pentru a asigura o conexiune la șasiu (masă) pentru cazul în care se utilizează o sursă de alimentare convențională (cu minusul conectat direct la șasiu) cu polul negativ legat la J4. În acest caz nu ar exista o conexiune a sursei de înaltă tensiune către polul negativ al amplificatorului atunci cind instrumentul de măsură este comutat pentru măsurarea curentului de grilă. Pe de altă parte, conectând o sursă convențională de alimentare la terminalul de masă al amplificatorului s-ar scurta circuitul instrumentului de măsură atunci cind acesta este comutat în poziția de măsurare a curentului anodic.

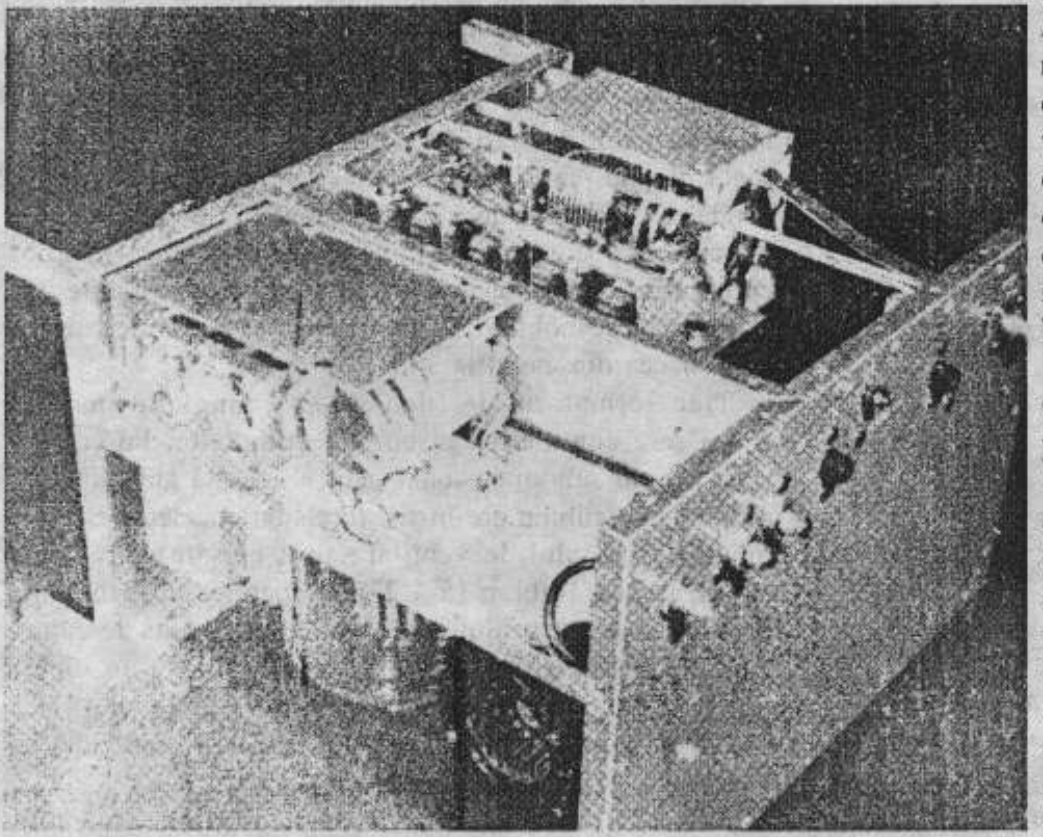
Impedanța nominală de atac a tubului 3-400Z este de 422Ω . Deoarece această valoare variază destul de mult de-a lungul curbei de funcționare se utilizează un circuit acordat, cu capacitatea de valoare mare, în catod (C_1 , L_1) pentru a stabiliza impedanța de sarcină văzută de către excitator. Tensiunea de filament este aplicată lămpii prin bobina acestui circuit, care are forma unei înșurări coaxiale prevăzută cu mai multe prize. O priză este utilizată împreună cu secțiunea B a comutatorului S1 pentru a rezona în diferite benzi. Excitația este aplicată celor două prize aferente secțiunii A a comutatorului S1. Aceasta este reglată pentru un raport de undă stationară cît mai mic de-a lungul liniei coaxiale care aduce semnalul de la excitator (pe o impedanță de 50Ω , în acest caz).

Dificultățile de atac obișnuite schemelor de amplificatoare liniare cu grila la masă lipsesc în întregime și nu s-au observat nici probleme de cuplaj la comutarea de la o bandă la alta. Avantajele aduse de acest circuit acordat în catod, față de vechea modalitate de atac prin soc de RF neacordat sunt putere mai mare la ieșire, distorsiuni de intermodulație mai mici și ușurința atacului etajului de putere.

Construcția circuitului acordat din catod

Acest circuit este conceput să fie construit ca un subansamblu separat. Subansamblul este format din bobina coaxială L_1 , condensatorul de acord C_1 , condensatorul de cuplare C_2 , condensatoarele de decuplare C_3 și C_4 și secțiunile A și B ale comutatorului de bandă S1. Bobina coaxială are la bază o bucată de țevă moale de cupru lungă de 1550mm (61") și cu diametrul de 4,76mm (3/16"). Aceasta se poate procură de la atelierele de reparări auto, atelierele de reparări frigidere sau ferometalele bine aprovizionate. Înainte de a bobina cu țeava de mai sus, se introduce în interiorul ei un conductor de cupru izolat (cu Formvar), cu diametrul de 2,052mm (Nr. 12), lăsând cîte o rezervă de cca. 75mm (3") la fiecare capăt. Înainte de a introduce șirma izolată trebuie să rotunjim cu atenție muchiile tăioase ale tevi de cupru, pentru a nu deteriora izolația. Pentru conductorul central nu trebuie folosit conductor izolat cu email, deoarece emailul nu este suficient de rezistent din punct de vedere mecanic și izolația poate fi ușor compromisă. Acum se poate bobina țeava pe un calapod cu diametrul de 41,25mm (1 5/8"). Se poate folosi o bucată de țevă pentru apă. Se realizează o bobină cu aproximativ 10,5 spire.

Bobina din țevă de cupru are două prize pentru fiecare bandă. Priza de scurtcircuitare (S1B) selectează inducțanța potrivită pentru banda curentă, în timp ce priza cealaltă (S1A) amplasată un pic mai sus pe bobină, este folosită pentru cuplajul cu excitatorul, așa cum s-a arătat mai devreme. Numărind de sus (partea dinspre filament) priza pentru banda de 10m este la 1,5 spire cu priza pentru excitație la 1 spiră, pentru 15m priza este la 2,5 spire cu priza pentru excitație la 1,5 spire, pentru 20m priza este 3,5 spire cu priza pentru excitație la 1,5 spire (la fel ca pentru banda de 15m). Pentru 40m priza este la 6,5 spire cu priza pentru excitație la 3 spire. Pentru 80m se folosește întreaga bobină, cu priza pentru excitație la 4,5 spire. Pentru terminalele care duc la comutatorul de bandă se utilizează bandă de cupru lată de 6,35mm (1/4") iar terminalele care se utilizează pentru atacul dinspre excitator sunt din șirmă de cupru emailat de 1mm (Nr. 18). Toate prizele se conectează prin lipire pe țeava de cupru. Odată ce este gata, bobina se montează pe un suport de bachelită sau răsină fenolică gros de 12mm (1/2"), cu dimensiunile de 100 x 42mm (4 x 1 5/8"). Spirele către capătul de înaltă frecvență (înspre filament) sunt mai distanțate unele de altele, după cum se poate vedea în fotografie.



Vedere de jos a amplificatorului cu grila la masă construit cu tubul 3-400Z. Se arată montarea transformatorului de filament, a soclului tubului și a ventilatorului pe sasiul în formă de L. Subansamblu circuitului oscilant din catod este montat pe un sasiu propriu, cu distanțieri. Soclul tubului este orientat astfel încit terminalele de filament să fie înspre marginea șasiului principal, pentru a permite conexiuni mai scurte cu capătul cel mai apropiat al bobinei coaxiale. Una din cele trei grupuri RC din circuitul grilei se poate vedea în partea dreaptă a soclului; cele două condensatoare montate în paralel au capacitatea la jumătate din valoarea necesară și au fost folosite așa pentru că erau la indemnă. De-a lungul peretelui din spate sunt conexoarele pentru intrarea de RF, condensatoarele de trecere utilizate drept terminale pentru tensiunea alternativă de alimentare, conectorul pentru tensiunea anodică de c.c., surubul de punere la masă, borna de aplicare a tensiunii negative (separată de masă) și conectorul de ieșire pentru tensiunea de RF. Subansamblul filtrului π cu bobina sa și condensatorul de ieșire se pot vedea în partea din spate-sus a imaginii.

Placa izolantă este perforată și filetată pentru a putea fi fixată pe un mic izolator de ceramică fixat pe șasiul subansamblului. Șasiul acesta, în forma literei L măsoară 150 x 100mm (6 x 4"), iar partea indoită din față are 60mm (2 3/8"). Atunci cînd se fac conexiunile la comutatorul de bandă trebuie să avem în vedere că bobina anodică și cea din catod vor fi comutate simultan prin intermediul unui cuplaj mecanic lanț - roată dințată. De aceea comutatorul pentru bobina din catod trebuie să aibă poziția pentru banda de 80m la limită, în sens orar, pentru a corespunde secvenței corecte a prizelor din comutatorul utilizat în circuitul de ieșire.

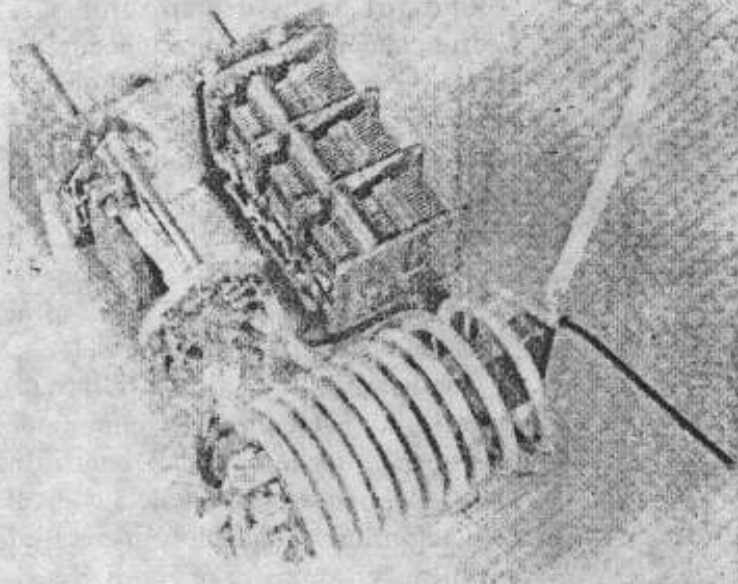
Condensatorul C2, în serie cu intrarea de la excitator, trebuie să suporte întregul curent de RF generat de către acesta și trebuie să fie un condensator cu mică special pentru emisie. Condensatoarele din circuitul de filament C3 și C4 sunt formate din cele două condensatoare ceramice montate în paralel, alese pentru dimensiunile lor reduse și o capacitate suficientă pentru a asigura decuplarea la masă, din punct de vedere al radiofrecvenței, pentru

secundarul transformatorului T1. Aceste condensatoare sunt montate direct la capătul "rece" al bobinei coaxiale de filament. Din punct de vedere al semnalului de radiofrecvență circuitul de return anod - catod este prin circuitul acordat din catod. Conexiunile de la bornele statorului lui C1 la filament și la bobina coaxială sunt făcute prin bandă de cupru lată de 6,35mm (1 1/4").

Condensatorul - serie de la intrare. C2 este conectat direct la comutator prin același tip de bandă de cupru (în fotografie, conexiunea paralelă cu axul comutatorului). Conductorul central al cablului coaxial care vine de la conectorul de intrare este lipit direct la un capăt al condensatorului C2, iar ecranul acestui cablu coaxial se leagă direct la carcasa lui C1. Impedanța acestui circuit acordat este deosebit de mică și trebuie o atenție deosebită pentru a ne asigura că această impedanță provine din elementele de circuit special dimensionate pentru curenții mari de RF și nu în diferitele terminale de interconectare sau în comutatoare.

Carcasa - ecran

Acest amplificator de putere măsoară numai 222mm (8 3/4") înălțime, 356mm (14") lățime și 381mm (15") adâncime - destul de compact pentru a sta pe masă, lingă exitatorul SSB sau receptor. Modalitatea de construcție este deosebită pentru că nu se utilizează un șasiu - chiar carcasa servește drept șasiu. Pentru evitarea perturbațiilor radiate (TVI, BCI) carcasa este fabricată din tablă de aluminiu groasă de 1,6mm (0,063") și suporti (corniere) de aluminiu de 12mm (1/2"). Panoul frontal este din tablă de dural de 3,2mm (1/8") și are dimensiunile de 222mm (8 3/4") pe înălțime și 356mm (14") pe lățime. Panoul din spatele celui frontal și panoul din spate sunt din tablă de aluminiu mai subțire, tăiată la aceleași dimensiuni. Toate cele trei piese sunt încadrate cu cornieră de aluminiu, așa cum se poate vedea și din ilustrații. Distanța dintre panoul frontal și cel din spate este de 63mm (2 1/2"), cele două bucăți de tablă fiind unite în colțuri prin patru bucăți de bară cu secțiune pătrată de aluminiu (de 12mm (1/2")).



Circuitul oscilant cu capacitate mare din catod este construit ca un subansamblu separat. Terminalele necesare comutatorului de bandă sunt din benzi de cupru. Sirmă emailată este utilizată pentru prizele necesare excitării. Cele două terminale din partea din stînga (închise la culoare) a suportului bobinei sunt pentru filamentul tubului. Conexiunile de ieșire spre soclul tubului sunt exteriorul sub formă de bandă și conductorul central, în fotografie, în partea dreapta. Conductorul sub formă de bandă face și legătura cu statorul condensatorului de acord. Condensatorul fix aflat deasupra comutatorului, în lungul axului acestuia, este condensatorul de la intrare, C2.

Capacul măsoară 356mm (14") în lățime, 381mm (15") în adâncime și 130mm (5 1/8") în înăltime. Cele două capace sunt atașate de restul construcției prin șuruburi. Circuitul de intrare al amplificatorului este realizat pe un suport în formă de L, așa cum se poate observa și în fotografie care arată șasiul văzut de dedesubt. Compartimentul are o înăltime de 95mm (3 3/4") și o adâncime de cca. 305mm (12") - această dimensiune este determinată de dimensiunea finală între panoul secundar, din față și panoul din spate al amplificatorului. Suportul are două buze de cca. 12mm (1/2"), una în lungul marginii și cealaltă de-a lungul părții de jos. Acest suport, împreună cu capacul inferior și panourile amintite formează un compartiment care izolează compartimentul destinat circuitului catodic împotriva emisiilor de RF și fluxului de aer vehiculat de ventilator. Componentele din circuitul anodic nu necesită șasiu. Cele două condensatoare din componenta filtrului π sunt montate pe un sub-panou prin intermediul unor șuruburi și distanțiere. Subansamblul bobinei din circuitul anodic este fixat asemănător, așa cum se poate vedea din fotografiile alăturate.

Dispunerea componentelor și subansamblurilor

Dispunerea generală a componentelor poate fi văzută în fotografii. Instrumentele de măsură sunt izolate de

semnalul puternic de RF de către sub-panoul din fată.

Comutatorul de bandă din circuitul anodic și cel din circuitul de catod sunt cuplate mecanic, pentru a simplifica operarea amplificatorului. În zona instrumentelor de măsură se află și transmisia prin lant-roată dințată, care couplează mecanic comutatoarele de bandă din circuitul de intrare (catod) și din cel anodic, așa cum se poate vedea și din Foto 5. Pentru sistemul de cuplare mecanică se impune un raport de reducție de 2:1, deoarece bobina din anod are benzile indexate la 60°, iar cea din catod la 30°.

Transformatorul de filament este amplasat în fața cutiei care conține subansamblul circuitelor din catod. Deși un pic subdimensionat pentru această aplicație, el a funcționat cubine ore în sir, fără supraincălzire. Soclul tubului și canalul de ventilare sunt plasate în centrul cutiei, la cca 140mm (5 1/2") în spatele sub-panoului frontal; restul spațiului disponibil este ocupat de către ventilatorul centrifugal. Pentru tub s-a utilizat un soclu ceramic Johnson; noul soclu în aer Eimac SK-410, completat cu canalul de ventilație SK-416 reprezintă o alternativă economică.

Subansamblul comutator de bandă - bobină din circuitul anodic este amplasat în partea opusă compartimentului principal. Subansamblul este dimensionat pentru 500W input. El a fost demontat, argintat și modificat pentru a putea suporta o putere de 1KW input atât în CW cât și în SSB. În plus s-a mai adăugat o secțiune pentru banda de 10m și s-au modificat prizele pentru a avea raportul L/C care să asigure amplificatorului o linearitate optimă. Mai întii se înălță spire începând de la capătul cu spire mai subțiri pînă cînd mai rămîn în această secțiune doar 11,5 spire. Priza pentru banda de 40m este plasată la 7,5 spire față de capătul de ieșire spre antenă, iar priza pentru 20m la imbinarea dintre cele două secțiuni ale bobinei. Priza pentru banda de 15m este în partea cu spire mai groase, la 1 3/4 spire față de priza pentru 20m; pînă la capăt mai rămîn 2 3/4 spire. Pentru banda de 10m s-a construit o bobină nouă, care înlocuiește secțiunea inițială. Această bobină are 6 spire din tub de cupru de 4,76 (3/16"), are diametrul de 35mm (1 3/8") și o lungime de 102mm (4"). Această bobină a fost montată după cum se poate vedea în fotografie laterală.

Cablarea amplificatorului

Pentru toate conexiunile de joasă tensiune se utilizează cablu ecranat iar conexiunile dintre compartimentul amplificatorului către compartimentul cu instrumente de măsură sunt realizate prin mici condensatoare de trecere. În partea din spate, sunt utilizate condensatoare coaxiale drept terminale pentru tensiunea de alimentare din rețea (de 115V). Pentru cablarea circuitului π de la ieșire s-a utilizat bandă de cupru argintată de 12 mm (1/2"). Cele patru secțiuni din statorul condensatorului variabil de la ieșirea filtrului π sunt legate în paralel prin mici bucăți de bandă de cupru. Toate conexiunile trebuie să fie directe și să fie scurte.

Testarea amplificatorului

Amplificatorul este stabil și nu prezintă autooscilații iar modul de operare este simplu. El este proiectat să fie alimentat dintr-o sursă de 2500V, 400mA. În Fig. 2 se poate vedea schema sursei de alimentare utilizate pentru acest amplificator.

Reglajele preliminare trebuie făcute la o tensiune anodică mai scăzută și cu minimum de excitare. Semnalul de la excitator nu trebuie niciodată aplicat înaintea aplicării tensiunii anodice. Odată acordul stabilit, tubul trebuie încărcat pînă la un curent anodic de aproximativ 400mA. Curentul de grilă în acest caz trebuie să fie de cca. 140mA. Raportul optim este de cca. 3mA curent anodic la 1mA curent de grilă și trebuie menținut permanent în timpul funcționării. Dacă curentul de grilă este prea mare, înseamnă că încărcarea anodică este prea slabă. Un curent de grilă mic înseamnă o încărcare anodică prea puternică. Ca verificare finală trebuie să se constate (pe voltmetrul de RF de la ieșire) că semnalul de ieșire crește direct proporțional cu creșterea semnalului din excitator. În final pentru a obține maximum de linearitate, circuitul anodic de ieșire trebuie să fie supracuplat (scăzind valoarea condensatorului de ieșire din filtrul π) pînă cînd puterea scade cu cca. 3%.

Cu un semnal de test cu două tonuri curentul anodic la semnal maxim trebuie să fie de 275mA și curentul de grilă de cca. 80mA. Cu un semnal vocal mediu, curentul anodic trebuie să fie salte către 180-200mA cu virfuri ale curentului de grilă de 60-70mA.

Puterea p.e.p. input în aceste condiții este de cca. 1kW și toti produși nedoriți vor fi reduși cu mai bine de 35dB față de nivelul de virf al semnalului. Dacă sunt atinse condițiile de funcționare optime, pentru acest tub, în acest montaj, s-a obținut un raport semnal - distorsiuni mai bun de -42dB, cu un semnal de test cu două tonuri.

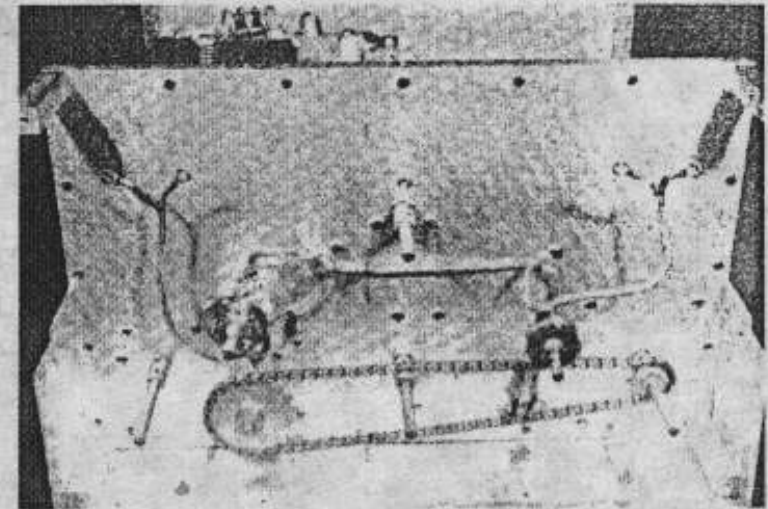
Distorsiuni atât de reduse pot fi obținute cu tuburi convenționale accesibile amatorilor numai dacă se utilizează scheme cu reacție.

QTC de Val - YO6DDF

Second Ducie DXpedition set for March: The second DXpedition to the newest DXCC entity. Ducie Island, is expected to take place in March, according to an announcement this week. Ducie Island DXpedition Leader Yuichi Yoshida, JR2KDN, reports he will depart from Narita, Japan, on March 3 heading for Tahiti, French Polynesia, and then on to Gambier Island. Presumably this is where the vessel Braveheart will meet up with the DXpedition team members.

They expect to arrive at Pitcairn Island to pick up the remaining team members on March 5 and then head for Ducie Island. Plans are to begin operations March 8 from VP6DI2 (yes, that's a "2" at the end of that call sign) and continue about a week. The operator list includes Dieter, DJ9ON; Hans, DK9KX; Philippe, FO3BM; Hiro, JA1SLS; Yuichi, JR2KDN; Doug, N6TQS; Dave, VP6DB; Mike, VP6AZ; and Meralda, VP6MW. Activity is being planned for 6 through 160 meters on CW, SSB, RTTY and AO-40. QSL via JR2KDN (bureau or direct). Pilot stations for this DXpedition are JE2EHP, DJ8NK and WA2MOE. The initial Ducie Island DXpedition in March of 2002 racked up some 50,000 contacts. A 2.5-square-mile Pacific atoll, Ducie was approved for DXCC credit in November 2001.—The Daily DX

<<http://www.dailyydx.com>



Înlăturind panoul frontal se poate vedea sistemul de transmisie care asigură cuplarea mecanică a comutatoarelor de bandă de la intrare și de la ieșire. Roata dințată mică din partea dreaptă (comutatorul din anod) are 28,575mm (1,125") în diametru și are zece dinți. Roata dințată mare (comutatorul din catod) are 51,562mm (2,03") și 20 de dinți. Lanțul este lung de aproximativ 0,6096m (2 feet). Pe placa din spate se pot vedea comutatoarele pentru instrumentele de măsură și firele pentru conectarea la bornele acestora, atîrnind în aer. În fotografie se mai pot vedea și distanțierele solide din colțuri, care distanțează panoul auxiliar de panoul frontal.

Costul componentelor, incluzind tubul, soclul în aer și conducta de ventilație, este sub 200USD (în 1961, N. Trad.). Amatorii care dețin un stoc de piese mai răsărit sau cei care se pricep să facă rost pot scădea considerabil acest cost. Fie că ne uităm la pret, fie la excelenta linearitate, acest mic amplificator este greu de depășit !

Bibliografie

1. Orr, Rinaudo și Sutherland, *The Grounded-Grid Linear Amplifier*, QST, August 1961, p. 16.

Traducere: YO3GWR - Laurențiu Ștefan

DIVERSE

* După cum s-a anunțat, Ed - P5/4L4FN, la solicitarea autorităților nord coreene, și-a început definitiv activitatea încă din decembrie 2002. În perioada în care a lucrat din P5, Ed a realizat 16.194 de QSO-uri, dintre care 3.160 în RTTY.

36,7% dintre acestea au fost făcute cu stații din Europa.

* Până la 15 martie, în Polonia vor activa 15 stații având indicative speciale, pentru a marca implinirea a 70 de ani de când specialiștii din această țară, au reușit să descifreze codul mașinilor de cifrat Enigma, folosite de cel de al III-lea Reich. Aceste indicative sunt de forma: HF70x sau SN70x. Se va acorda și o diplomă specială pentru cei care reușesc QSO-uri cu aceste stații. Info: www.enigmahistory.org/enigma.html

IARU Region I FIELD DAY 2002 SSB

Categ. F 1. YO2BEH	99.522
8. YO7ARY	14.112

OFER: Cataloge și CD-uri cu componente electronice, AMC-uri funcționale și defecte.

Lucian - tel. 0722-348.693

IARU Region 1 - 50 MHz Contest 2002

CLASAMENTELE MEMBRIILOR YODXC SECTIA U.S. la data de 31.12.2002

SINGLE OP

Call	Loc	QSO	POINTS
1 IW5BML	JN62PI	877	1035054
20 YQ1MP	KN34CK	258	382050
21 YO5BLA	KN16SR	274	375382
30 YO2QC	KN15SI	210	285524
36 YO8DDP	KN36LF	173	241286
39 YO3APJ	KN34AL	155	231114
46 YO5BIM	KN07XB	135	182073
55 YO8BPY	KN37TE	115	168310
65 YO7VS	KN14VH	120	139349
95 YO5CRQ	KN17TQ	60	80643
97 YO5CBX	KN27FC	56	77764
111 YO8BXL	KN37IR	50	61048
119 YO9IF	KN25UD	33	45332
129 YO2GL	KN05PS	26	29926
138 YO6EZ	KN25SP	16	20822

MULTI OP

Call	Loc	QSO	POINTS
1 9H00	JM75EV	894	1357379
8 YR4R	KN35WL	395	584257
11 YO8KGA P	KN27SK	325	427716
14 YO2KBK P	KN06UG	275	295781
15 YO8KRR P	KN27OD	212	278204
34 YO6KQQ	KN25SP	49	68923
35 YO6KNY	KN36BA	41	60440
Check logs: YO6FNA, YO7BGA,			
MULTIOPERATOR's TEAMS			
9H00	- 9H1PI; 9H1XT; 9H1LO; 9H1EI; 9H5NB	22	
YO2KBK	- YO2II; YO2LEA; YO2MDD	23	
YR4R	- YO/ER1BL, YO4CVV, YO4RDJ, YO4RDK, YO4REC, YO4RFV, YO4RXX	24	

Banda de 40m în Regiunea 2 IARU

Sunt cunoscute eforturile IARU de a uniformiza în toate cele 3 regiuni lărgimea benzii de 7 MHz, adică lărgirea acesteia la 300 kHz.

Prezentăm în continuare planul de frecvență al acestei benzi pentru Regiunea 2 IARU.

7.000 – 7.035	CW
7.035 – 7.040	CW, Moduri digitale DX
7.040 – 7.050	CW, Packet cu alte regiuni
7.050 – 7.100	Phone, CW
7.100 – 7.120	Digital, Phone, CW
7.120 – 7.165	Phone, CW
7.165 – 7.175	SSTV, Fax, Phone, CW
7.175 - 7.300	Phone, CW

Sperăm ca după WARC 2003 de la Geneva să putem folosi și noi acest plan de frecvențe.

Actualmente în IARU Regiunea I, deci și în YO banda de 7 MHz are următorul plan de frecvențe:

7.000 – 7.035 kHz	CW (lărgime de bandă max 200 Hz)
7.035 – 7.040	Digital, SSTV, FAX, CW (lărgime de bandă max 500 Hz). Exceptat PR
7.040 – 7.045	Digital, SSTV, FAX, Phone, CW (lărgime de bandă max 2.700 Hz) Exceptat PR
7.045 – 7.100	Phone, CW (lărgime de bandă max 2.700 Hz)

Clasamentul membrilor YODXC Sectia U.S. după numarul total de entități DXCC (active +

Poz#	Indicativ	DXCC	53	YO7DIG	260
1	YO8CF	357	54	YO6AVB	259
2	YO3APJ	353	55	YO2IS	256
3	YO3JW	353	56	YO4BTB	255
4	YO2BM	348	57	YO2BN	253
5	YO2BB	345	58	YO3BWK	252
6	YO3CV	344	59	YO6AWR	252
7	YO8FZ	342	60	YO7BSN	250
8	YO5BRZ	340	61	YO8MF	248
9	YO2BEH	334	62	YO7CKQ	246
10	YO8OK	334	63	YO3YZ	244
11	YO6DDF	333	64	YO2ADQ	243
12	YO7LCB	330	65	YO2AQB	242
13	YO2AOB	327	66	YO7CGS	241
14	YO8OU	327	67	YO9HP	239
15	YO6EZ	326	68	YO3ZP	238
16	YO3RX	325	69	YO5QAW	234
17	YO5ALI	325	70	YO8ROO	231
18	YO5BBO	324	71	YO4CIS	229
19	YO6LV	322	72	YO6ADM	229
20	YO3FU	321	73	YO4BSM	228
21	YO4WO	319	74	YO8AII	228
22	YO6BHN	316	75	YO4CBA	227
23	YO7APA	316	76	YO7ARZ	227
24	YO2DFA	314	77	YO9DAF	227
25	YO5AVN	314	78	YO8FR	225
26	YO2KHK	312	79	YO5LU	224
27	YO3ABL	311	80	YO6EX	221
28	YO9AWV	310	81	YO3GOD	219
29	YO3KWJ	307	82	YO7ARY	214
30	YO6KBM	307	83	YO6OBH	213
31	YO2BS	304	84	YO5CUU	212
32	YO2QY	303	85	YO4KCA	211
33	YO7BGA	303	86	YO8DDP	211
34	YO8ATT	302	87	YO2LGH	205
35	YO2ARV	298	88	YO4AYE	205
36	YO6MZ	296	89	YO9DQ	204
37	YO4NF	293	90	YO8KOS	203
38	YO3DCO	290	91	YO2BV	201
39	YO7BUT	290	92	YO2DDN	201
40	YO3ND	287	93	YO7LFV	201
41	YO3NL	287	94	YO8CRU	201
42	YO4DCF	287	95	YO3CZ	200
43	YO9BGV	286	96	YO4BEX	200
44	YO3AIS	284	97	YO8MI	200
45	YO9HH	284	98	YO4UQ	199
46	YO2DHI	280	99	YO5AVP	199
47	YO4RDN	277	100	YO5BFJ	199
48	YO4ATW	276	101	YO6UO	199
49	YO6BZL	275	102	YO5AUV	198
50	YO2CMI	270	103	YO2GZ	195
51	YO4JQ	269	104	YO3RK	195
52	YO8BSE	264	105	YO4AAC	195

106	YO9XC	195	130	YO4BEW	173	23	YO7BUT	475	44	YO2KHK	66
107	YO4ASG	193	131	YO9AGI	173	24	YO7DIG	436	45	YO8BPK	65
108	YO8WW	193	132	YO3LX	170	25	YO9XC	436	46	YO4WO	64
109	YO3JJ	192	133	YO9HI	169	26	YO7LFV	382	47	YO6MK	64
110	YO6MK	192	134	YO5LN	168	27	YO2LGH	361	48	YO5QDN	63
111	YO8BCF	192	135	YO8KAN	167	28	YO5CRQ	359	49	YO3NL	62
112	YO6ADW	191	136	YO9FLD	167	29	YO2CJX	352	50	YO6KAF	56
113	YO3FLR	190	137	YO8GF	166	30	YO9HI	347	51	YO8MF	56
114	YO7VJ	190	138	YO3KAA	162	31	YO3ND	322	52	YO5ALI	53
115	YO2KCB	189	139	YO6XA	162	32	YO4ATW	277	53	YO7CGS	53
116	YO4FRF	189	140	YO6OJE	161	33	YO4BTB	274	54	YO8AII	53
117	YO7DAA	189	141	YO7FJK	159	34	YO8BPK	258	55	YO3ABL	52
118	YO6QT	188	142	YO7LBX	159	35	YO3GOD	234	56	YO2BM	51
119	YO8BNG	188	143	YO5CTY	158	36	YO9FLD	233	57	YO2CMI	51
120	YO4RXX	186	144	YO6ODN	155	37	YO7FJK	214	58	YO7BGA	51
121	YO9WL	185	145	YO5KAD	154	38	YO4UQ	199	59	YO6UO	50
122	YO8RL	184	146	YO6KAF	153	39	YO6ODN	155	60	YO7ARZ	50
123	YO8AXP	183	147	YO4GAO	152				61	YO5LU	49
124	YO5AY	182	148	YO5KAU	152				62	YO8ATT	49
125	YO5AFJ	180	149	YO4KBJ	151				63	YO3CZ	48
126	YO8QH	176	150	YO5CRQ	151				64	YO4JQ	48
127	YO5QDN	175	151	YO7KFX	151				65	YO2AOB	46
128	YO7LGI	175	152	YO2CJX	150				66	YO5BBO	46
129	YO8BPK	174	153	YO6MD	150				67	YO5BFJ	46

Clasamentul de ONOARE al membrilor YODXC Sectia U.S. (peste 300 de entitati DXCC active confirmate)

Poz# IndicativDXCC

1	YO3APJ	335	16	YO5BBO	321
2	YO3JW	334	17	YO6EZ	320
3	YO2BM	333	18	YO6LV	315
4	YO5BRZ	333	19	YO6BHN	313
5	YO2BEH	329	20	YO4WO	311
6	YO8CF	328	21	YO7APA	309
7	YO8FZ	328	22	YO2DFA	308
8	YO6DDF	327	23	YO2KHK	308
9	YO7LCB	325	24	YO3FU	308
10	YO3CV	324	25	YO3RX	308
11	YO2AOB	323	26	YO5AVN	306
12	YO8OK	323	27	YO3ABL	302
13	YO8OU	322	28	YO3KWJ	301
14	YO2BB	321	29	YO6KBM	301
15	YO5ALI	321	30	YO7BGA	300

Clasamentul membrilor YODXC Sectia U.S. dupa numarul declarat de entitati DXCC confirmate pe benzile de U.S. (1,8 – 30 MHz)

1	YO2BEH	1744	12	YO4WO	791
2	YO7LCB	1683	13	YO4NF	731
3	YO2DFA	1420	14	YO6DDF	695
4	YO6LV	1372	15	YO3BWK	565
5	YO6EZ	1261	16	YO2ADQ	543
6	YO5BBO	1259	17	YO2KHK	541
7	YO6KBM	1027	18	YO8MI	507
8	YO9BGV	961	19	YO6QT	506
9	YO7BGA	915	20	YO4CIS	496
10	YO6EX	826	21	YO6ADW	484
11	YO3DCO	817	22	YO9AGI	480

Clasamentul YODXC Sectia U.S. pe baza numarului de diplome obtinute

1	YO9XC	713	69	YO5QAW	46
2	YO2BEH	686	70	YO4DCF	44
3	YO4AAC	662	71	YO6DDF	44
4	YO6EZ	550	72	YO5CUU	43
5	YO2ARV	511	73	YO7APA	41
6	YO2CJX	420	74	YO5AVP	40
7	YO8CRU	420	75	YO2DHI	39
8	YO4BEX	406	76	YO2LGH	37
9	YO4BEW	372	77	YO8CF	37
10	YO8QH	319	78	YO3KWJ	35
11	YO2QY	292	79	YO6ADM	34
12	YO2DFA	276	80	YO9HH	32
13	YO5AY	237	81	YO8OK	31
14	YO3AIS	214	82	YO8RL	31
15	YO3RK	205	83	YO2DDN	30
16	YO9AGI	192	84	YO4ATW	29
17	YO8MI	189	85	YO3JW	28
18	YO9HP	185	86	YO4CIS	28
19	YO6EX	168	87	YO2BN	25
20	YO9BGV	145	88	YO3JJ	25
21	YO4ASG	140	89	YO5KAU	25
22	YO3BWK	133	90	YO6MD	25
23	YO6QT	125	91	YO8FZ	25
24	YO4BTB	116			
25	YO5AVN	113			
26	YO3YZ	110			
27	YO7LCB	108			
28	YO6AVB	106			
29	YO8ROO	104			
30	YO6ADW	98			
31	YO6LV	94			
32	YO8FR	90			
33	YO3ZP	79			
34	YO8BSE	79			
35	YO6KBM	76			
36	YO8OU	73			
37	YO2ADQ	72			
38	YO3DCO	70			
39	YO4FRF	70			
40	YO6MZ	70			
41	YO4RDN	69			
42	YO5AUV	69			
43	YO4NF	67			

Clasamentul YODXC Sectia U.S. pe baza numarului de diplome straine obtinute

1	YO8CF	214
2	YO2BEH	147
3	YO6EZ	119
4	YO4WO	118
5	YO3JW	115
6	YO2DFA	109
7	YO5AVP	99
8	YO6EX	97
9	YO9AGI	84
10	YO3YZ	83
11	YO8FR	77
12	YO4AAC	71
13	YO5AY	70
14	YO8RL	67

15	YO2BB	63	36	YO2BS	35
16	YO4NF	61	37	YO2GZ	35
17	YO2ARV	60	38	YO3JJ	35
18	YO9BGV	59	39	YO4FRF	35
19	YO9HH	58	40	YO8KAN	35
20	YO3RK	57	41	YO2BV	32
21	YO2BN	52	42	YO4BEX	32
22	YO6KBM	52	43	YO7BGA	32
23	YO5AVN	51	44	YO8OK	31
24	YO3AIS	50	45	YO9HP	31
25	YO6MZ	49	46	YO2IS	30
26	YO8FZ	49	47	YO4KCA	29
27	YO5LU	48	48	YO8ATT	27
28	YO8BSE	44	49	YO6XA	26
29	YO6ADW	42	50	YO2CJX	25
30	YO2QY	41	51	YO3BWK	25
31	YO5KAU	40	52	YO4CIS	24
32	YO8MF	40	53	YO2ADQ	20
33	YO4ASG	38	54	YO9XC	16
34	YO6QT	37	55	YO8BPK	7
35	YO6KAF	36			

MEMBRI NOI YODXC

Nr. Indicativ Nume si prenume Localitatea Judet Membru Data

312	YO6CFB	BAKO-SZABO LASZLO	Miercurea Ciuc	HR	activ	14.05.2002	US
313	YO2CJX	NESTERIUC VIRGIL	Caransebes	CS	activ	22.07.2002	US
314	YO2BN	NECHITA PANTELIMON	Caransebes	CS	activ	22.07.2002	US
315	YO8BCF	POPESCU EMIL	Bacau	BC	activ	06.09.2002	US
316	YO8BNG	FLORESCU V. C-TIN	Bacau	BC	activ	06.09.2002	US
317	YO9DQ	EICHEL NICULAE	Ploiesti	PH	activ	16.09.2002	US
318	YO2AQB	KELEMEN ADRIAN	Lugoj	TM	activ	19.09.2002	US
319	YO4RXX	STEFANESCU ADRIAN	Galati	GL	activ	14.10.2002	US
320	YO7ARY	VASILE MARCEL	Craiova	DJ	activ	15.10.2002	US

LZ CW CLUB

LZ CW CLUB a fost înființat la 17 octombrie 2000 și are ca scop promovarea radiotelegrafiei în benzile de radioamatori. Indicativul clubului este **LZ9CWC**.

Conducerea clubului (se alege anual în luna decembrie):

Președinte: Dimiter Petrov - LZ1AF;

Vicepreședinte: Alexander Karadjov - LZ1FW;

Secretar și Contest Manager: Antoaneta Encheva - LZ2AU. Toți radioamatorii autorizați, iubitori ai telegrafiei pot deveni membri. Ședințele clubului sunt ținute în fiecare marți la 20:30 ora României, pe 3527 kHz, și sunt coordonate chiar de președintele clubului d-nul Dimiter Petrov - LZ1AF.

Pentru a deveni membri, radioamatorii trebuie propuși de către un membru și votați de către ceilalți membrii într-una din ședințele clubului. Pentru cei din afara Bulgariei nu se percep taxe. Aceștia vor primi un număr de membru care va trebui afișat pe QSL împreună cu logo-ul clubului. Pentru a primi

MODIFICARI DE SITUATII

YO5CRO promovat ca membru activ la 02.04.2002
YO4KBJ promovat ca membru activ la 08.10.2002 și modificat denumirea în Clubul Sportiv GLARIS Galați
YO7FJK promovat ca membru activ la 06.11.2002

MEMBRI YODXC DECEDATI

YO4XF - decedat 17.04.2002
YO3JP - decedat 07.04.2002
YO9ASS - decedat 27.06.2002 (nascut Feb 1940)
YO4HW - decedat 25.07.2002 (nascut 24 Sept 1942)

Nota:

Redactarea a fost facuta de YO3APJ Adrian

Sinitaru

Pentru orice obiectiune va puteti adresa la:

Adrian Sinitaru YO3APJ

Adresa postală: BOX 2 – 20, 78200 BUCURESTI 2

Telefon : 206 55 60 (servicii) 665 27 85 (acasa)

E-mail: adisin@sdb.ro

În Monitorul Oficial al României Partea I nr.62 din 01.02.2003 la pag.12 - 15 este prezentată Ordonanța de Guvern care modifică și completează OG 26/2000 cu privire la asociații, fundații și federații. După cum se cunoaște OG 26/2000 publicată în Monitorul Oficial , Partea I nr.39 din 31 ianuarie 2000, împreună cu Legea 69/2000 stă la baza înființării și funcționării radiocluburilor, asociațiilor și federațiilor noastre.

legitimația de membru al clubului se vor trimite datele (nume, indicativ, adresa) împreună cu o fotografie tip pașaport la următoarea adresa:

Zheko Zhekov, LZ1VQ P.O.Box 43, 6600 Kirdjali, Bulgaria. Deasemenea, în ultima joi din fiecare lună între orele 18.00 – 19.00 UTC în 3,5 MHz, are loc concursul clubului. Membrii clubului transmit un număr serial și numărul de membru iar ceilalți participanți transmit nr. serial plus nr. serial primit precedent începând cu 001 000. Aceiași stație se poate lucra la fiecare 10 minute. QSO-urile cu membrii sunt punctate cu 5 pct., iar QSO-urile cu celelalte stații se cotează cu 1 pct. Există trei categorii: membrii, stații LZ participanți străini.

Logurile se trimit la adresa: Antoaneta Encheva, LZ2AU P. O. Box 189 5100 Gorna Oryahovitsa, Bulgaria ori e-mail: lz2au@vip.bg

YO3JR - Andy

QTC de FRR

Noua ordonanță vine cu o serie de precizări utile privind drepturile și obligațiile asociațiilor de utilitate publică.

Felicităm colegii de la **Radioclubul Deva** care deja au semnat un contract de cofinanțare în anul 2003 de la Consiliul Județean Hunedoara, cu suma de **260 milioane lei**.

Hotărârea Consiliului Județean a avut la bază Legea 69/2000, OG 26/2000 precum și **Articolul 104 lit.n** din Legea Administrației publice locale nr.215/2001..

Considerații asupra Raportului de Undă Staționară

Gabriel Patulea – VA3FGR

e-mail: va3fgr@rogers.com

Articolul își propune să clarifice câteva elemente legate de măsurarea Raportului de Undă Staționară (R.U.S.) pe o linie coaxială destinată alimentării unei sarcini oarecare, de exemplu a unei antene. Există atât opinie potrivit căreia R.U.S. nu se modifică de-a lungul cablului coaxial, cât și ai ideii că măsurările sunt corecte numai dacă sunt făcute la antena sau la o distanță foarte mică de aceasta. Care dintre cele două variante este cea corectă? În cele ce urmează autorul încearcă să contureze un răspuns la această întrebare.

Câteva calcule

Teoria generală acceptată la studiul propagării semnalului de radiofreqvență pe linii de transmisiune este aceea că în orice punct al liniei valoarea tensiunii sau a curentului sunt rezultatul suprapunerii unei unde directe și a uneia reflectată. În contextul celor de mai sus, forma generală a tensiunii pe linie în orice punct x măsurat de la sarcină (la sarcină $x = 0$) este de forma:

$$V(x) = A \cdot e^{\gamma x} + B \cdot e^{-\gamma x} \quad (1)$$

unde s-au folosit notațiile:

$V(x)$ = tensiunea pe linie în punctul x

A = amplitudinea undei de tensiune directă

B = amplitudinea undei de tensiune reflectată

x = distanța pe linie măsurată de la sarcină

g = constanta de propagare a liniei de transmisiune

Constanta de propagare γ este o marime complexă de formă: $\gamma = \alpha + j\beta$ (2)

și reprezintă în mod formal atât caracteristica de atenuare a liniei cât și defazarea (întârzierea) care afectează semnalul ca urmare a propagării pe linie.

Se definește **Coefficientul de Reflexie** pe linie Γ , ca fiind raportul dintre valoarea complexă a undei reflectate și valoarea complexă a undei directe de tensiune. În consecință, coefficientul de reflexie pe linie este un număr complex de formă: (3)

$$\Gamma(x) = \frac{B \cdot e^{-\gamma x}}{A \cdot e^{\gamma x}} = \Gamma_L \cdot e^{-2\gamma x} = \Gamma_L \cdot e^{-2\alpha x} \cdot e^{-2j\beta x}$$

$\Gamma_L = B/A = \Gamma(x=0)$ = coefficientul de reflexie al sarcinii.

Din relația de mai sus se observă că atât modulul cât și faza coefficientului de reflexie se modifică în funcție de poziția punctului de măsură x. Prin separarea explicită a modului și fazei coefficientului de reflexie, expresia de mai sus devine:

$$\Gamma(x) = |\Gamma(x)| \cdot e^{-2j\beta x} \quad (4)$$

unde s-a folosit notația

$$|\Gamma(x)| = \Gamma_L \cdot e^{-2\alpha x} \quad (5)$$

In aceste condiții, tensiunea pe linia de transmisiune poate fi rescrisă sub formă:

$$V(x) = A \cdot (e^{\gamma x} + \Gamma_L \cdot e^{-\gamma x}) \quad (6)$$

Se definește **Raportul de Undă Staționară (R.U.S.)** ca fiind raportul dintre valorile maximă și minimă ale tensiunii de-a lungul liniei. Valoarea maximă apare atunci când fazorul undei directe este în fază cu cel al undei reflectate. În consecință, tensiunea maximă pe linie va avea valoarea:

$$V_{max} = |A| \cdot (1 + |\Gamma_L|) \quad (7)$$

Similar, valoarea minimă a tensiunii pe linie va fi:

$$V_{min} = |A| \cdot (1 - |\Gamma_L|) \quad (8)$$

Și în continuare:

$$R.U.S. = \frac{V_{max}}{V_{min}} = \frac{1 + |\Gamma_L|}{1 - |\Gamma_L|} \quad (9)$$

$$\text{Respectiv: } |\Gamma_L| = \frac{R.U.S. - 1}{R.U.S. + 1} \quad (10)$$

Spre deosebire de coefficientul de reflexie, care este o mărime vectorială caracterizată prin modul și faza, raportul de undă staționară este o mărime scalară. Modulul coefficientului de reflexie poate lua valori între 0 și 1, iar raportul de undă staționară poate lua valori între 1 și ∞ . În condiții de adaptare între linie și sarcină, $\Gamma_L = 0$, iar $R.U.S. = 1$. Dacă reflexia este totală, cum ar fi cazul liniei în scurt circuit sau în gol, atunci $\Gamma_L = 1$, iar $R.U.S. = \infty$.

In practică se preferă măsurarea R.U.S. Prin inspectia ecuației (5) se observă că în cazul liniilor de transmisiune cu pierderi, pe măsură ce punctul de măsură se îndepărtează de sarcină (x crește), modulul coefficientului de reflexie scade față de valoarea inițială măsurată la sarcina (antena; $x=0$). Ne aşteptăm așadar să măsurăm o aparență îmbunătățire a adaptării, pe măsură ce ne îndepărtem de sarcină. Cu alte cuvinte, dacă se utilizează un cablu cu pierderi semnificative, ne aşteptăm ca adaptarea să pară mai bună la capătul opus antenei al feederului.

Câteva exemple practice

In continuare se va descrie o procedură de estimare a îmbunătățirii aparente a R.U.S. datorate pierderilor pe linia de alimentare.

- 1) Se calculează sau se masoara R.U.S. la sarcina.
- 2) Se calculează modulul coefficientului de reflexie al sarcinii
- 3) Se calculează modulul coefficientului de reflexie la intrare în linia de transmisiune
- 4) Se calculează R.U.S. la intrarea în linie.

Exemplul 1

Un cablu coaxial de tip RG213/U trebuie să alimenteze o antenă a cărei impedanță de intrare este de 100Ω la frecvența de lucru. Lungimea cablului este de 30m, iar frecvența de lucru este de 400MHz. Se cere să se determine R.U.S. la intrarea antenei și la intrarea în cablul coaxial. Care este R.U.S. în aceleși condiții, dar folosind cablu de tip RG58/U?

Soluția 1:

Coefficientul de reflexie al sarcinii este:

$$\Gamma_L = \frac{Z_L - Z_0}{Z_L + Z_0} = \frac{100 - 50}{100 + 50} = 0.33$$

R.U.S. al sarcinii este (9): $R.U.S. = \frac{1 + 0.33}{1 - 0.33} = 2$

Din datele de catalog ale cablului RG213/U, atenuarea la 400MHz este de 4.1dB/100ft. Constanta de atenuare α din relația (5) este exprimată în Np/m (Neper/m) și are valoarea:

$$\alpha_{RG213} = 15.486 \cdot 10^{-3} \text{ Np/m}$$

Anexa detaliază procedeul de conversie dB/100ft « Np/m. Se calculează modulul coeficientului de reflexie la intrarea cablului $|G_i|$, adică la distanța $l=30\text{m}$ față de sarcină (5)

$$|\Gamma_i| = |\Gamma_r| \cdot e^{-2\alpha \cdot l} = 0.13$$

Pe baza modulului coeficientului de reflexie calculat mai sus, se calculează R.U.S. la intrarea în cablu(9):

$$R.U.S. = \frac{1+0.13}{1-0.13} = 1.298$$

După cum se observă, atenuarea cablului coaxial a produs "o îmbunătățire" a raportului de undă staționară. Un posibil beneficiu al acestei "îmbunătățiri" este eventuala protecție a emițătorului împotriva unei antene cu R.U.S. mare. În realitate, energia radiată de antenă este mai redusă atât datorită reflexiilor cât și datorită pierderilor pe cablu.

Un calcul asemănător pentru cablul de tip RG58/U conduce la următoarele rezultate:

$$\alpha_{RG58} = 31.72 \cdot 10^{-3} \text{ Np/m}$$

$$\Gamma_i = 0.049$$

$$R.U.S. = 1.103$$

Soluția 2:

A doua metodă de calcul nu necesită evaluarea în [Np/m] a coeficientului α din constanta de atenuare a cablului. Pentru simplitate, se va lucra în dB, întrucât atenuarea în dB este o modalitate mai răspândită de caracterizare a liniilor de transmisie. De remarcat că metoda de calcul nu este restrânsă numai la liniile de transmisie. Aceasta se poate aplica la orice atenuator adaptat la impedanța caracteristică a sarcinii. Cu alte cuvinte, se poate calcula care este îmbunătățirea aparentă a adaptării unei sarcini dezadaptate precedată de un atenuator.

Se pornește de la ecuația (5), de unde prin logaritmare și înmulțirea ambilor membri ai egalității cu 20, se obține:

$$20 \cdot \log|\Gamma| = 20 \cdot \log(|\Gamma_r| \cdot e^{-2\alpha}) = 20 \cdot \log|\Gamma_r| + 20 \cdot 2 \cdot \log(e^{-\alpha}) \quad (12)$$

Sau în notația uzuală în dB și considerând calculul lui $|G|$ la intrarea liniei: $|\Gamma_r|[\text{dB}] = |\Gamma_i|[\text{dB}] + 2 \cdot A_r[\text{dB}]$ (13)

Ecuția de mai sus (13) arată că modulul coeficientului de reflexie la intrarea în cablul de alimentare a sarcinii, în [dB], este egal cu modulul coeficientului de reflexie al sarcinii însumat cu dublul atenuării pe cablu, de asemenea în [dB].

Reluarea calculelor de mai sus ne conduce la următoarele rezultate: Coeficientul de reflexie al sarcinii este:

$$|\Gamma_i| = 20 \cdot \log 0.33 = -9.63 \text{ dB}$$

Pentru cablul RG213/U, atenuarea totală este:

$$A_r = \frac{4 \cdot [dB / 100\text{ft}]}{30.48[m / 100\text{ft}]} \cdot 30[m] = 4.035[dB]$$

și prin urmare:

$$|\Gamma_i| = -9.63 + 2 \cdot (-4.035) = -17.7 \text{ dB}$$

(Semnul negativ al lui A_r se datorează faptului că reprezintă o atenuare.) respectiv

$$|\Gamma_i| = 10^{\frac{-17.7}{20}} = 0.13 \quad R.U.S. = 1.298$$

șă cum de altfel era de așteptat.

Calculul se face în mod similar pentru cablul RG58.U.

O altă metodă de abordare, chiar dacă nu oferă o modalitate directă de calcul, permite o înțelegere intuitivă a fenomenului. Astfel, se poate arăta că în pedanția de intrare a oricărui liniu de transmisie cu pierderi, dacă $\alpha(x) \rightarrow \infty$ lungimea foarte mare, tindă la în pedanția sa a caracteristică (Z_0) indiferent de sarcina atașată la capătul îndepărtat. Într-adevăr, impedanța de intrare a liniei cu pierderi (Z_i), la capătul căreia este conectată o sarcină Z_L este de forma:

$$Z_i = Z_0 \cdot \frac{Z_L + Z_0 \tanh(\alpha)}{Z_0 + Z_L \tanh(\alpha)}$$

Dar

$$\lim_{(\alpha) \rightarrow \infty} [\tanh(\alpha)] = 1$$

Și în consecință: oricare ar fi valoarea lui Z_L ,

$$Z_i = Z_0$$

Concluzie:

O linie de transmisie cu pierderi va "îmbunătăți" întotdeauna adaptarea aparentă sarcinii. În realitate, "îmbunătățirea" nu se manifestă și în puterea radiată prin antenă. Cu cât cablul este mai lung sau are pierderi mai mari, cu atât adaptarea pare mai bună. În realitate o cantitate mai mare din puterea reflectată este atenuată de cablu, împiedicând citirea corectă a R.U.S. al sarcinii la capătul dinspre emițător. Cu toate acestea, măsurarea R.U.S. la baza feederului își dovedește utilitatea deoarece prin cunoașterea atenuării cablului, se poate evalua corect dezadaptarea sarcinii.

În cazul în care atenuarea pe linia de transmisie este neglijabilă datorită pierderilor mici la frecvența de lucru sau a lungimii reduse a cablului, se poate considera cu bună aproximație că R.U.S. este practic același atât la sarcina cât și la intrarea cablului.

Anexă:

Calculul părții reale a constantei de propagare din datele de catalog ale cablurilor coaxiale.

Denumirea de Neper este utilizată în amintirea matematicianului John Napier (1550-1617) căruia îi este atribuită descoperirea logaritmilor. Neperul, ca și decibelul, este o modalitate de exprimare logaritmică a raportului dintre două mărimi. Prin definiție, date fiind două mărimi x și y , valoarea raportului lor în Neperi este:

$$N[Np] = \ln\left(\frac{y}{x}\right)$$

În care $\ln(\cdot)$ este expresia logaritmului natural al unui număr, adică în baza e, $e=2.71828\dots$. În mod similar, decibelul este definit ca :

$$N[dB] = 20 \cdot \log\left(\frac{y}{x}\right)$$

în care $\log(\cdot)$ este expresia logaritmului zecimal al unui număr,

adică în baza 10. Relația de legătură dintre valoarea unui raport în [dB] și valoarea aceluiași raport în [Np] se calculează după cum urmează:

$$N[Np] = \ln\left(\frac{Y}{X}\right) \Rightarrow \left(\frac{Y}{X}\right) = e^{N[Np]}$$
$$N[dB] = 20 \cdot \log\left(\frac{Y}{X}\right) = 20 \cdot \log(e^{N[Np]}) = N[Np] \cdot 20 \cdot \log(e)$$
$$N[dB] = 8.68589 \cdot N[Np]$$

7,1 - 7,3 MHz - situația actuală

În ultimii ani, lumea destul de conservatoare a radioamatorismului a fost marcată de câteva schimbări semnificative, care lasă să se discearnă evoluții mult mai ample și promițătoare. Mai întâi a fost lucrul în concursuri europene, apoi certificarea HAREC, licențele CEPT - care ne permite lucrul dincolo de granițe. Așa cum arată lucrurile, vor urma și alte schimbări în bine: asistăm la treptata configurare a unei fizionomii la nivel european a mișcării radioamatoricești. În acest proces de durată, banda «continentală» de 7 MHz are un rol deosebit, ceea ce explică și insistența cu care IARU promovează extinderea subbenzii alocate radioamatorilor din regiunea 1 inclusiv la intervalul 7100 - 7300 KHz.

Pentru moment, respectivul interval constituie partea inferioară a benzii de broadcast de 41 m (7,1 ... 7,6 MHz).

Sub acest aspect, este interesant de văzut cine și cum folosește acest interval de 200 KHz - în care încap, cel puțin teoretic, minimum 40 de canale AM.

În cursul anului 2002, au fost identificate numai 14 stații care transmit sistematic pe respectivele frecvențe programe destinate Europei (deci care "intră" cu cel puțin 59 în YO). Este vorba de Radio Albania, Radio Belarus, Bangladesh, Croația, Japonia, Polonia, România, Rusia, Vatican, Vietnam, Ucraina, Ungaria, Uzbekistan și Radio Europa Liberă (RFE). Cu excepția emisiunilor *Radio Rossia* și RFE, a fost vorba de programe preponderent în limbi de circulație internațională, cu o durată foarte limitată - spre exemplu, *Radio Budapest* a transmis în engleză pe 7125 KHz numai câte 30 de minute zilnic, iar *Radio Croatia International*, câte 5 minute zilnic, pe 7285 KHz!

În total sunt folosite sistematic numai 14 frecvențe - deci 35% din spectrul disponibil! În plus, gradul de utilizare este extrem de redus - în medie, undeva între 1,5 și 2 ore zilnic, deși banda e deschisă mult mai mult timp. Concluzionând, putem spune că gradul de folosire pentru broadcast al intervalului 7100 - 7300 KHz se situează, în funcție de sezon și propagare, cel mult între 15 și 20% din potențialul de exploatare AM! Chiar în clipa în care scriu aceste rânduri - 29 dec. 2002, ora 09.55 UTC - pot recepționa emisiuni broadcast pe numai 6 frecvențe (7285, 7265, 7240, 7175, 7165, 7110 KHz), dintre care numai două (7165 și 7110 - Radio Uganda și, respectiv, Radio Namibia) sunt inteligibile cât de cât. Situația explică - și implicit justifică - cererile IARU de realocare a frecvențelor pentru Regiunea 1.

Vorbind despre realocare, trebuie să subliniem faptul că aceasta nu ar afecta grav actualii operatori de broadcast cu destinația Europa. Mareea majoritate a stațiilor enumera-

Exemplul 2

Conform datelor de catalog, atenuarea cablului coaxial de tip RG213/U la frecvența de 400MHz este de 4.1dB/100ft.

$$4.1[dB/100 ft] = \frac{4.1}{100 \cdot 0.3048}[dB/m] = 0.1345[dB/m]$$

$$0.1345[dB/m] = \frac{0.1345[dB/m]}{8.68589[dB/Np]} = 15.48 \cdot 10^{-3}[Np/m]$$

rezultat utilizat în Exemplul 1 soluția 1.

DIVERSE

te dispun de mult mai multe frecvențe în alte benzi comerciale. *Radio Rossia* folosește, spre exemplu, peste 20 de frecvențe HF, ceea ce i-ar permite redistribuirea programelor sale din 41m, deși acestea totalizează în prezent circa 24 de ore zilnic. Sub aspect tehnic, poate numai *Radio Vietnam* și *Radio Bangladesh* ar avea probleme de dotare tehnică - ceilalți operatori de broadcast din bandă au echipament funcțional în mai multe frecvențe HF.

Mai rămâne o problemă de rezolvat: emisiunile de broadcast DX. În funcție de propagare, în bandă apar sporadic emisiuni ale unor posturi de prestigiu (BBC, *Voice of America*, *Deutsche Welle*) în mod evident destinate spațiului extra-european (Africa, preponderent). Deși controlul e foarte modest în YO (ceea ce denotă directivitatea excelentă și randamentul antenelor de emisie folosite), nu este clar ce impact ar avea asupra ascultătorilor extra-europeni ai acestor emisiuni realocarea benzii.

După toate probabilitățile, va trebui să se limiteze folosirea modurilor de lucru digitale la actualele intervale, pentru a exclude interferența cu emisiunile broadcast din celelalte continente. Problema trebuie atent cumpănată și datorită faptului că unii operatori extra-europeni (*Radio Abuja* - Nigeria, *Radio Uganda*, *Radio Botswana*) par a folosi frecvențele de 7275, 7110 și 7255 KHz pentru transmiterea de programe de uz regional (național?).

Totuși, pentru un radioascultător din Africa, e puțin probabil ca o emisiune de amator de la o distanță de peste 4 mii de Km. să fie deranjantă...

Conferința WARC de anul acesta va încerca să rezolve cerințele radioamatorilor de extindere a benzii de 7 MHz. Există câteva variante de rezolvare, variante care au fost descrise în revista noastră.

Profităm de ocazie pentru a vă încuraja să ascultați, de fiecare dată când aveți un moment liber, intervalul 7,1 - 7,3 MHz. și să ne comunicați observațiile Dvs. Avem nevoie de argumente pentru a susține interesele radioamatorilor din lumea întreagă!

YO3HBN

DIVERSE

* **YO2ALS** - Puiu are de vanzare TS-50S cu filtru CW. Preț este 650 USD. Info: daneti@mail.dnttm.ro sau 0745-511995.

* **yo6osc** <yo6osc@yahoo.com> vinde tranceiver us kenwood TS120v. are benzile clasice, a alimentare 12v - se poate folosi și în mobil. alte informații la nr de telefon 0740056259 Pret: 350 S

* **FRR** oferă tuburi GU46

* **YO3JW** - Pit OFERĂ GHIDUL RADIO-AMATORILOR partea I-a (2000) și partea a II-a (2002)

MT 63 - UN NOU MOD DIGITAL HF

De câțiva timp, amatorii de comunicații digitale au posibilitatea de a lucra - în RTTY, PSK31 sau HELL - folosind o simplă placă de sunet, cu care în principiu orice PC este dotat. Aceasta a dus la o evoluție rapidă în domeniu, una dintre cele mai recente noutăți fiind modul MT63 - transmisie numerică folosind 64 de tonuri (iar nu 63, cum să ar putea crede!).

MT63 a fost "inventat" la cumpăna dintre milenii de colegul SP9VRC - Paweł Jalocha. Simplificând mult lucrurile, sistemul funcționează ca un apel selectiv DTMF. Fiecare literă este definită printr-o succesiune de tonalități, transmise în USB, ceea ce evită interferențele sau QSB. Este un mod digital care funcționează cu 10 caractere pe secundă, cu corectarea automată a erorilor, folosind un sistem similar cu cel al AMTOR B. Ca urmare, receptia este practic lipsită de caractere parazite - spre deosebire de PSK 31, unde de multe ori, pe benzile joase, trebuie să folosești litere majuscule pentru a te face înțeles (pornind de la constatarea pragmatică că QRN produce numai caractere minusculă, sub PSK31).

Ca atare, și performanțele modului MT63 sunt impresionante. În numărul din luna februarie 2000 al revistei RADIO-REF, F9ZB Bernard Pauc arată că, folosind acest mod, a putut lucra sistematic cu EA3VF, în 80m, fără erori, folosind o putere de 0,5W într-o antenă filară!

Deși este mai performant decât CLOVER sau PACTOR (vezi situl <http://www.qsl.net/zl1bpu/mt63/mt63.html>) modul MT63 are și dezavantaje. Lățimea de bandă ocupată este de 500, 1000 sau 2000 Hz, în funcție de setări! Din fericire, dacă puterea folosită este foarte mică, nu apar interferențe sesizabile cu transmisiile SSB. Adică, acei colegi care lucrează în SSB nici nu își dau seama de existența unui QSO MT63 peste transmisiile de voce, iar modulația BLU în banda de trecere nu afectează (datorită corecției de eroare!) transmisiile MT63. În schimb MT63 incomodează alte moduri digitale. Unii entuziaști - ZL1BPU printre alții - "recomandă" folosirea pentru apel a unor frecvențe situate în portiunea SSB a benzii alocate - 14.347 KHz spre exemplu, de altfel o frecvență foarte uzitată. Alți colegi, ceva mai respectuoși cu procedurile IARU, recomandă folosirea sub-benzilor:

80m: 3590 - 3600 KHz USB! - frecvență destul de uzitată
40m: 7038 - 7040 KHz USB!

30m: 10135 - 10138 KHz USB!

20m: 14130 - 14148 KHz USB

15m: 21130 - 21148 KHz USB

10m: 28130 - 28188 KHz USB

Frecvența cea mai joasă servește pentru apel.

Folosirea acestui nou mod a devenit mult mai accesibilă după ce IZ8BLZ - Nino Porcino, binecunoscut amatorilor de comunicații digitale, a pus la punct un program sub Windows care permite lucrul în MT63 cu o simplă placă de sunet de PC. Programul este disponibil pe situl <http://ninopo.freeweb.it>. Pe scurt, el generează un ecran a cărui portiune din dreapta este ocupată de un analizor de spectru de tip GRAM, care permite acordul în frecvență.

Pe spectrul gri apar două linii albastre, definind intervalul folosit (0,5; 1 sau 2 KHz). Transmisia MT63 este vizibilă ca o zonă mai închisă la culoare a spectrului. Pentru a intra pe frecvență, se regleză TRX-ul până când zona de semnal ajunge între cele două linii albastre. Odată sincronizarea realizată, se poate trece la transmisie: în cazurile în care apar probleme, există un buton de resincronizare automată. Sub analizorul de spectru se află două cadrane semicirculare: cel din dreapta indică raportul semnal - zgomot, cel din stânga "procentul de încredere" la recepție! În practică, cele două cadrane servesc de indicator de acord. În rest, operarea este chiar mai simplă decât în PSK 31. Indicativul corespondentului este sesizat automat de către program și există posibilitatea folosirii a 12 mesaje preînregistrate, care se personalizează automat prin completarea fișierului INI (ajunge să-ți introduci indicativul!). Pentru cei care se descurcă mai bine cu claviatura, mesajul poate fi pregătit cu ceva vreme înainte de transmisie - fiindcă nu se pune problema să tastăți cu 10 litere pe secundă, în ritmul transmisiiei. Pentru a face lucrurile și mai atractive, conectarea PC-ului la TRX se face exact ca pentru lucrul în PSK31, prezentat anterior în revista noastră.

În încheiere, iată aprecierile lui ZL1BPU asupra performanțelor comparative ale modurilor digitale:

Mod	Lățime bandă [Hz]	Cuv./min, cond. Bune	Cuv./min cond. rele
MT63	1.000	100	100
MT63	2.000	200	200
PSK31	60	50	50
AMTOR	300	50	0...1
PACTOR	300	200	0...10
CLOVER	500	200	0...10
RTTY	300	60	0
SSB	2.400	250	5-10

În opinia lui ZL1BPU, cele de mai sus demonstrează superioritatea modului MT63. În ceea ce ne privește, considerăm că datele pot fi "citite" și ca o demonstrație a faptului că PSK 31 este cel mai practic compromis existent în prezent. Rămâne însă faptul că MT63 stârnește încă o serie de controverse legate de lățimea foarte mare de spectru pe care o folosește: ca și în alte moduri digitale, nu întotdeauna se lucrează QRP, dar în MT63 excesul de putere în antenă este deosebit de supărător pentru toți colegii de trafic, "disk-jockey", "morsiști" sau pasionați ai altor moduri digitale. Deci, prudență! A se folosi cu moderăție!

73! YO3HBN - Tudor

JARTS 2002 - RTTY

SOp.YO

locul	indicativ	nr. QSO-uri	puncte
84	YO6BHN	519	287.412
272	YO4CVV	184	32.076
291	YO3APJ	124	23.800
326	YO4DFT	134	13.680
392	YO3III	24	1.008

Check log YO3FRI. Au participat în total aproape 450 de stații (împreună cu echipele și check-log). YO4DFT - Cristian

TOTUL DESPRE ATV

Emitător în banda 10,45 GHz. [scurtă introducere]

Modul cel mai simplu de-a realiza un **emisator** **ATV** în aceasta bandă este de-a transforma un LNB clasic de recepție într-unul de emisie. Transformarea presupune o serie de avantaje printre care aș enumera faptul că nu este nevoie de placă de circuit imprimat pe care trebuie să-o execute radioamatorul și care la aceasta frecvență crează niște probleme destul de serioase, căci avem la dispoziție cutia în care este închis emisatorul împreună cu ghidul de undă și scăpăm de cablu coaxial necesar în mod normal între emisator și antenă plus faptul că toate piesele de care avem nevoie le găsim în LNB-ul supus transformării.

Toate articolele pe care le scriu au legătură unul cu celălalt și încerc să fac o evoluție normală a lucrurilor astfel ca orice schemă pe care o prezint să poată fi realizată relativ ușor dacă s-au urmărit precedentele articole.

ATV-ul este un domeniu nou în YO iar scopul acestor articole este de familiarizare cu această activitate și de a facilita construcțiile necesare care vă asigur că vor crea o mare satisfacție. Principala problemă care poate fi un obstacol în realizarea de montaj la această frecvență este lipsa exercițiilor de lipire și dezlipire a componentelor care toate sunt SMD și ca lucrurile să fie și mai noștite sunt și miniatură. În articolul despre LNB-uri pe care l-am scris cu câteva numere în urmă descriam o metodă pe care am găsit-o cea mai convenabilă la capitolul metode "economice" pe care o recomand în continuare dar nu pot să nu spun în același timp că cel mai bine ar fi să aveți la dispoziție un aparat de lipit cu aer Cald. Lipirea șidezlipirea corectă a SMD-urilor presupune și un timp foarte scurt [2 secunde] pentru că un timp mai lung poate să distrugă componenta respectivă. Voi prezenta fiecare operațiune care trebuie făcută, pas cu pas și dacă veți respecta fiecare etapă în parte, succesul operațiunii este garantat iar satisfacția vă asigur că v-a fi mare.

Există multe metode de transformare, eu am ales câteva care mi se par cele mai eficiente și mai abordabile iar în final voi prezenta metoda mea personală care se bazează pe experiența dobândită în această frecvență, în plus am încercat să fac toate aplicațiile pe un model de LNB care se găsește din belșug pe piața noastră. Modelul realizat de mine este încă în teste [funcționează foarte bine] dar este oarecum contestat de către amicii mei care m-au învățat cam tot ce știu despre ATV și nu pot să nu iau în considerare aceste lucruri mai ales că sunt cu toții profesioniști în microunde. Contestațiile sunt numai teoretice și în principal se referă la faptul că metoda aplicată de mine poate genera în mod normal armonici. Replica mea este că la această frecvență și la puterea mică pe care o generez [aprox 60mW] și la faptul că totul se emite cu o parabolă, aceasta înseamnă fașicol de unde asemănător razei de lanterna este greu de presupus că voi putea cauza necazuri cuiva. Din păcate argumentele mele nu stau în picioare întrucât radiațiile parazite chiar dacă sunt la 20 de GHz ele tot parazite se cheamă și trebuie atenuate până la limita normală și în plus nu pot să mă contrazic prea tare întrucât risc să rămân fără dascăli. Acum sunt în stadiul în care încerc să aplic metodele cele mai bune pentru că aceste armonici să se atenuzeze suficient astfel încât când veți aborda schema realizată de mine să puteți "dormi" linii și fără să aveți coșmaruri în somn că puteți provoca "deranjamente" undeve pe la 21 sau chiar 42 GHz. Am făcut toate aceste divagații pentru a scăpa de emoțiile inerente unui început și dacă tot am vorbit de "atenuări" să mai "atenuăm" spaimea de această frecvență la care toate aparatul care funcționează sunt făcute tot de "OM". O luptă puternică și cu diametru cât mai mare o să vă fie de mare ajutor. și acum nu mai îmi rămâne decât să vă spun urarea amicului meu **F4DAY** - "DA-ȚI DRUMUL LA APARATELE DE SUDURĂ"

73' de YO5AXB - Mircea.

CAMPIONATUL NAȚIONAL UNDE SCURTE TELEFONIE - 2002

a. Echipe

I. Palatul Național	BU	YO3KPA	56.379
	op. YO3ND, 3HOT		
II. Clubul Copiilor Oravița	CS	YO2KHV	55.799
	op. YO2DFA, 2LDC		
III. As QSO Tutova Bârlad	VS	YO8KOA	55.377
	op. YO8CQQ, 8DDP		
4. CS Rad. Constanța	CT	YO4KCA	53.908
	op. YO4NF		
5. Universitatea Brașov	BV	YO6KEA	51.808
	op. YO6AWR		
6. CSTA Suceava	SV	YO8KGA	49.862
	op. YO8ER, 8SSX		
7. CSM Iași	IS	YO8KAE	48.800
	op. YO8BIG		
8. CS GLARIS Galați	GL	YO4KBJ	48.294
	op. YO4RDN, 4BZC		

9. Sport Club Miercurea Ciuc	HR	YO6KNE	44.912
	op. YO6CFB, 6OEK		
10. AEROSTAR Bacău	BC	YO8KOS	43.876
	op. YO8AXP, 8RIJ		
11. CSM Pitești	AG	YO7KFA/P	42.720
	op. YO7FO, 7FPE		
12. CSM Cluj	CJ	YO5KAI	42.300
	op. YO5TE, 5OQH		
13. CSM Baia Mare	MM	YOSKAD	36.812
	op. YO5OEF		
14. Sky Lark Satu Mare	SM	Y05KOP	36.240
	op. YO5AT, 5ODC		
15. Univers B90 Buzău	BZ	YO9KXC	36.130
	op. YO9CXE		
16. CS Teleorman	TR	YO9KPM	33.552
	op. YO9BVG, 9DMN		

17. CS Crisul Oradea	BH	YO5KAU/P	33.232	24. YO3OC	Peterffy Eugen	HD	27.930
	op. YO5BBO			25. YO5ODH	Adam Attila	BN	27.846
18. CSM Bistrita	BN	YO5KUC	30.822	26. YO6SD	Somesan Dan	BV	27.822
	op. YO5QCT,5CBX			27. YO5DAS	Chis Danut	SM	25.960
19. CSR Braila	BR	YO4KAK	28.434	28. YO4BBH	Lesovici Dumitru	TL	25.308
	op. YO4WA, 4AAC			29. YO6BGT	Tanko Stefan	HR	24.180
20. Rad Top Security	AR	YO2KBK	27.470	30. YO7FJK	Cristea Neonil	OT	23.956
	op. YO2II, 2LRR			31. YO6MK	Szabo Ioan	MS	23.364
21. CSS Petrosani	HD	YO2KBE	26.719	32. YO7BEM	Dumitrovici Mihai	AG	23.364
	op. YO2CXJ, 2CJ			33. YO5BQQ/P	Salagean Ioan	SM	22.204
22. Cavalerii Saceleni	BV	YO6KXK	25.384	34. YO3CZW	Mirut Marius	TR	20.630
	op. YO6FYY, 6GZJ			35. YO2CJX/P	Nesteriu Virgil	SB	20.582
23. Universitatea Bacau	BC	YO8KCW	22.784	36. YO5AJR	Takacs Carol	BH	20.136
	op. Yo8RGJ			37. YO9GOH/P	Lupoi Florin	DB	15.538
24. Rad. Sindicat Energeticieni	BR	YO4KXN	22.028	38. YO5ALI	Milea Nicolae	BH	15.484
	op. YO4GNJ			39. YO5BWI	Jegher Gh.	MM	12.376
25. Rad. Slobozia	IL	YO9KIH	16.812	40. YO4UQ	Colonati Cristian	BR	11.956
	op. YO9DFQ			41. YO3FYS	Bejgu Adrian	BU	11.890
26. Rad KSE Tg. Secuiesc	CV	YO6KNY	16.068	42. YO5BEU	Irimie Iacob	BN	11.051
	op. YO6DBA, 6GUU			43. YO5CRQ	Bordas Zoltan	MM	9.680
27. Rad CARPATICA	BV	YO6KQQ	14.384	44. YO7CYW/P	Mogos Tudor	OT	8.884
	op. YO6QT, 6EZ			45. YO6BBQ	Silion Ionel	BV	7.848
28. Palatul Copiilor Botosani	BT	YO8KGM	11.692	46. YO5PCM	Pasca Nilu	AB	7.779
	op. YO8RBR, 8RJG			47. YO8TIS	Ivan Stefan	IS	7.268
29. Palatul Copiilor Sf. Gheorghe	CV	YO6KNF	11.044	48. YO7CZS	Blendea Ctin	MH	6.680
	op. YO6BWB			49. YO9HL	Stoican Victor	PH	6.202
30. AS TERMO Tr. Severin	MH	YO7KBS	10.252	50. YO4AVD	Nichita Alex.	VN	6.054
	op. YO7LPT			51. YO3AS	Tanislav Eliodor	BU	5.556
31. Rad. Orasenesc Tg. Neamt	NT	YO8KZG	8.400	52. YO9XC/P	Burdacea Ovidiu	TL	4.800
	op. YO8RJU			53. YO8GF	Siccoe Nicolae	BC	4.794
32. AS Telecom Pecica	AR	YO2KQD	6.390	54. YO9BSY	Cirstea Vasile	PH	4.420
	op. YO2LFP			55. YO3III	Vladaia Romulus	BU	3.300
33. CS Petrolul	PH	YO9KAG	5.330	56. YO7CKP	Trincu Marian	DJ	3.000
	op. YO9FBO, 9BGM			57. YO7AWQ	Ene Marian	OT	2.842
34. CS Armatura Zalau	SJ	YO5KLD	4.104	58. YO3XL	Sineteanu Bogdan	BU	2.418
	op. YO5CTZ, 5DAE			59. YO7DEK	Radulescu	DJ	1.998
35. Palatul Copiilor Targoviste	DB	YO9KPJ	3.672	60. YO6BSJ	Bartha Ferencz	BV	1.450
	op. YO9BXE			61. YO5AQN	Kenez Ferencz	BH	1.240
36. Palatul Copiilor Slatina	OT	YO7KFJ	2.940	c. Juniori			
	op. YO7AWQ, 7FVY			I. Moraru Petre	CT	YO4IMP	29.514
37. CSM Craiova	DJ	YO7KAJ	2.028	II. Popescu Ovidiu	AG	YO7HMH	25.278
	op. YO7CKP			III. Tariș Sergiu Adrian BT		YO8ROF	22.674

Seniori

I. YO8WW Paisa Gh NT **61.815**

II. YO9HP Panoiu Alex PH **60.150**

III. YO3APJ Sinitaru Adrian BU **57.792**

4. YO8BGD Asofie Eugen BC **56.000**

5. YO7LFV Robert Panait DJ **55.650**

6. YO4SI Rucareanu Mircea CT **55.586**

7. YO3JOS Dumitru Mihai BU **53.968**

8. YO2BV Colicue Adrian CS **53.116**

9. YO8BPK Rusu Danut-Mihai IS **50.328**

10. YO4CIS Frusescu Lucian CT **47.854**

11. YO9GJY Chiruta Stefania PH **46.620**

12. YO9FL Chirculescu Anton CL **43.290**

13. YO2QY Zamonița Mihai HD **42.572**

14. YO6MT Pandrea Cornel MS **42.244**

15. YO4DIJ Sporis Cornelius CT **41.580**

16. YO2AQB Kelemen Adrian TM **41.072**

17. YO5OUV Kis Arpad BN **40.722**

18. YO5OHZ/P Lung Claudiu MM **39.932**

19. YO4ATW Aleca Marcel BR **38.388**

20. YO7GWA Marghiolu Iorgu VL **33.504**

21. YO3AWT Beghes Horia BU **32.536**

22. YO8MI Ailincai Ctin BC **32.462**

23. YO2BLX Chis Ioan AR **31.640**

Lipsa log:

YO2CRW,

3CDN,

3KSD/P,

6KEV,8MF

Log control: YO2BMK, 2LLL, 2IM, 3AV, 3BY, 3CO, 3UA, 3BOQ, 3GRE, 3GOD, YQ1M/P, 3KAA, 3KWA, 5OHC, 5BTZ, 6EX, 6MP, 6OEJ, 6PBP, 7AOT, 7BUT, 7CJB, 8CTY, 8ROO, 8SS, 8OU, 8RMV, 9BFN, 9WF

d. SWL

1.YO5-022/CJ

2. YO5-021/CJ

3. YO9-165/PH

Rusu Tiberiu

Kovago Zoltan

Miu Eugen

18.734

11.106

3.480

105/36

102/39

102/39

101/35

96/36

110/37

109/38

115/39

109/37

110/38

108/38

98/38

106/38

109/38

106/38

106/38

108/38

90/35

108/38

98/38

98/38

98/38

98/38

98/38

98/38

98/38

98/38

98/38

98/38

98/38

98/38

98/38

98/38

98/38

98/38

98/38

98/38

98/38

98/38

98/38

98/38

98/38

98/38

98/38

98/38

98/38

98/38

98/38

98/38

98/38

98/38

98/38

98/38

98/38

98/38

98/38

98/38

98/38

98/38

98/38

98/38

98/38

98/38

98/38

98/38

98/38

98/38

98/38

98/38

98/38

98/38

98/38

98/38

98/38

98/38

98/38

98/38

98/38

98/38

98/38

98/38

98/38

98/38

98/38

98/38

98/38

98/38

98/38

98/38

98/38

98/38

98/38

98/38

98/38

98/38

98/38

98/38

98/38

98/38

98/38

98/38

98/38

98/38

98/38

98/38

98/38

98/38

98/38

98/38

98/38

98/38

98/38

98/38

98/38

98/38

98/38

98/38

98/38

98/38

98/38

98/38

98/38

98/38

98/38

98/38

98/38

98/38

98/38

98/38

98/38

98/38

98/38

98/38

98/38

98/38

98/38

9

CAMPIONATUL NATIONAL UUS - 2002

A - 144 MHz					INDIVIDUAL					ECHIPA 144 MHz					
Loc Indicativ	Puncte	Operator	QTH-Loc.		23. YO2KBO/P	2003	2LEA/2LQV			1. YO8KRR/P	10693	8BDQ - 5DAR - 5CLN	KN27OD		
I. YO5BLA/P	27977	DURDEU VASILE	KN16PL		24. YO5KAP/P	1922	5BIN - 5OBY			II. YO7KFX/P	8665	7LBX	KN15UI		
II. YO4IMP/P	22159	MORARU PETRU	KN44BJ		B. CAMPIONATUL NATIONAL UUS 432 MHz - ED. 2002					III. YO6KNE/P	6978	6CFB - 6PAO	KN26TK		
III. YO5OJP/P	20710	PETRASCIUC MIHAI	KN27AT		4. YO7KFA/P	6702	3APG - 7GNK			4. YO7KFA/P	618	PREOTEASA AUGUSTIN	KN24KU		
4. YO5PBW/P	13863	STEFAN MOLDOVAN	KN17UR		5. YO5KAP/P	5670	5BIN - 5AVN			2. YO3RU	618	CAROL SZABO	KN34AK		
5. YO4WZ/P	13746	WODINSZKY ZOLTAN	KN44EW		6. YO5PVC/P	4275	4RXX - 4RFV			3. YO2BCT	330	SOFLETE LIVIU AUREL	KN05PS		
6. YO2BCT	13603	SOFLETE LIVIU	KN05PS		7. YO4WZ/P	4453	4WZ - 9DAX			4. YO2BCT	2965	SOFLETE LIVIU AUREL	KN05PS		
7. YO3FFF/P	13550	CRISTIAN NEGRU	KN24ND		8. YO9AFE/P	3956	2LEA - 2II			5. YO5OED	2634	LOVAS FERENC	KN07WC		
8. YO9DAX/P	13388	HANCU VASILE	KN44EW		9. YO9PH/P	3588	6AWR - 6MZ			6. YO5BRZ	2564	SPITZER PAUL	KN07WC		
9. YO3RU	12778	CAROL SZABO	KN34AK		10. YO9IE	3248	5TE - 5CRI			7. YO4BZC	1957	IATAN DORIN	KN45AK		
10. YO5OCZ/P	12281	VAGOLASZLO	KN17TL		11. YO8WW/P	3244	5BBL			8. YO4ATW	1894	MARCEL ALECA	KN35XG		
11. YO5PVC/P	12243	CANDEA VIOREL	KN17TL		12. YO2BCT	2965	5DGE - 5CBX			9. YO7AQF	1855	PREOTEASA AUGUSTIN	KN24KU		
12. YO7BBE/P	11449	TOADER MARIUS	KN23LS		13. YO5OED	2634	5JW - 3FLR			10. YO7GYM/P	1369	MARCU ION	KN25MG		
13. YO7AQF	10979	PREOTEASA GUSTI	KN24KU		14. YO5BRZ	2564	5OJC - 5QBS			11. YO7BKU/P	369	COMAN EUGENIU	KN25MG		
14. YO4ATW	10638	MARCEL ALECA	KN35XG		15. YO4BZC	1957	5RXX - 4RFV			12. YO7CZX/P	1369	BARBU ION	KN25MG		
15. YO8WW/P	10634	PAISA GHEORGHE	KN36AX		16. YO4ATW	1894	5GNZ - 5BL			13. YO7BEM/P	1279	DUMITROVICI MIHAI	KN25MG		
16. YO9PH/P	9112	PANOIU TEODOR	KN35CA		17. YO7AQF	1855	5FZ - 5VY			14. YO5OED	933	PETRASCIUC MIHAI	KN27AT		
17. YO4GJH	8948	VATCU PUIU REMUS	KN35XG		18. YO7GYM/P	1369	5KASZTOK EMILIA			15. YO5OBP	628	FERENCZI CSABA	KN27IS		
18. YO6HBA	8910	SZOLLOSITAMAS	KN36BA		19. YO5QBP/P	554	5AS - 5VY			16. YO5BQQ/P	578	KASZTL ZSOLT	KN27HT		
19. YO4BZC	8888	IATAN DORU	KN45AK		20. YO2BUG	284	5VY - 5BL			17. YO7BKU/P	284	BILLI IOAN	KN06ME		
20. YO8ROO	6051	AIROAEI DAN	KN36KN		ECHIPA 432 MHz					ECHIPA 432 MHz					
21. YO9HBL	5662	BUNESCU DAN	KN25TE		1. YO8KRR/P	10693	8BDQ - 5DAR - 5CLN			1. YO8KRR/P	10693	8BDQ - 5DAR - 5CLN	KN27OD		
22. YO9GVN/P	5662	IVAN MARIUS	KN25TE		II. YO7KFX/P	8665	7LBX			II. YO7KFX/P	8665	7LBX	KN15UI		
23. YO5BRZ	5332	SPITZER PAUL	KN07WC		III. YO6KNE/P	6978	6CFB - 6PAO			III. YO6KNE/P	6978	6CFB - 6PAO	KN26TK		
24. YO5OED	5096	LOVAS FERENC	KN07WC		4. YO7KFA/P	6702	3APG - 7GNK			4. YO7KFA/P	6702	3APG - 7GNK	KN23LS		
25. YO5TP	4593	BARTHA BELA	KN16SSJ		5. YO5KAP/P	5670	5BIN - 5AVN			5. YO5KAP/P	5670	5BIN - 5AVN	KN27AU		
26. YO9XC/P	4164	BURDUCEA OVIDIU	KN35HM		6. YO4KBJ/P	5370	4RXX - 4RFV			6. YO4KBJ/P	5370	4RXX - 4RFV	KN35WL		
27. YO9BIII	4127	BELEI AUREL	KN35JF		7. YO4KVD/P	4223	4WZ - 9DAX			7. YO4KVD/P	4223	4WZ - 9DAX	KN44EW		
28. YO2BUG	3970	BILLI IOAN	KN06ME		8. YO2KBK/P	4202	2LEA - 2II			8. YO2KBK/P	4202	2LEA - 2II	KN06UG		
29. YO9GO/P	3755	MIRZAC IOAN	KN34HU		9. YO6KEA	3310	6AWR - 6MZ			9. YO6KEA	3310	6AWR - 6MZ	KN25TP		
30. YO4BBH	5639	LESOVICI DUMITRU	KN45JE		10. YQ1M/P	3252	3JW - 3FLR			10. YQ1M/P	3252	3JW - 3FLR	KN34GO		
31. YO4HAB/P	3509	NEDELCU VASILE	KN45EF		11. YO5KLJ/P	2794	5OJC - 5QBS			11. YO5KLJ/P	2794	5OJC - 5QBS	KN27WA		
32. YO7GYM/P	3560	MARCU ION	KN25MG		12. YO5KAV/P	2672	5TE - 5CRI			12. YO5KAV/P	2672	5TE - 5CRI	KN16NG		
33. YO7CZX/P	3326	BARBU ION	KN25MG		13. YO5KAU	2634	5BBL			13. YO5KAU	2634	5BBL	KN07WB		
34. YO7BEM/P	2911	DUMITROVICI MIHAI	KN25MG		14. YO5KUC/P	1920	5DGE - 5CBX			14. YO5KUC/P	1920	5DGE - 5CBX	KN27JG		
35. YO9CLG/P	2874	CEAUSU PUIU	KN35ID		15. YO7KYT/P	1369	7JFO			15. YO7KYT/P	1369	7JFO	KN25MG		
36. YO5CEU/P	2863	BOLOGA MARIA	KN16SQ		16. YO7KFC/P	1328	7GNZ			16. YO7KFC/P	1328	7GNZ	KN25MF		
37. YO7BKU/P	2859	COMAN EUGENIU	KN25MG		17. YO2KQD/P	819	2LIE - 2LFP			17. YO2KQD/P	819	2LIE - 2LFP	KN06WG		
38. YO8AXP	2726	LAURENTIU NEACSU	KN36KN		18. YO4KXO/P	746	??!??!			18. YO4KXO/P	746	??!??!	KN45EF		
39. YO3GSZ/P	2641	CRASMARIU MARIEA	KN25RO		19. YO2KBQ/P	364	2LEA - 2LQV			19. YO2KBQ/P	364	2LEA - 2LQV	KN06WG		
40. YOSSJS	2082	JITARU SEBASTIAN	KN36KN		C: 1296 MHz					INDIVIDUAL 1296 MHz					
41. YOSRYB/P	2082	ANTAL CLAUDIO	KN36KN		1. YO7AQF	618	PREOTEASA AUGUSTIN			1. YO7AQF	618	PREOTEASA AUGUSTIN	KN24KU		
42. YO5BQQ/P	2075	SALAGEAN IOAN	KN17KS		2. YO3RU	618	CAROL SZABO			2. YO3RU	618	CAROL SZABO	KN34AK		
43. YO8RL	2040	TANU DOREL	KN36KN		3. YO2BCT	330	SOFLETE LIVIU AUREL			3. YO2BCT	330	SOFLETE LIVIU AUREL	KN05PS		
44. YO5AVN/P	1804	LJNGVAY IOSIF	KN27AU		4. YO2LRA	237	ROVEANU ANDRA			4. YO2LRA	237	ROVEANU ANDRA	KN06PE		
45. YO8RIJ/P	1280	STOLNICU PETRICA	KN36KN		Observatii: Deși au același număr de puncte, calculatorul îl pune pe 7AQF pe primul loc. La aceasta categorie, clasamentul a fost „dictat” de YO2LAM, care nu a trimis fișele... Sorry ...					ECHIPA 1296 MHz					
46. YO9CBV	727	POTOP COSTEL	KN35JD		1. YO2KBK/P	291	2II - 2LEA			1. YO2KBK/P	291	2II - 2LEA	KN06UG		
47. YO5QBP/P	717	KASZTL ZSOLT	KN27HT		2. YO2KBK/P	291	2II - 2LEA			2. YO2KBK/P	291	2II - 2LEA	KN06UG		
48. YO5AUV/P	637	FERENCZI CSABA	KN27IS		3. YO2KBK/P	291	2II - 2LEA			3. YO2KBK/P	291	2II - 2LEA	KN06UG		
49. YO9GZQ/P	535	CIONCULESCU IOAN	KN35JE		4. YO2KBK/P	291	2II - 2LEA			4. YO2KBK/P	291	2II - 2LEA	KN06UG		
50. YO9CXE	112	IORDACHE PAUL	KN35JD		Log Control 144 MHz: YO9HCI/P, YO8BOI, YO8RNF, YO6PBP, YO6DDF, YO6AVB, YO6DBF/P, YO5KUC, YO5PCB, YO5AT, YOSKAQ/P, YO5BHG, YO5OBP, YO5OFH, YO5GNZ/P, YO4AB, YO4SI, YO3FNM, YO3JOS, YO2GL, YO2BZ, YO2LMN/P, YO2LQT, YO2LQT, YO2MAY/P						Log Control 144 / 432 MHz: YO7CZY/P, YO6BLM, YO4SVA, YO4SVV, YO4RHK, YO4GRH/P, YO4BII/P				
51. YO9GZR	112	IORDACHE OVIDIU	KN35JD		Log control 432 MHz: YO5PBW, YO5BIM, YO5OHF/P, YO5KOP/P, YO5ODC/P, YO4HAB/P, P					LIPSA LOG: YO9FLD, YO9AFT, YO9BXC, YO8RMB, YO8RGJ, YO7KFZ, YO7BUB, YO7LGI, YO7BUT, YO7LWA, YO7LKZ, YO7HMH, YO6KCN, YO6FNX, YO6KAL, YO5BRE, YO5OFJ, YO5LE, YO5OHY, YO5OKP, YO4FZV, YO4FTC, YO4FHU, YO3FLQ, YO3RO, YO3HEC, YO3CCB, YO2LAM, YO2BML, YO2LBL					
52. YO9HD	112	STEFANOVICI EFTIMIE	KN35JD		Arbitru verificator YO5CBX					Arbitru verificator YO5CBX					

Din ciclul "Întâmplări adevărate"

Revanșa întreruptă

Cu mulți ani în urmă mă pregăteam pentru un nou voiaj în extemul orient, voiaj ce urma să fie efectuat cu cargoul GOȘTINU pe o perioadă determinată de 3 luni, perioadă care de regulă se extindea la 4, 5 sau chiar 6 luni.

Era primul voiaj pe aceasta navă și calvarul mutării de pe o alta începuse cu o săptămână în urma. Aproape zilnic duceam de acasă la vapor căte-o "bocceluță" cu de ale noastre: tablă de aluminiu, scule, piese diferite, documentație, transceiverul și deabia în ultima zi înaintea plecării, nelipsită valiză cu lenjerie și cele necesare pentru voiaj. Era un adevărat calvar să treci cu toate acestea prin vamă unde trebuia să prezinti o foaie de inventar cu tot conținutul bagajelor, inventar pe care primeai o ștampilă.

Câteodată rezolvam problema băgându-l în față pe Balcescu vestită bancnotă de 100.

Toate pregătirile pentru voiaj fiind rezolvate, în miezul nopții GOȘTINU își ridică ancora având cap compas HS portul Bangkok. Pasam pe rând farul de ieșire, Marea Neagră, Bosforul, Marmara, intram în Egee, Mediterana, Port Said, Canal Suez, Port Suez, Marea Roșie. Ancoram "fortuit" undeva pe coasta Somaliei, într-un golful cu pește mare, unde timp de 24 de ore ne făcem damblaua de pescari sub pretextul unei defecțiuni la MP, apoi pasam Marea Arabiei, și în sfârșit venea Indianul mult așteptat, deoarece din punctul meu de vedere eram mai lejer cu traficul profesional și puteam să-mi pun în funcție noul echipament LB 88 (construit de prietenul nostru Lix - YO3NP) și dotat cu programul de RTTY. Era pentru mine un nou început.

14.040 KHz frecvența de QRX cu YO4KCA unde în acea perioadă ne întâlneam cu hamii /MM în CW frecvență care avea rezervat un RX ce stătea pe QAP până la primul contact YO. Până la Bangkok, timp de 20 zile am avut QSO-uri zilnice cu Radu - YO4HW de la YO4KCA, care, atunci când era nevoie mă punea "on line" cu YO4DFU xyl-ul meu, astfel fiind la curent cu toate problemele de sănătate ale lui Marius, fiul meu, (acum YO4AVR) și care pe atunci avea 2-3 ani.

Ajuns la Bangkok, descărcăm marfa, încărcăm parțial orez pentru YO și pe ultima sută de metri primim instrucțiuni prin agentul navei să ne îndreptăm către Maputo în C9 pentru a încărca nava full, după care destinația finală Constanța. La ieșirea din strâmtoarea Mallaca, după ce am eliberat de traficul profesional, deschid 14.040 și după puțin timp il aud pe Liviu - YO3RD lansând CQ.

YO3RD de YO4AVR / MM - După cele cuvenite unui început de QSO, Liviu îmi face propunerea de a încerca prin radio o partidă de șah. Ora fiind prea târzie (dar propunerea pentru mine fiind tentantă) ii propun lui Liviu un QRX a doua zi deoarece în acel moment nu aveam în stație o tablă și piese de șah.

Cu punctualitatea ce-l caracteriza, Liviu apare a doua zi și reușim să finalizăm două partide de șah care ne-au ocupat aproximativ 2 ore. Scor final 2-0 pentru Liviu. În final Liviu îmi propune un QRX a doua zi, și mă anunță că o

voi avea ca parteneră pe Elisabeta Polihroniade. Din acel moment mi-am dat seama că Liviu a pus la cale această partidă cu mult timp înainte. L-am salutat pe Liviu și am rămas pe gânduri...

M-am dus la comandant (un foarte bun șahist) i-am spus toate cele și am stabilit ca ziua următoare să "încercăm marea cu degetul". Adoua zi totul era pregătit. O masă în mijlocul stației, o lampă suplimentară pentru a vedea piesele mai bine, prosoape pentru "situațiile grele", instructaje pentru chibzi cu ordinul "ciocu mic", etc, etc. Venea marea confruntare. Pe radarul din puntea de comandă se conturau coastele lui S79. Meteorul de la ora 16.30 (ora bordului), ne indica în zonă un început de hulă.

YO3RD de YO4AVR / MM - Punctualitate deosebită -

Salut Marcel, lângă mine gata de acțiune este Elisabeta. Este foarte bucuroasă dar și emoționată pentru această ocazie inedită.

OK Liviu – și noi suntem pregătiți. Vom fi trei. Comandantul plus cei doi din secția radio.

Marea partida a început – Schimburi repetitive de mesaje... D7-D6 / E2-E3 etc, etc... Dupa 33 minute de joc...

BK de YO3RD QTC: *Elisabeta nu mai poate continua deoarece trebuie să plece la o reuniune studențească în Regie. Va felicită pentru modul cum a jucat și vă oferă remiza. Propune ca vineri să continuăm aceasta aventură. 73 și pe mâine.*

Dupa 33 de mutări, o mare doamnă a șahului, ne-a propus remiza. Am sărbătorit evenimentul până târziu în noapte, nesimțind că hula se face din ce în ce mai groasă

Vineri - YO3RD de YO4AVR / MM - suntem în aceeași formă și vă cedăm prima mutare.

Ne făcusem iluzii degeaba. Elisabeta ne execută fără drept de apel din 19 mutări, și își manifestă dorința de a ne oferi revanșă duminica următoare.

Având mutările scrise pe hârtie, am început să reconstituim întreaga partidă să vedem unde am greșit, sperând că revanșa va fi de partea noastră.

Duminica – RX-ul pe 14 040 stătea pe QAP .

YO4AVR /mm de YO4HW

Salut Bratule, dar ce-i cu tine, nici duminica nu ai astămpăr?

Cum să am astămpăr când în acest moment privesc la TV și-l văd pe Tudor Vornicu împreună cu Elisabeta Polihroniade discutând despre o partidă de șah cu nava voastră care se află lângă SEYCHELLES, partidă ce are sănse să fie omologată ca fiind prima în acest mod .

OK Bratule, noi am trecut cu mult de insulă și peste câteva ore așteptăm revanșă, dar să știi că pionul principal în toată această încercare este Liviu.

Mă despart de Radu care ne urează succes și ii propun QRX a doua zi la ora știută. Îi pasez informația comandantului, "ne umflăm în pene" și hotărâm – întregă echipă – ca peste câteva ore s-o spulberăm pe Elisabeta,

Pentru a fi OK din punct de vedere al traficului profesional, ascult lista de trafic de la YQI (stația de coastă Constanța) cu o ora înaintea "revanșei" și.... **YQKV** (indicativul navei noastre) **msg URG....** YQI îmi transmite o radiogramă ciudată (fără preambul, fără semnătură) **TERMINA, TERMINA, NICI-UN SEMNAL PE 14.040 QRT TOTAL.** "Ochii albaștri" erau la datorie.

D5/B2-C3/H4-G6/E3 etc, etc, erau considerate mesaje codificate, care puteau pune în pericol siguranța națională. Pericolul trebuia curmat.

Revanșa nu a mai avut loc.

Radu primise telefoane disperate de la **YO3JP-Patronul**, care la rândul sau a fost admonestat de către cei cu "ochii albaștri". Intr-o oarecare măsură incidentul s-a rezolvat cu ajutorul lui nea Vasile - YO3CR, care lucra la

control-radio și care s-a oferit să rezolve onorabil și această problema.

Reîntors din voiaj, Radu îmi povestește totă tarășenia și mă face să înțeleg că dacă am rămas cu autorizație, aceasta se datorește lui nea Vasile Iliaș regretatul YO3CR, cel care nu de puține ori și-a pus "obrazul" pentru foarte mulți dintre noi cei care mai săream "calul" câteodata..

Și cum orice "gafă" trebuie să lase urme, restricția de a naviga în ape internaționale a sosit imediat, și până în Decembrie 1989, am putut pleca în voiaje internaționale numai sub girul semnăturii **Şefului Serviciului Personal**, pe care-l cunoșteam încă din copilărie și chiar incercasem să-i injectez microbul pasiunii noastre.

Y O 4 A B - Marcel IORDANESCU
Maestru Emerit al Sportului

QTC de FRR

După cum se cunoaște, în ultima perioadă au avut loc numeroase comentarii referitoare la tendința IGCTI de a mări foarte mult tarifele de utilizare a spectrului radio. Au urmat discuții, întâlniri directe cu factori de decizie din IGCTI, unde s-a găsit destul de multă înțelegere pentru activitatea noastră. Problema taxelor de folosință rămâne în continuare puțin incurcată pentru acest an, întrucât mulți radioamatori le-au achitat deja până la 31 ianuarie, conform vechilor tarife. Suntem în aşteptarea unei comunicări oficială de la IGCTI, comunicare pe care o vom prezenta în revistă și la emisiunea de QTC.

Publicăm în continuare una din adresele FRR din luna ianuarie, adresă în care, printre alte propuneri, se motivează menținerea taxelor de folosință la un nivel minim. Mulțumim atât IGCTI pentru înțelegere căt și tuturor celor care au fost concret alături de noi.

Către,

INSPECTORATUL GENERAL pentru COMUNICAȚII și TEHNOLOGIA INFORMAȚIEI București

Vă rugăm să examinați următoarele propuneri menite să sprijine activitatea de radioamatorism din țara noastră:

1. Implicarea într-o măsură sporită a Federației Române de Radioamatorism în organizarea examenelor pentru obținerea licențelor de radioamatori.

Motivație:

a. Federația Română de Radioamatorism are un mare interes atât în creșterea numărului dar și a nivelului de pregătire al radioamatorilor din România.

b. În fiecare județ, Inspectoratul General pentru Comunicații și Tehnologia Informației are un reprezentant care ar putea fi Șeful Comisiei de Examinare. Ceilalți membri ar fi radioamatori calificați de clasa I-a sau a II-a având și o pregătire profesională corespunzătoare.

c. FRR dispune de radioamatori calificați și condiții pentru a se asigura examene de calitate. Aceste examene se vor putea organiza mai des, chiar și în afara centrelor de județ, cu cheltuieli minime, chiar pentru un număr mai mic de participanți. În prezent IGCTI deplasează comisii de 4-5 persoane, atunci cind examenele se organizează în afară de: București, Cluj, Iași și Timișoara. De asemenea datorită prețurilor mari pentru transport, cheltuielile sunt mari și pentru candidații (aceștia fiind adesea copii), care se deplasează la sesiunile ordinare.

d. Serviciile zonale ale IGCTI ar economisi astfel timp și bani, examenele ar fi mai numeroase, iar rezultatele examenelor ar fi aduse la cunoștința participanților într-un timp mult mai scurt decât în prezent.

e. Sistemul este folosit cu bune rezultate în unele țări avansate. Ex. Suedia, SUA, Canada etc.

2. Menținerea la un nivel scăzut a taxelor pentru radioamatori

Motivație

a. După cum este prevăzut și în Regulamentul de Radiocomunicații pentru Serviciul de Amator din România, **activitatea de radioamatorism nu urmărește scopuri pecuniare**. Este o activitate ce poate avea un important rol educativ și formativ mai ales în ceea ce privește tineretul, tineret ce poate fi astfel atras spre domeniile electronice, radiocomunicațiilor și informaticii.

Practicarea acestei activități presupune eforturi financiare proprii deosebite, eforturi destul de greu de suportat, mai ales în condițiile economice din țara noastră.

Legislația actuală (ex. Legea 69 – 2000) apreciază **activitatea de radioamatorism ca fiind de utilitate publică**.

b. Statul român a sprijinit permanent această activitate (este drept că ceva mai puțin în ultimii ani), acordând în condiții avantajoase spații pentru sediile unor radiocluburi, indemnizații

pentru unii șefi de radioclub, înlesnirea unor transferuri de materiale disponibilizate de la: MI, STS, MapN, etc. Este o practică folosită în alte părți ale lumii. Numeroase țări acordă înlesniri importante pentru radioamatori și radiocluburi (ex. Germania – taxe reduse și sedii gratuite de la primării, pompieri etc, țări din America – taxe poștale reduse, etc). Există chiar administrații din unele țări europene care temporar au eliminat complet asemenea taxe. Ex. Bulgaria.

c. Diferite Conferințe ale ITU au arătat importanța și rolul comunicațiilor asigurate de radioamatori în situații de urgență (Rezoluția 640, Hotărârile ITU de la Istanbul etc), cerându-se administrațiilor din țările membre să sprijine dezvoltarea unor rețele de urgență proprii ale asociațiilor de amatori. Baza acestor rețele o constituie sistemele de repetoare, repetoare instalate și întreținute cu eforturi mari de către diferite radiocluburi sau radioamatori individuali. Sunt repetoare **necomerciale**, care nu aduc nici un venit, dar care au ajutat mult în salvarea de vieți omenești. Pentru a ne referi numai la ultimii doi ani putem aminti de intervențiile din Făgăraș-Negoiu, Bucegi, de inundațiile de la Râul Mare-Retezat sau din Moldova.

d. Apreciem că aceste repetoare ar trebui să fie scutite complet de taxele de folosință, ele putând fi considerate anexe ale aparaturii de emisie ale radiocluburilor care le instalează și întrețin. Pentru ele ar trebui plătită doar o taxă de autorizare odată la 5 ani.

Simpaticul dB

Întâlnim des în articole și documentații tehnice denumiri și unități de măsură a căror folosire corectă presupune anumite cunoștințe. Este hazliu să auzi "te recepționez cu S 9 după ureche, fiindcă nu am S-metru". Gradele S se pot aprecia corect numai cu instrumente speciale etalonate și nu după ureche. Dar ce este decibelul (dB) și de ce este atât de utilizat în radiocomunicații?

Această unitate de măsură a plecat de la faptul că urechea umană are proprietatea fiziolitică de a percepe neliniar variațiile intensității sonore. De exemplu, între două sunete, unul având putere de 40W și altul de 10W, deci un raport de 4 la 1, urechea le va percepe ca două sunete având intensități în raport de 2 la 1. Această caracteristică logaritmică sensibilității urechii umane, face ca noi să distingem mai ușor diferențele între puterile unor semnale slabe decât între unele semnale puternice.

Așa a apărut unitatea de măsură denumită Bel, care exprimă logarimul între două puteri: $B = \log P_2 / P_1$

In practică se utilizează însă mai mult Decibelul (dB) definit ca: $dB = 10 \log P_2 / P_1$

Dacă referirea se face la tensiuni sau curenți, definiția decibelului este: $dB = 20 \log U_2 / U_1$

De remarcat că pentru alte unități de măsură există etaloane sau valori de referință, în timp ce decibelul exprimă raportul a două mărimi.

Se poate spune că un amplificator are un câștig de 20 dB, adică are o amplificare de 100 de ori, dar dacă spunem că un cablu coaxial are o atenuare de 3 dB pentru o anumită lungime, trebuie să nuștiem, întrucât este posibil ca atenuarea să nu fie aceeași pentru nivelele diferite de putere sau pentru frecvențe diferite.

e. Trebuie lăsată cont atât de interesul nostru de a crește numărul de radioamatori, de a atrage mai mulți tineri, dar și de **situată economică generală din țară**.

f. Veniturile realizate de IGCTI din taxele de folosință a stațiilor de amatori rămân oricum neînsemnante. În multe familii sunt radioamatori atât soțul cit și soția și copii. Sunt familii care au chiar câte 5 radioamatori. De regulă toți folosesc același echipament radio.

g. Pentru 2002 foarte mulți radioamatori și-au achitat deja taxele în conturile comunicate de IGCTI – zonale.

In concluzie apreciem că o creștere cu mai mult de 100% a nivelului taxelor actuale pentru stațiile de radioamatori, nu este de dorit și nu ar ajuta activitatea noastră.

3. Creșterea valabilității licențelor de emisie de la un an la 5 ani.

Motivații

- a. S-ar simplifica mult relațiile cu IGCTI.
- b. Metoda este aplicată cu succes în lume.
Ex. Japonia – 5ani, SUA – 10 ani etc.

Vă mulțumim mult pentru sprijinul permanent acordat activității noastre.

**Secretar General
ing. Vasile Ciobăniță**

Dacă în relația de mai sus se ia puterea P₁ ca referință (1W sau 1 mW) se obține ceea ce se numește: decibelwatt (dBW) și respectiv decibelmiliwatt (dBm).

Avem atunci:

$0 \text{ dBW} = 1\text{W}$, $3\text{dBW} = 2\text{W}$, $6\text{dBW} = 4\text{W}$, $9\text{dBW} = 8\text{W}$, $10\text{dBW} = 10\text{W}$, $20 \text{ dBW} = 100\text{W}$ etc.

Valorile sunt aceleași și în cazul decibelmiliwatt-ului când $P_1 = 1\text{mW}$. $0 \text{ dBm} = 1 \text{ mW}$, $3\text{dBm} = 2 \text{ mW}$ etc.

Folosirea exprimărilor în decibeli simplifică mult calculele în radiotehnică și acustică.

Să analizăm o problemă parțială întâlnită în stabilirea legăturilor radio în domeniul UHF/VHF. Să presupunem că se dorește stabilirea unei legături radio la distanță de 10 km pe frecvență de 1 GHz. Emițătorul folosit are o putere de + 16 dBm, iar receptorul o sensibilitate de - 110 dBm.

Atenuarea mediului de propagare în cazul unei vizibilități directe se poate determina cu relația:

$$A [\text{dB}] = 32,5 + 20 \log D [\text{km}] + 20 \log f [\text{MHz}]$$

Unde: D = distanță dintre emițător și receptor iar f = frecvență de lucru. În cazul nostru: $A = 32,5 + 20 + 60 = 112,5 \text{ dB}$.

Insumând sensibilitatea receptorului cu puterea emițătorului rezultă -94 dBm, deci o valoare insuficientă pentru a depăși atenuarea introdusă de mediu.

Pentru a compensa diferența de 18,5 dB se vor utiliza antene cu câștig atât la recepție cât și la emisie. De exemplu două antene fiecare având un câștig de 12 dB, vor face sistemul funcțional și un raport semnal/zgomot de 5,5 dB. Desigur pentru a îmbunătăți acest raport se poate mări puterea emițătorului sau îmbunătăți sensibilitatea receptorului.

YO3CO

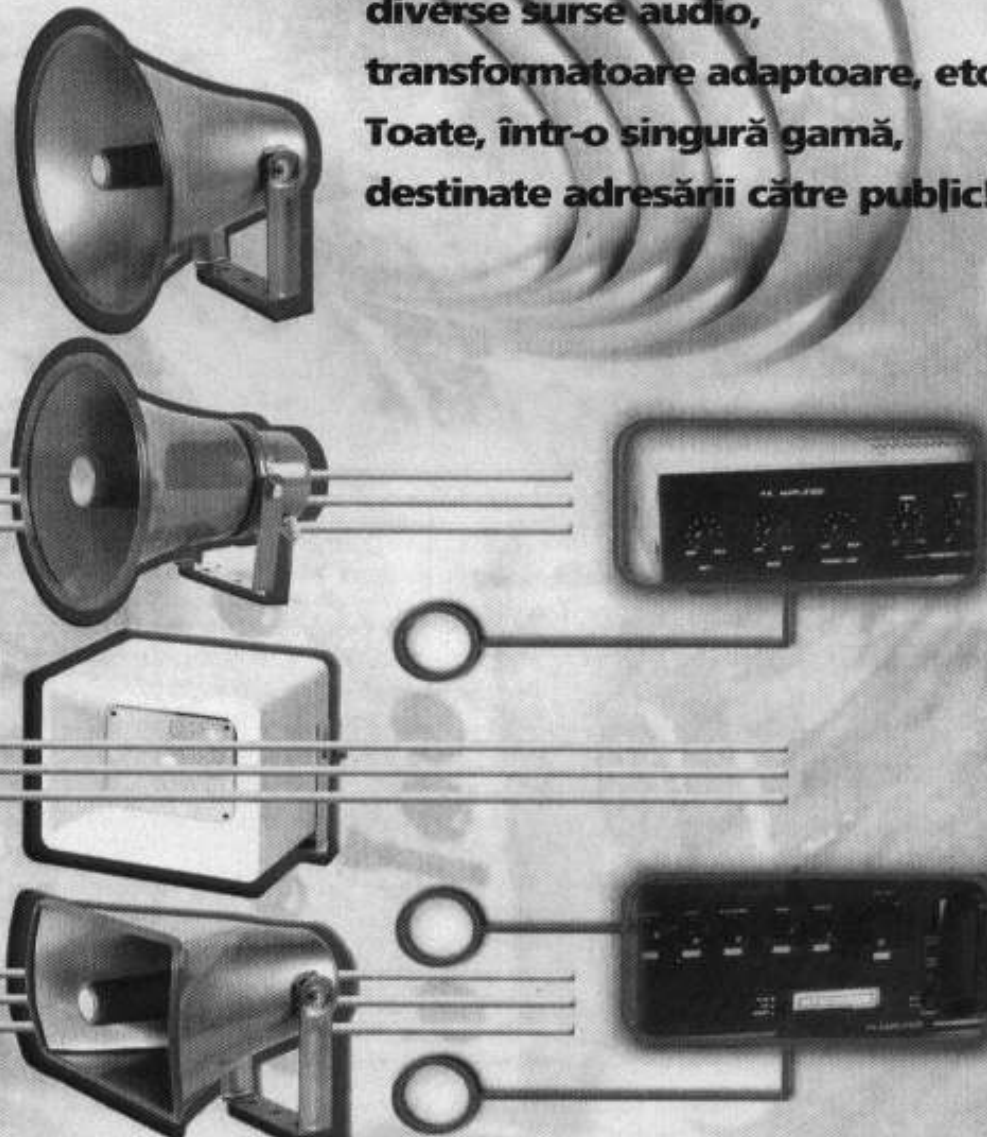
**velleman®**

PA SPEAKERS

PA (Public Adress)

Speakers (incinte acustice destinate adresării publice)
reprezintă o gamă de componente audio cu care se pot configura rețele de sonorizare pentru supermarket-uri, clădiri de birouri, stații pentru transport feroviar sau autogări, stadioane sau alte locuri pentru manifestări sportive, etc.
Pentru manifestări publice cu caracter temporar se recomandă megafoanele.

Componentele pentru sonorizare sunt incintele acustice tip horn de interior sau exterior (waterproof), amplificatoarele de linie pentru 25, 70 sau 100V cu mai multe intrări pentru diverse surse audio, transformatoare adaptoare, etc. Toate, într-o singură gamă, destinate adresării către public!



New IC-2720H 2m/70cm Mobile Transceiver



REMOTE HEAD. Mounts nearly anywhere! Bracket and separation cable included.

COOLING FAN. Large, adjustable speed.

SPEAKER. Large 3.5" speaker for crisp, clear audio.

DIE-CAST ALUMINUM CHASSIS. Rugged & Strong.

PALM CONTROL HM-133 Remote Control Mic, with ICOM's exclusive hot keys for your most used settings.

FLOW-THRU VENTILATION. Directs heated air away from sensitive electronics.

2 MIC CONNECTORS. Attach Mic to Main Unit or Control Head!

DATA JACK. For Packet operation.

SEPARATION CABLE. 11' of cable, standard.

Two Bands. Endless Possibilities.

Fresh off the drawing board! With ICOM's new IC-2720H you can have V/V, U/U simultaneous receive capability, plus V/U full duplex operation! Each band has independent controls for tuning, volume, and squelch. Change from the main band to sub-band with the touch of a button. The combination of the '2720H's one piece die-cast aluminum chassis and 50W VHF (35W UHF) of transmit power gives you a rugged, powerful package to get your signal out, even in the most demanding environments. With features like a Remote Mount Head with 11' of Separation Cable and Mounting Hardware, Remote Control Mic, and ICOM's exclusive DMS Scan System, this is one dual band mobile that has endless possibilities. Check with your authorized ICOM dealer for more details.

IC-2720H Features

- SELECTABLE OUTPUT POWER. Output power is selectable in three steps, 50W (35W UHF), 20W, & 5W.
- REMOTE MOUNT HEAD. The '2720H comes standard with a remote mount head, 11' of separation cable, and mounting hardware, giving you limitless installation options. Put the control head where it's easiest to operate! Plus, you can connect the mic to the remote mount head or the main unit.
- CTCSS AND DTCS OPERATION WITH TONE SCAN. Get onto the repeater fast! 104x2 DTCS and 50 CTCSS codes help gain you quick repeater access. With pocket beep and tone scan.
- 212 MEMORY CHANNELS. A total of 212 memory channels, including 2 call channels and 10 scan edges.

IC-2720H. True dual band fun.

2M/70CM • 50W VHF/35W UHF • VV/UU/VU • CTCSS/DTCS Encode/Decode w Tone Scan • Wide Band RX including Weather & Air Bands • 212 Memory Channels • Remote Control Mic • DMS • DTMF Encode • 10dB Attenuator • Cross Band Repeat* • Independent Controls • Rugged Construction

- HM-133V REMOTE CONTROL MICROPHONE. Control everything from the palm of your hand! ICOM's exclusive hot keys let you program the most used features for quick access. Bigger backlit keys allow you to operate in low light conditions.
- DYNAMIC MEMORY SCAN (DMS). ICOM's exclusive DMS system gives you flexibility to customize and manage your memory banks like no other dual bander.
- DTMF ENCODE. 12 DTMF memory channels with up to 24 digit DTMF codes can be used to control other equipment.
- RUGGED CONSTRUCTION. The one piece, die-cast aluminum chassis ensures reliable operation against shock and vibrations. A large cooling fan on the back keeps the internal components cool and allows you to operate in even the harshest environments.

MIRA TELECOM SRL

IMPORTATOR EXCLUSIV IN ROMANIA al produselor ICOM PMR

Str. Teiul Doamnei nr. 2 Bl. 10, Ap. 1, Bucuresti, Sector 2

Tel.: 0040-1-242 42 52 Fax: 0040-1-242 79 13

Setting a new standard

www.icomamerica.com

ICOM